

# Fahrerassistenzsysteme im Kraftfahrzeug

Prof. Dr.-Ing. Markus Lienkamp



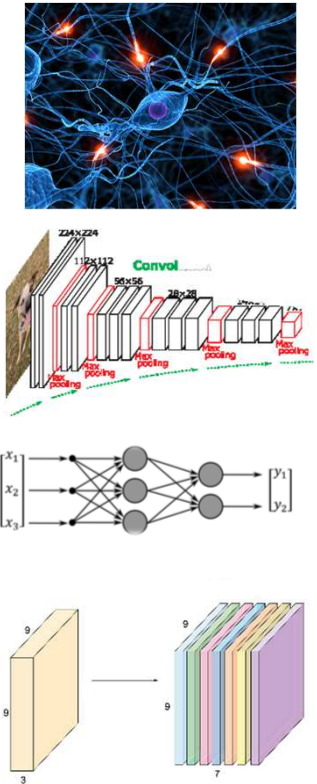
## Vorlesungsübersicht

<b>01 Einführung</b> 28.04.2022 – Prof. Lienkamp	<b>01 Einführung</b> 28.04.2022 – Prof. Lienkamp	<b>01 Übung Einführung</b> 28.04.2022 – Hoffmann
<b>02 Sensorik / Wahrnehmung I</b> 05.05.2022 – Prof. Lienkamp	<b>02 Sensorik / Wahrnehmung I</b> 05.05.2022 – Prof. Lienkamp	<b>02 Sensorik / Wahrnehmung I</b> 05.05.2022 – Prof. Lienkamp
<b>03 Sensorik / Wahrnehmung II</b> 12.05.2022 – Dr.-Ing. Diermeyer	<b>03 Sensorik / Wahrnehmung II</b> 12.05.2022 – Dr.-Ing. Diermeyer	<b>03 Übung Sensorik / Wahrnehmung II</b> 12.05.2022 – Schimpe
<b>04 Sensorik / Wahrnehmung III</b> 19.05.2022 – Schimpe	<b>04 Sensorik / Wahrnehmung III</b> 19.05.2022 – Schimpe	<b>04 Übung Sensorik / Wahrnehmung III</b> 19.05.2022 – Schimpe
<b>05 Funktionslogik / Regelung</b> 02.06.2022 – Dr.-Ing. Winkler	<b>05 Funktionslogik / Regelung</b> 02.06.2022 – Dr.-Ing. Winkler	<b>05 Funktionslogik / Regelung</b> 02.06.2022 – Dr.-Ing. Winkler
<b>06 Übung Funktionslogik / Regelung</b> 09.06.2022 – Dr.-Ing. Winkler	<b>06 Funktionale Systemarchitektur</b> 09.06.2022 – Prof. Lienkamp	<b>06 Aktorik</b> 09.06.2022 – Prof. Lienkamp
<b>07 Deep Learning</b> 23.06.2022 – Majstorovic	<b>07 Deep Learning</b> 23.06.2022 – Majstorovic	<b>07 Übung Deep Learning</b> 23.06.2022 – Majstorovic
<b>08 MMI</b> 30.06.2022 – Prof. Bengler	<b>08 MMI</b> 30.06.2022 – Prof. Bengler	<b>08 MMI Übung</b> 30.06.2022 – Prof. Bengler
<b>09 Controllability</b> 07.07.2022 – Prof. Bengler	<b>09 Controllability</b> 07.07.2022 – Prof. Bengler	<b>09 Übung Controllability</b> 07.07.2022 – Winkle
<b>10 Entwicklungsprozess</b> 14.07.2022 – Dr.-Ing. Diermeyer	<b>10 Entwicklungsprozess</b> 14.07.2022 – Dr.-Ing. Diermeyer	<b>10 Übung Entwicklungsprozess</b> 14.07.2022 – Hoffmann
<b>11 Analyse und Bewertung FAS</b> 21.07.2022 – Dr.-Ing. Feig	<b>11 Analyse und Bewertung FAS</b> 21.07.2022 – Dr.-Ing. Feig	<b>11 Übung Analyse und Bewertung FAS</b> 21.07.2022 – Dr.-Ing. Feig
<b>12 Aktuelle und künftige Systeme</b> 28.07.2022 – Prof. Lienkamp	<b>12 Aktuelle und künftige Systeme</b> 28.07.2022 – Prof. Lienkamp	<b>12 Aktuelle und künftige Systeme</b> 28.07.2022 – Prof. Lienkamp

# Leitfragen

## 07 – Deep Learning

- Wie ist ein einzelnes künstliches Neuron aufgebaut und wie funktioniert es?
  - 单个人工神经元是如何构建的?
- Wie funktionieren künstliche neuronale Netze grundsätzlich?
  - 人工神经网络的原理是什么?
- Welche Funktionsweise haben die unterschiedlichen Layer-Arten?
  - 不同类型的层是如何工作的?
- Wie funktionieren Convolutional Neural Networks (CNN) im Detail, und warum sind so effektiv bei der Verarbeitung von Bilddaten?
  - 卷积神经网络 (CNN) 的详细工作原理是什么?



# Deep Learning

## Domagoj Majstorovic, M.Sc.

### Agenda

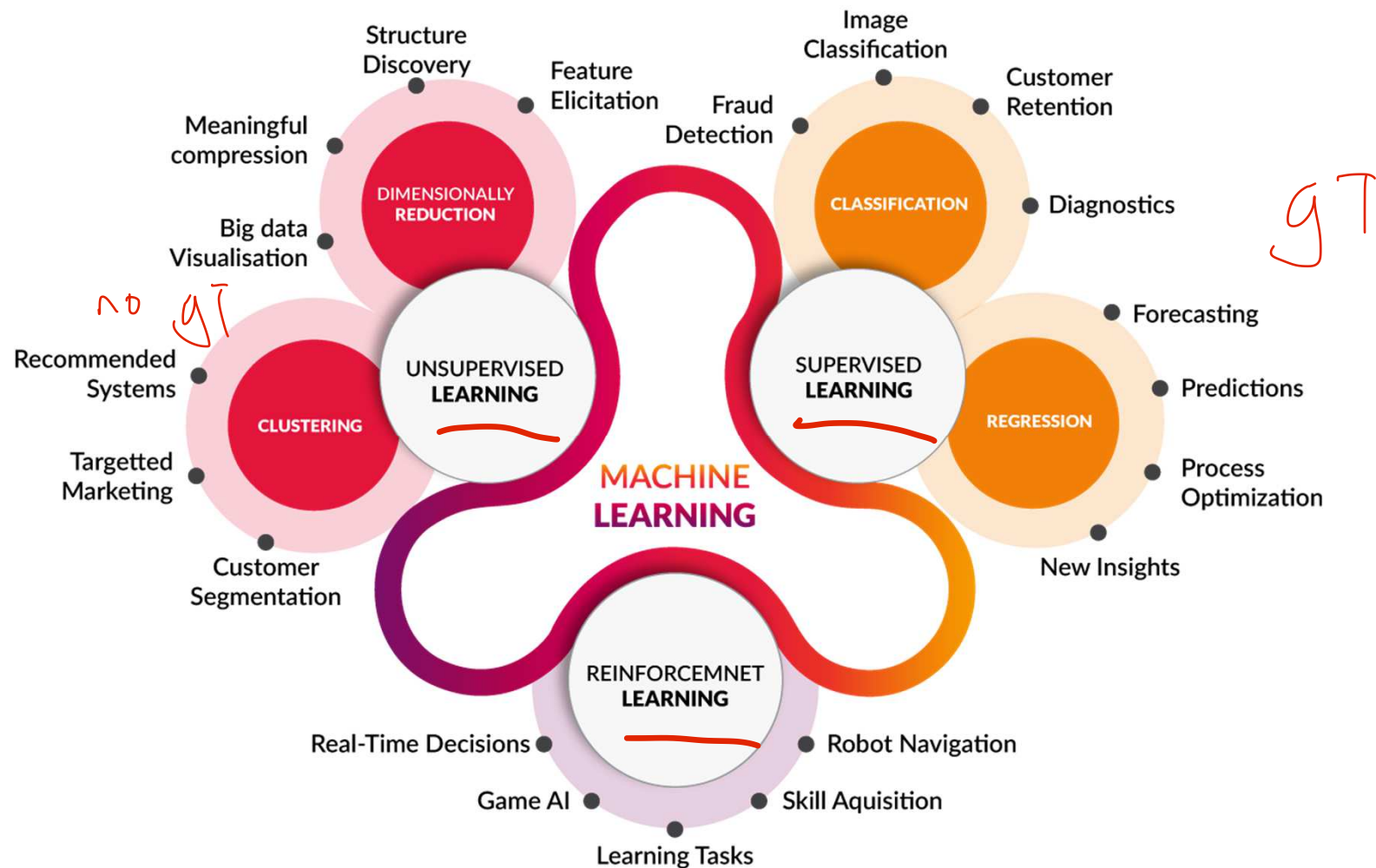
---

#### 7 Deep Learning / Neuronale Netze

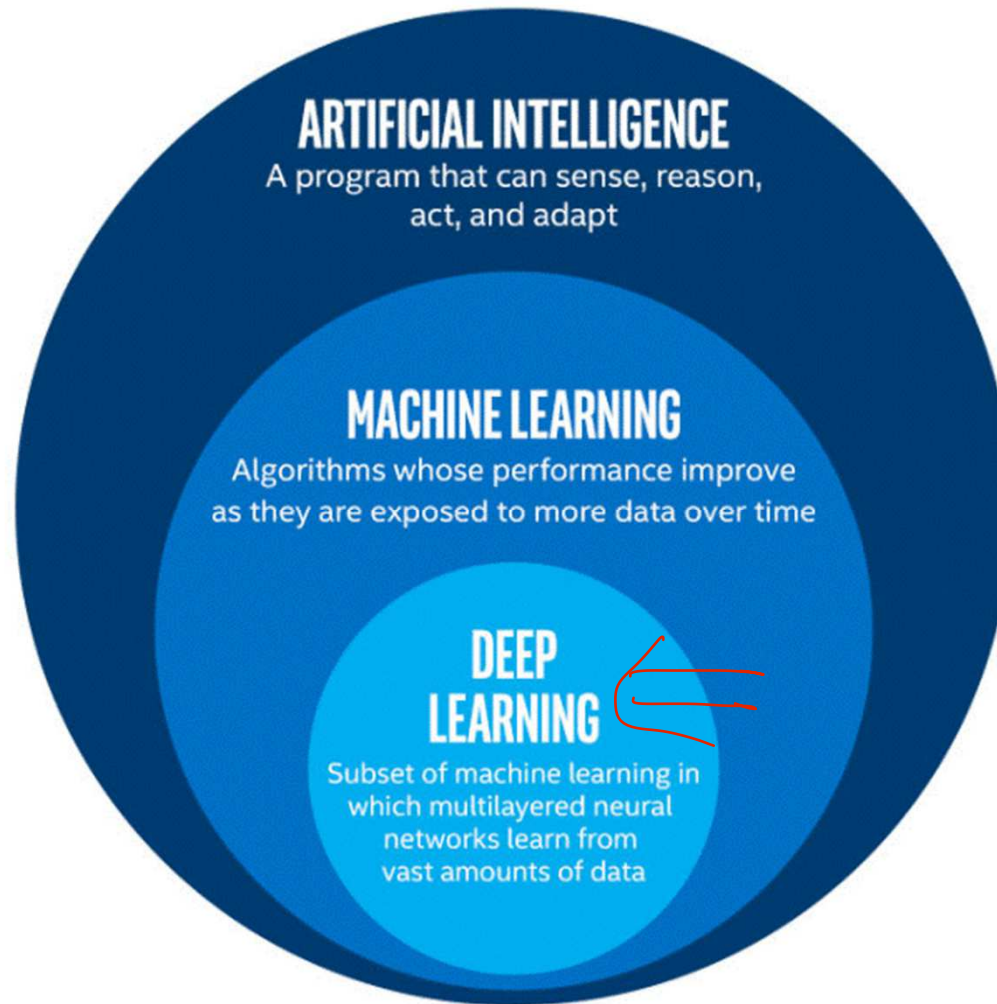
- 7.1 Grundlagen und Einleitung
- 7.2 Netzdefinition
- 7.3 Netztraining
- 7.4 Ergebnisse
- 7.5 Herausforderungen



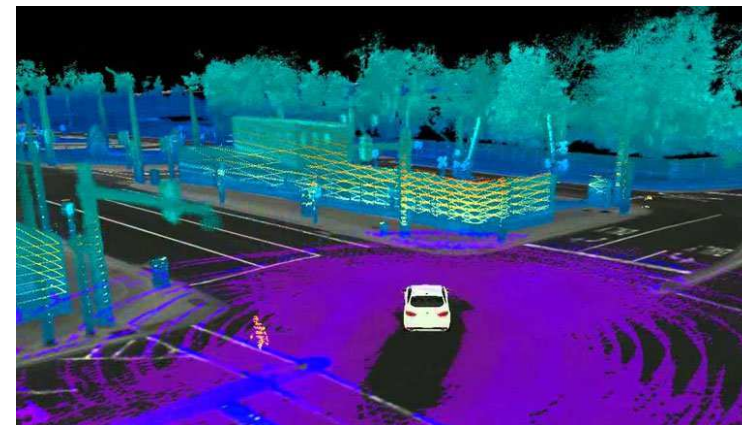
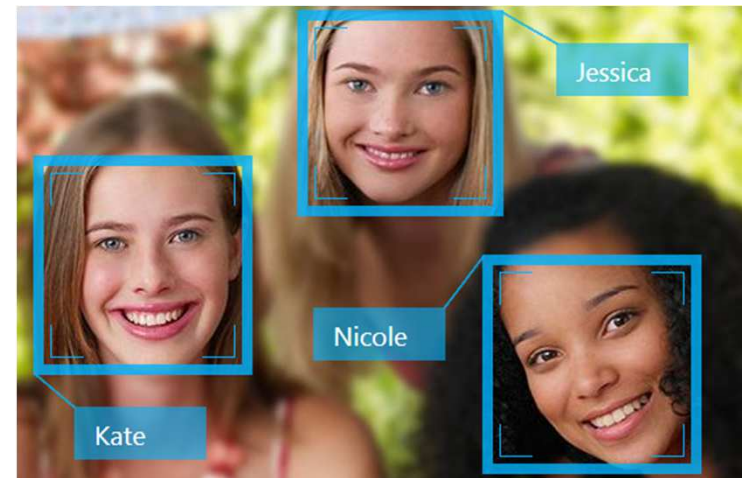
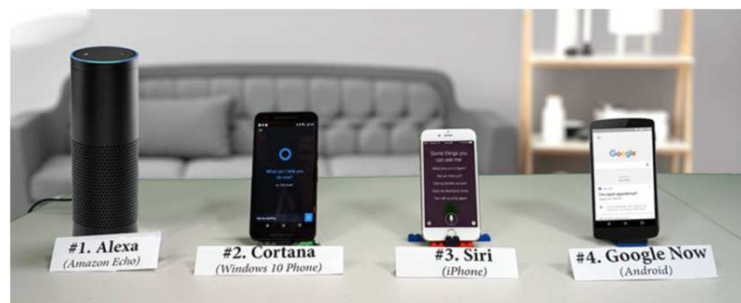
# Machine Learning - Übersicht



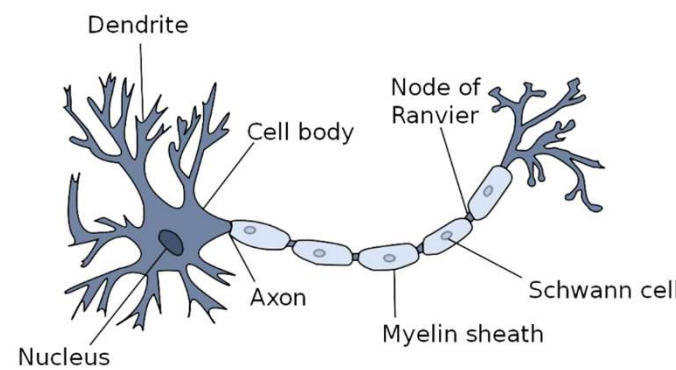
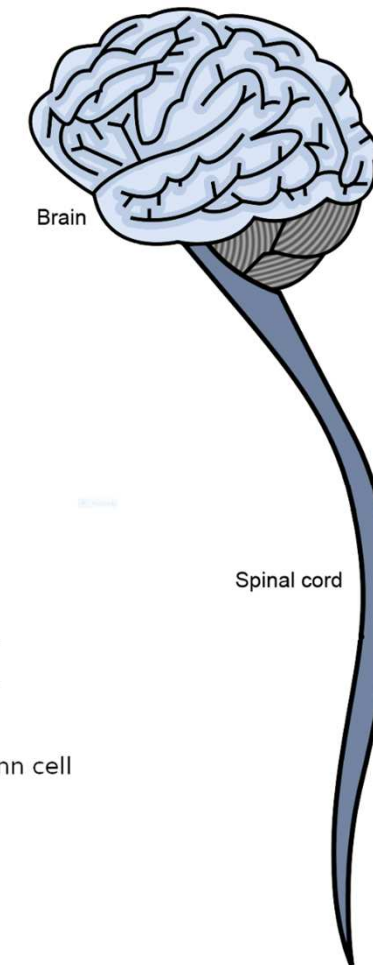
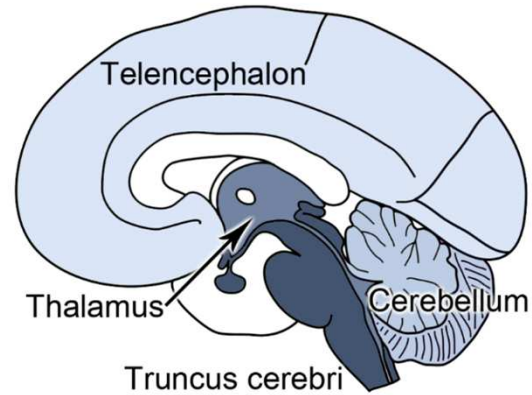
# Machine Learning - Übersicht



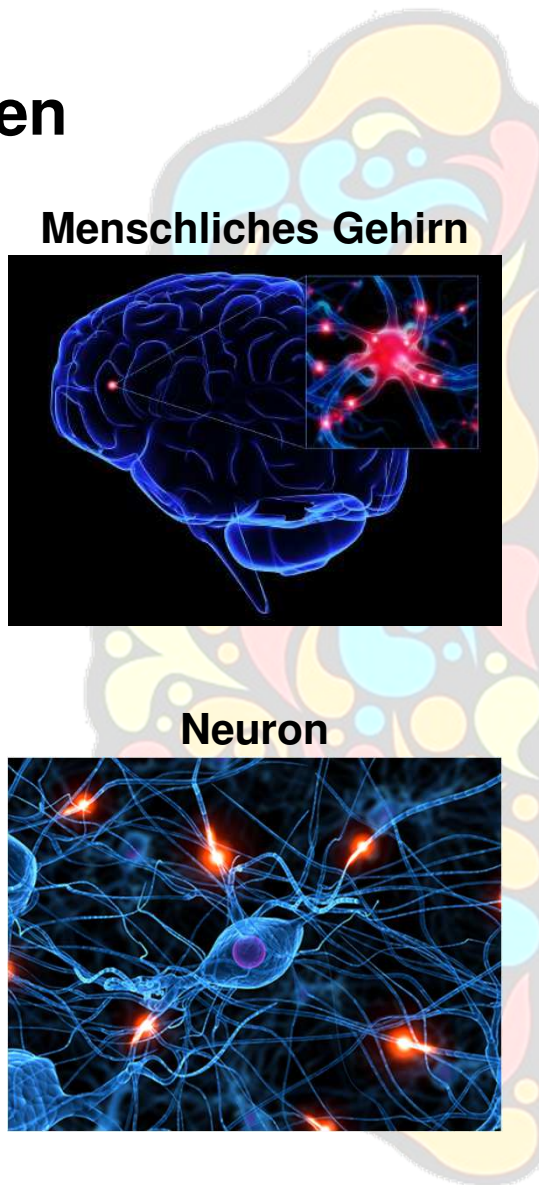
# Deep Learning - Übersicht



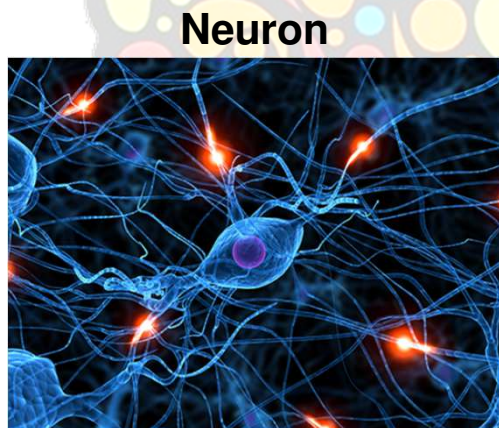
# Grundlagen



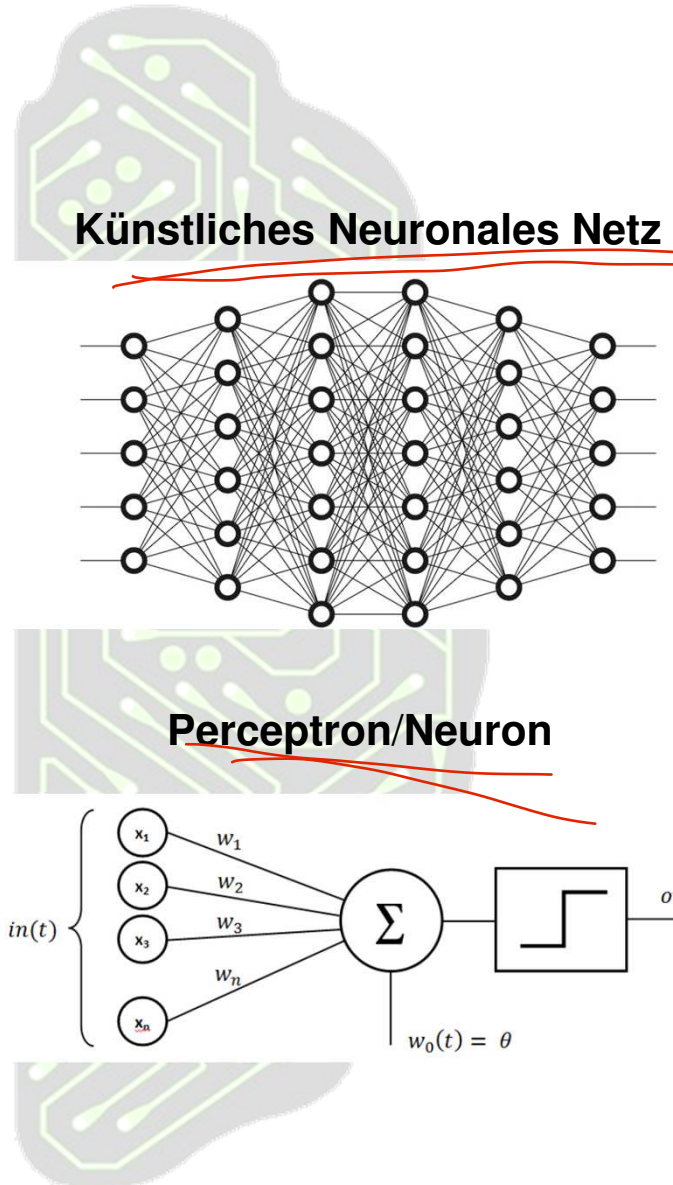
# Grundlagen



Menschliches Gehirn

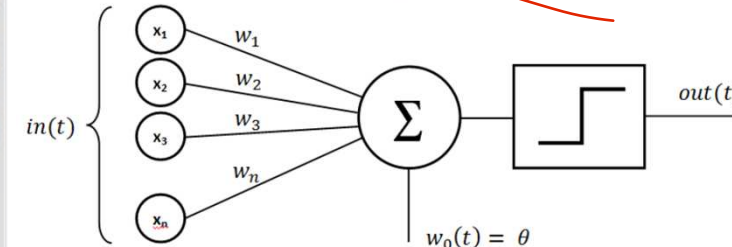


Neuron



Künstliches Neuronales Netz

Perceptron/Neuron



# Deep Learning – Übersicht

Erste neuronale Lernregeln, Hebsche Regel

$$\Delta w_{ij} = \eta \cdot a_i \cdot o_j$$

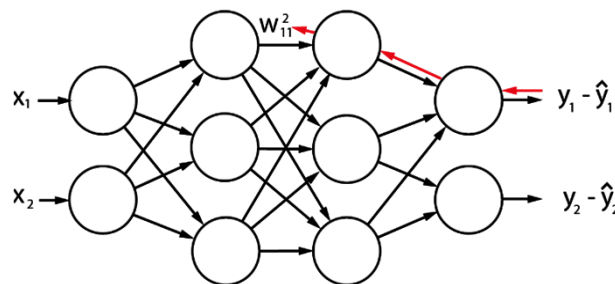
Weitere theoretische Arbeiten, bis

Lösung des „traveling salesman“

Problem mit selbstlernenden Netzen

Erweiterung des Backpropagation

Verfahrens für größere neuronale Netze



- 1942 Beschreibung erster neuronaler Netze
- 1949
- 1957 Erster erfolgreicher Neurocomputer 20 x 20 px
- 1969
- 1974 Theoretische Entwicklung des Backpropagation Verfahrens
- 1985
- 1986 weitere Publikation zur Backpropagation
- 2006
- 2007 Einsatz von GPU zur Berechnung von NN  
+ Verfügbarkeit einer großen Anzahl benannter Trainingsdaten



# Deep Learning – Übersicht

Projekt „ALVINN“, 1989.

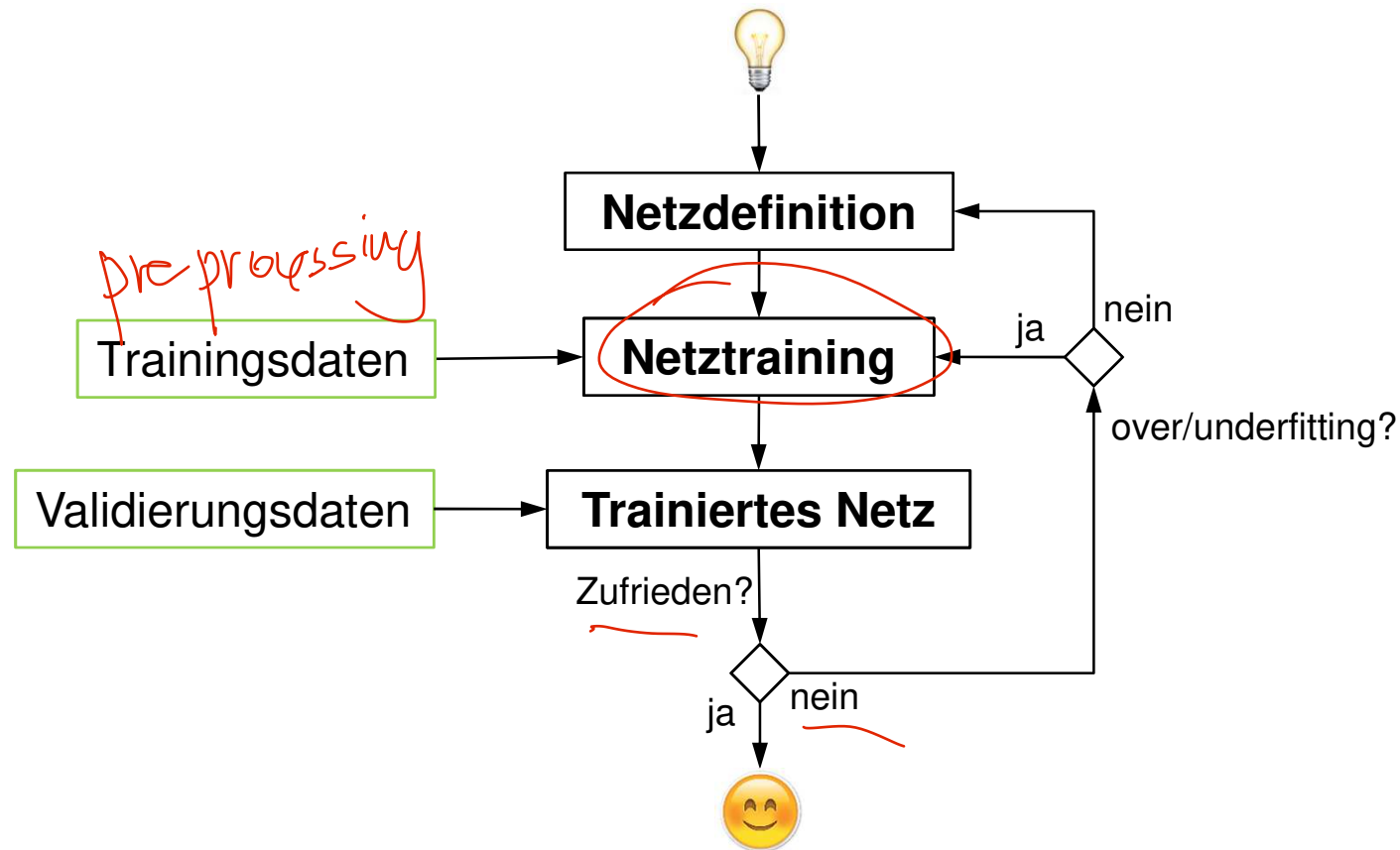


# Deep Learning – Übersicht

Tesla, FSD Beta 10.10.2, Feb 2022.



# Weg zum neuronalen Netz



# Deep Learning

## Domagoj Majstorovic, M.Sc.

### Agenda

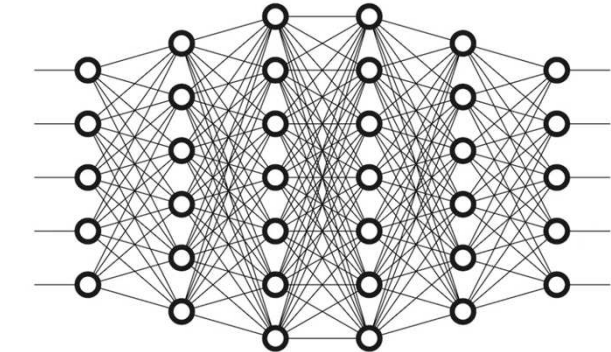
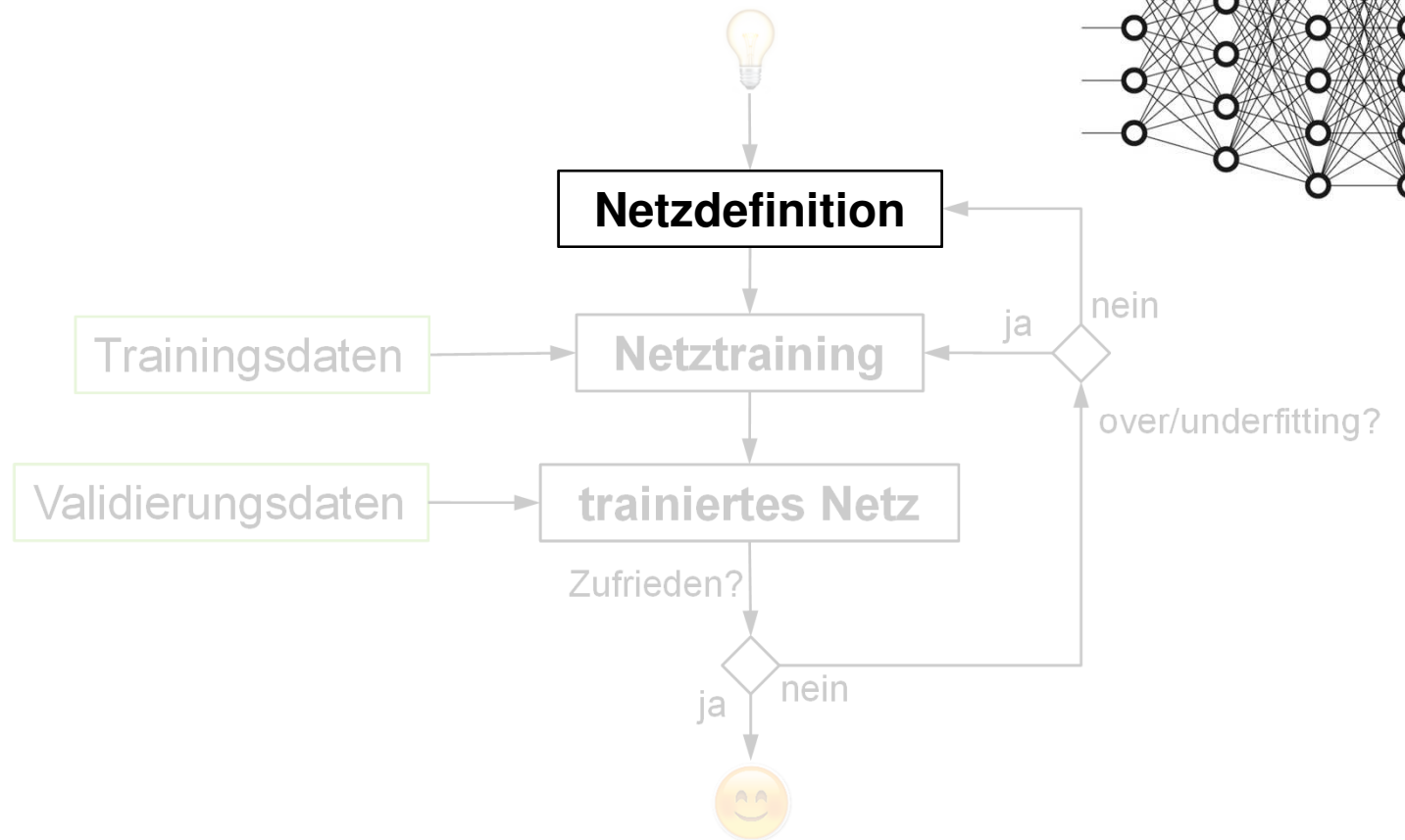
---

#### 7 Deep Learning / Neuronale Netze

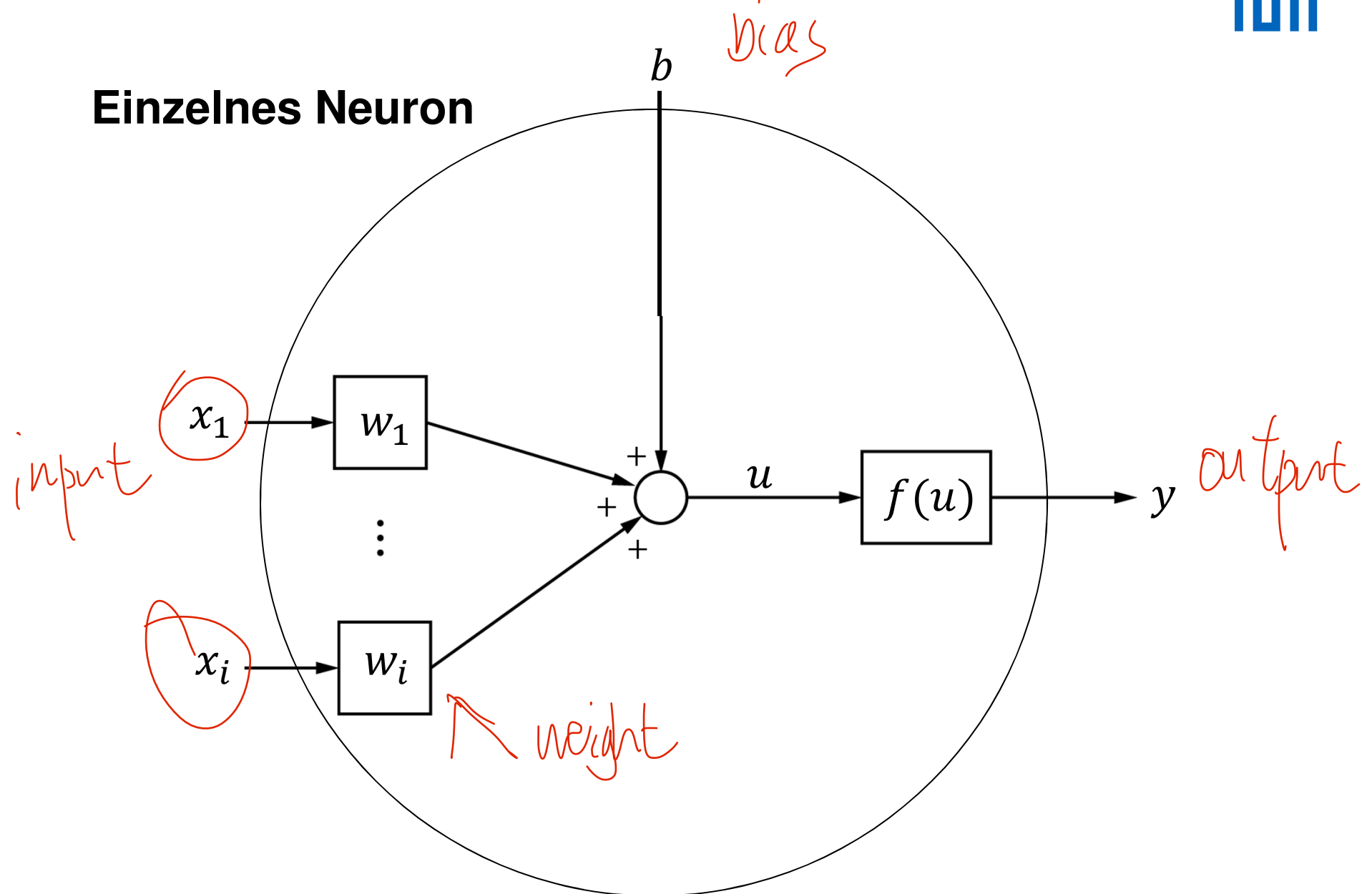
- 7.1 Grundlagen und Einleitung
- 7.2 Netzdefinition
- 7.3 Netztraining
- 7.4 Ergebnisse
- 7.5 Herausforderungen



# Weg zum neuronalen Netz



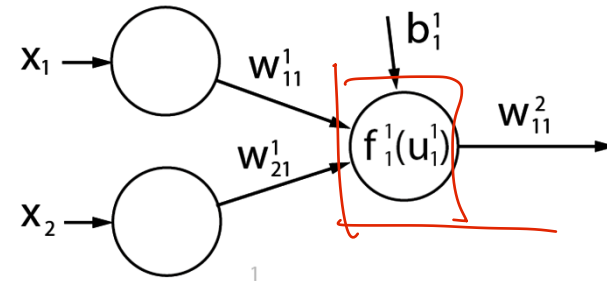
## Einzelnes Neuron



# Aktivierungsfunktion

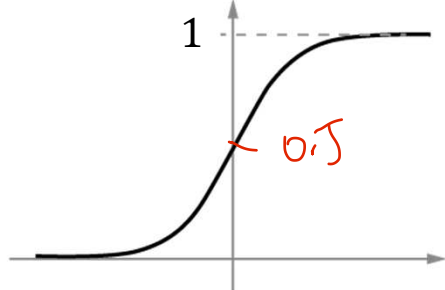
Aktivierung:

$$u_1 = x_1 w_{11}^1 + x_2 w_{21}^1 + b_1^1$$



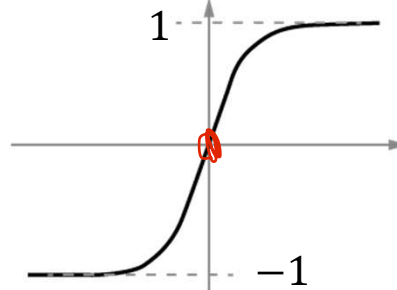
Aktivierungsfunktion  $f(u)$  z.B.:

Sigmoid



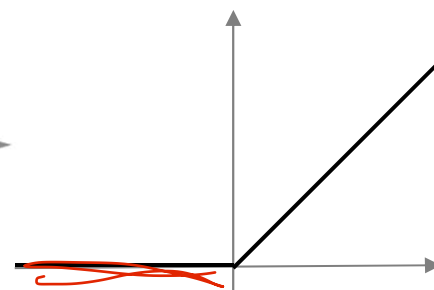
$$f(u) = \frac{1}{1 + e^{-u}}$$

TanH



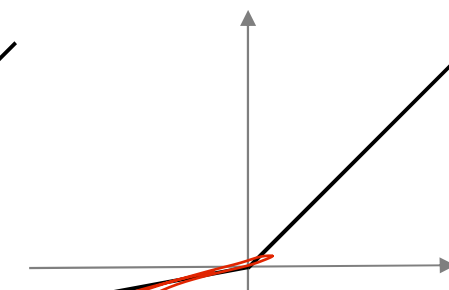
$$f(u) = \frac{e^u - e^{-u}}{e^u + e^{-u}}$$

ReLU



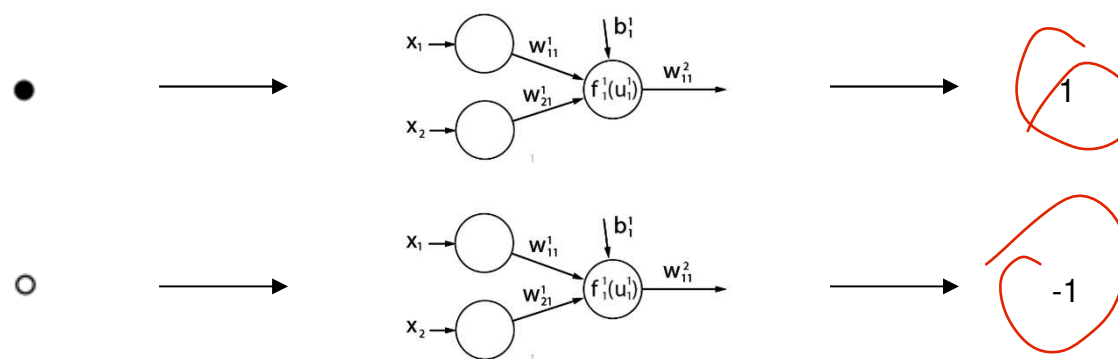
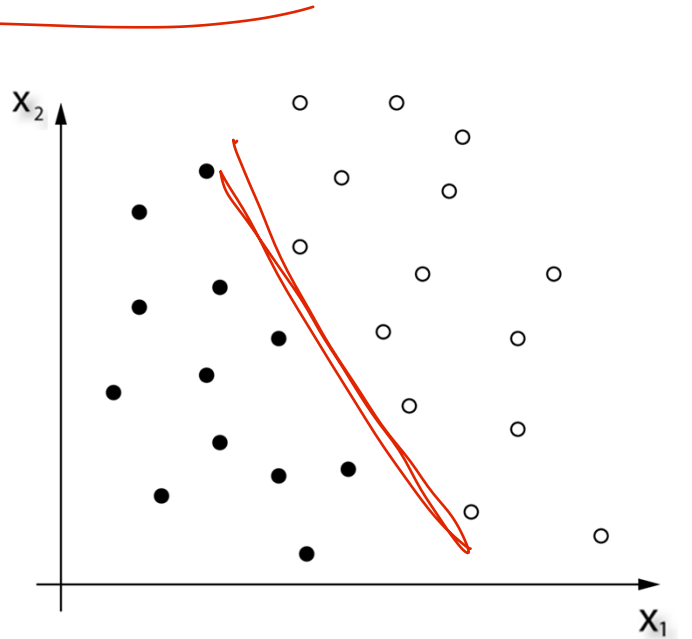
$$f(u) = \max(0, u)$$

Leaky ReLU



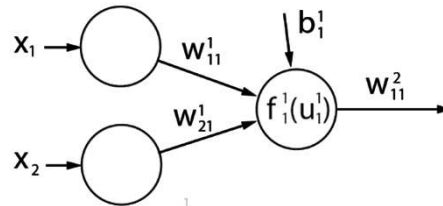
$$f(u) = \max(0.01 * u, u)$$

# Single Neuron Classifier



# Wie werden die Gewichte bestimmt?

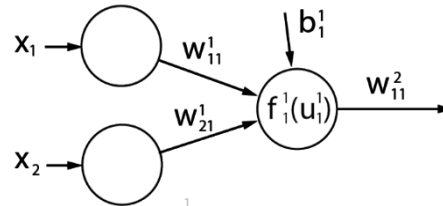
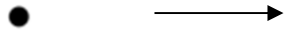
Ziel:



1

Fehler z.B.:  $L = 0.9^2$

Im Training:

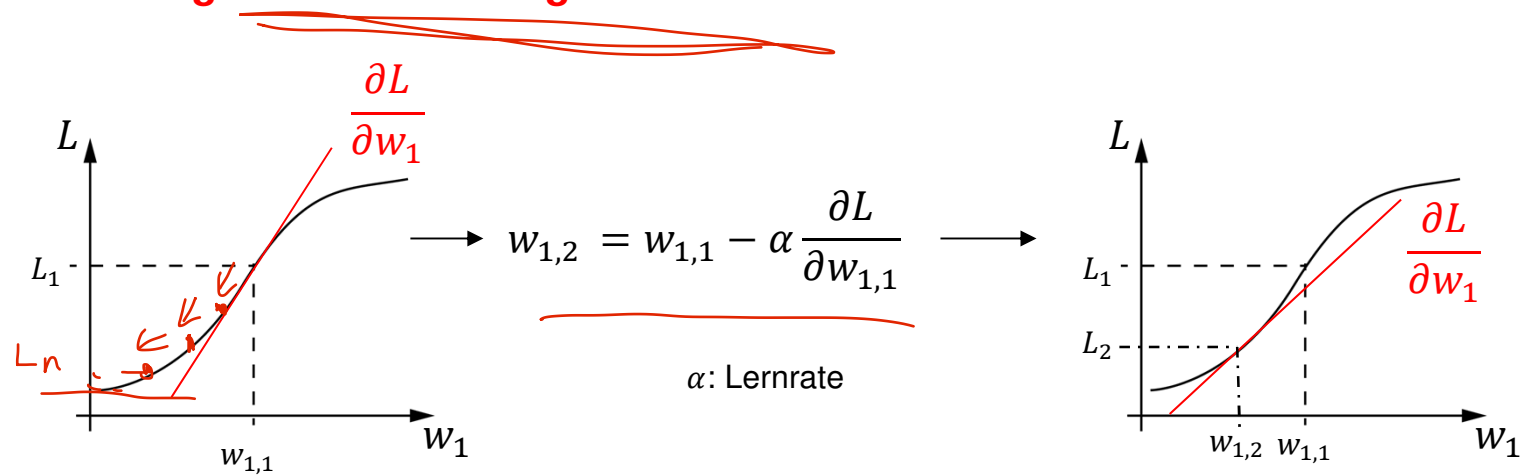


0.1

Wie müssen  $w_1, w_2, b$  geändert werden damit  $L$  minimal wird?

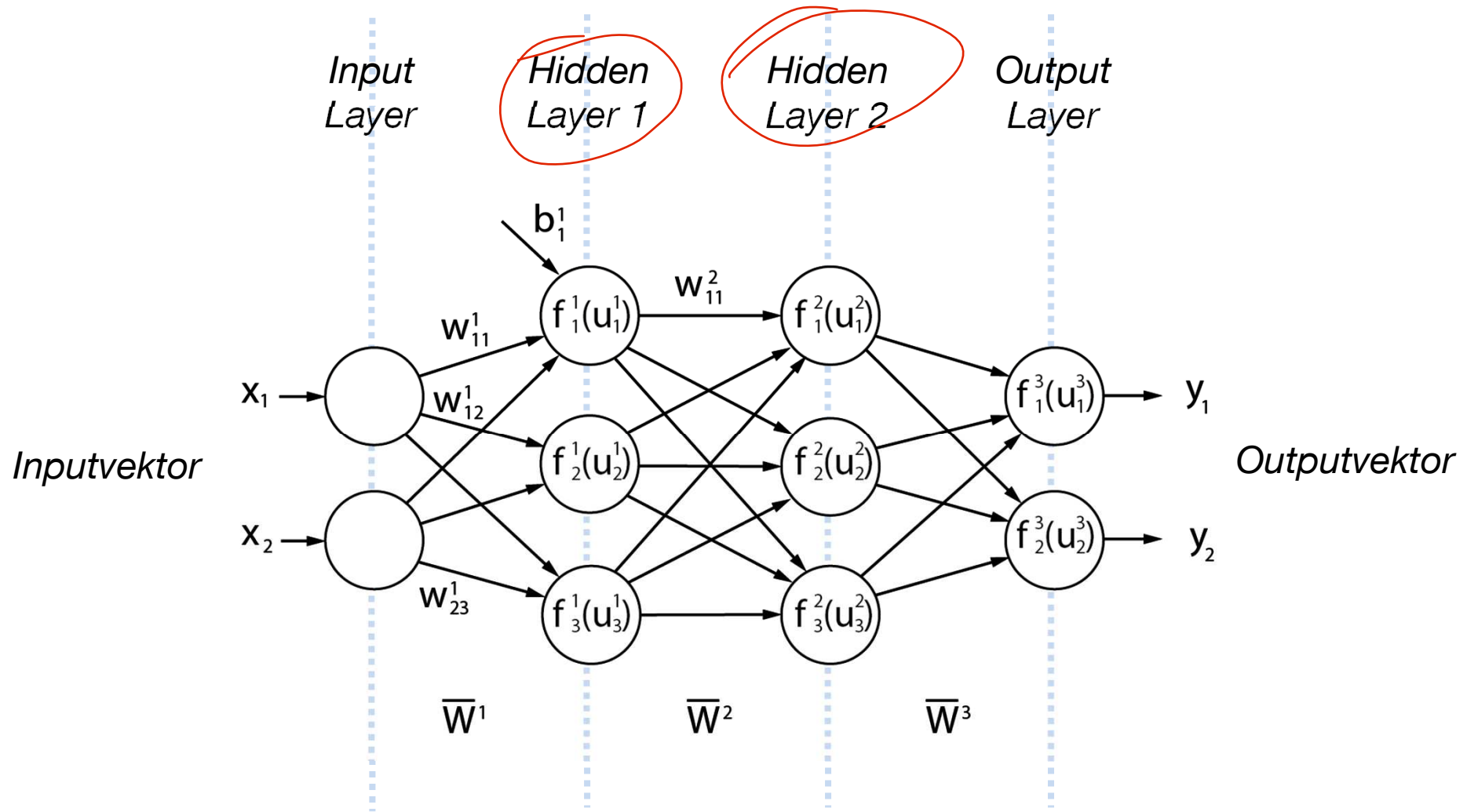
# Wie werden die Gewichte bestimmt?

Lösung: lokale Ableitung / Gradient



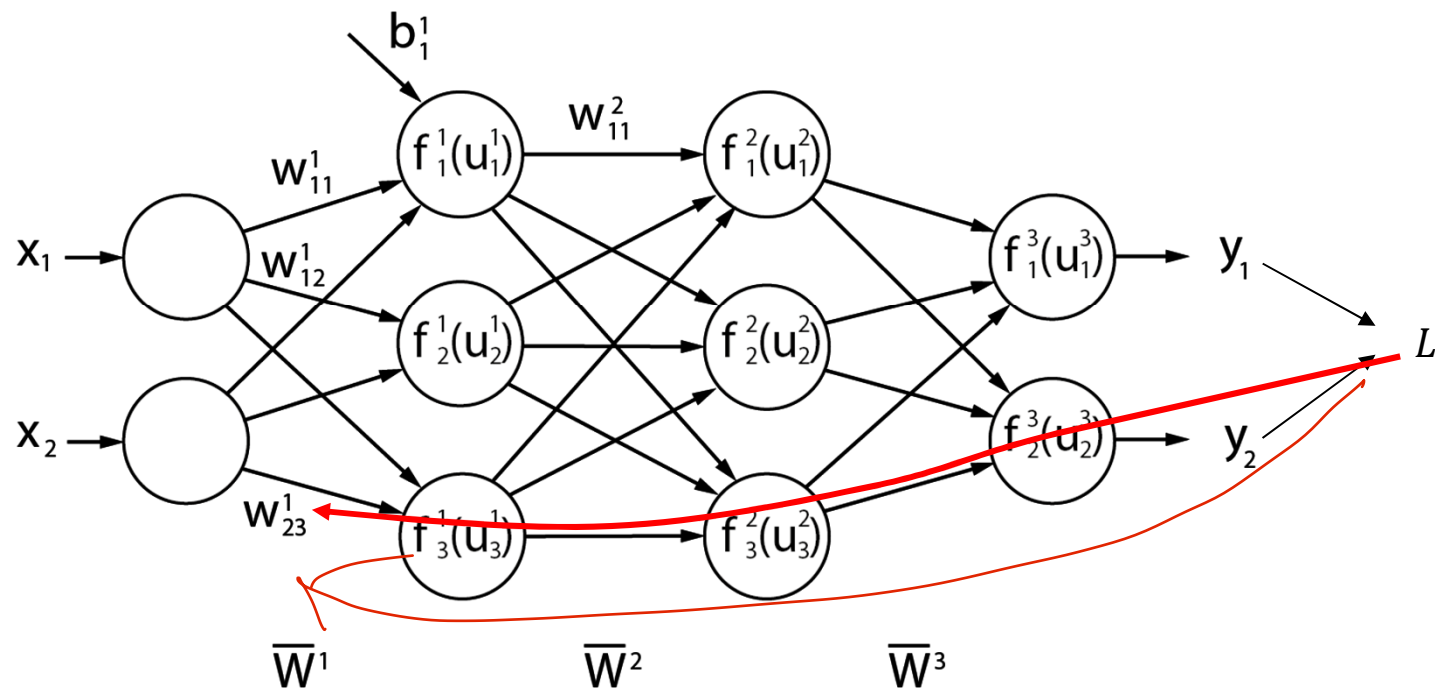
$$w_{1,3} = \dots$$

## Netzaufbau/Netzdefinition



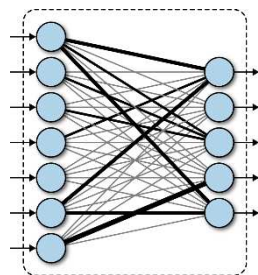
# Backpropagation

... ist ein einfaches Verfahren zur Berechnung der lokalen Ableitungen in einem Netzwerk, mit dem Ziel die Änderungen der Gewichte so zu berechnen, dass der Fehler minimal wird.

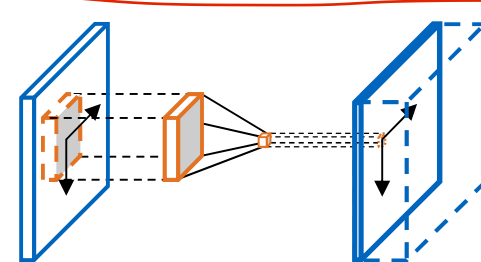


# Netzwerkarten

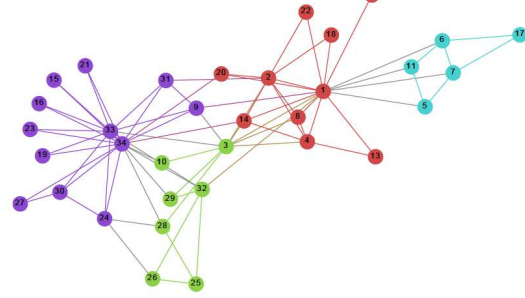
Fully Connected Network



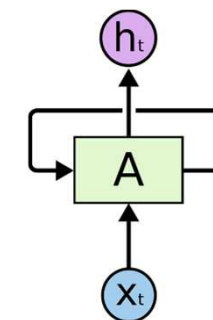
Convolutional Neural Network



Graph Neural Network



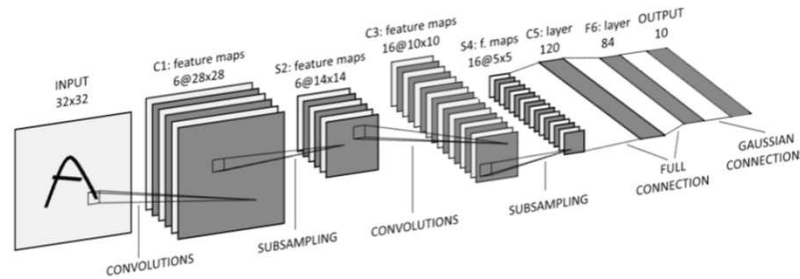
Recurrent Neural Network



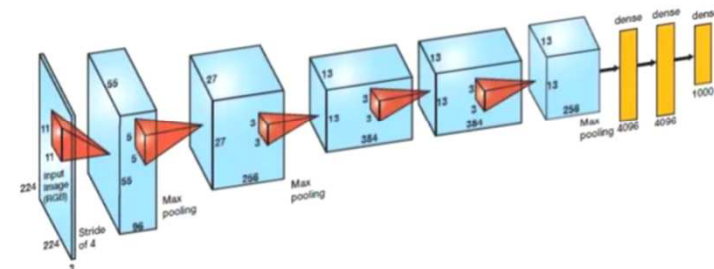
# Netzwerkarchitekturen

CNN

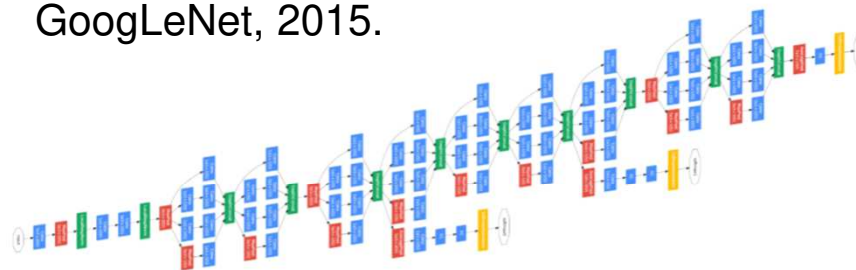
LeNet, 1989.



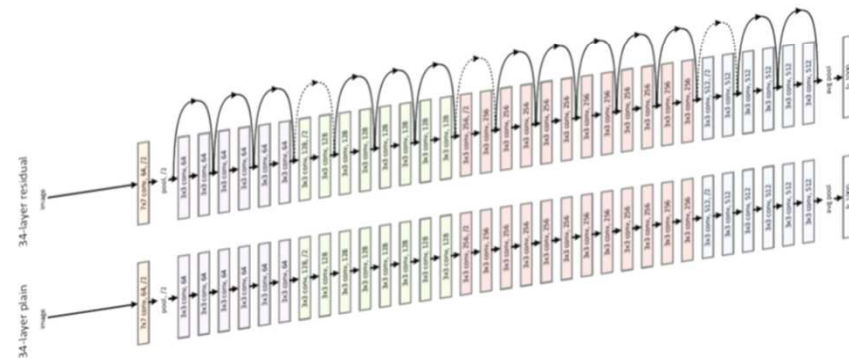
AlexNet, 2012.



GoogLeNet, 2015.

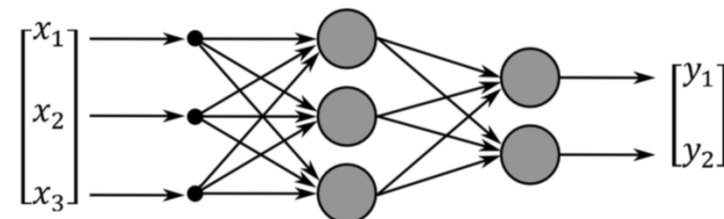


ResNet, 2015.

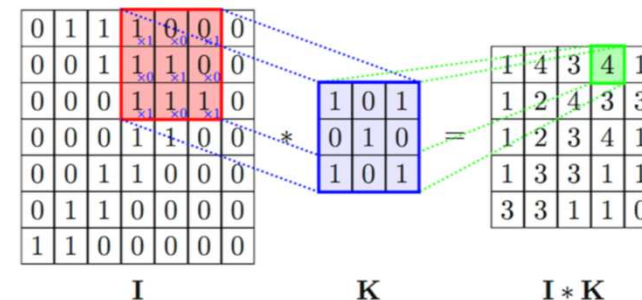


## Layerarten (MLP & CNN)

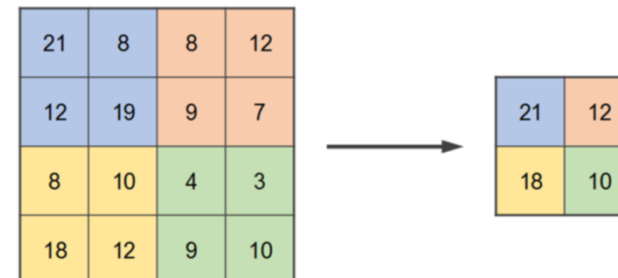
Fully Connected Layer



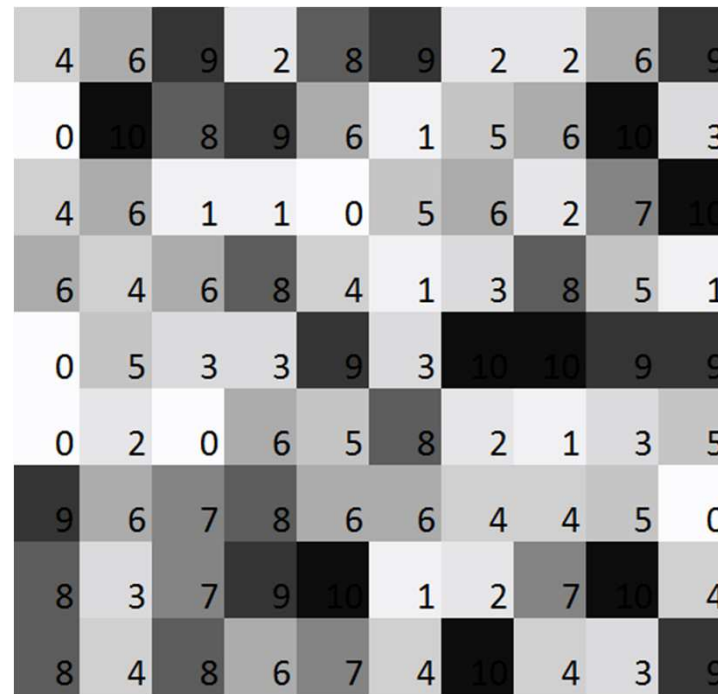
Convolutional Layer



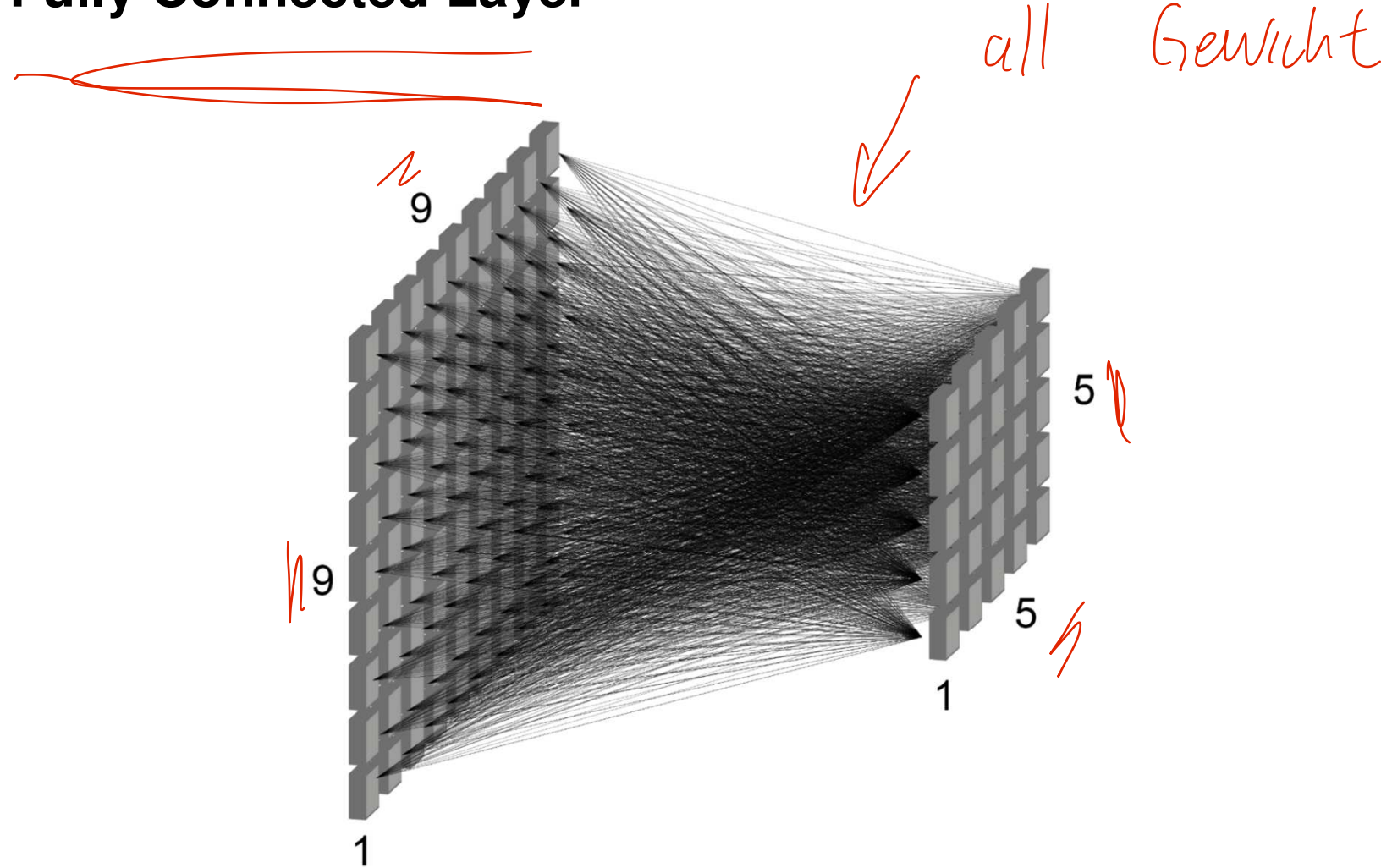
Pooling Layer



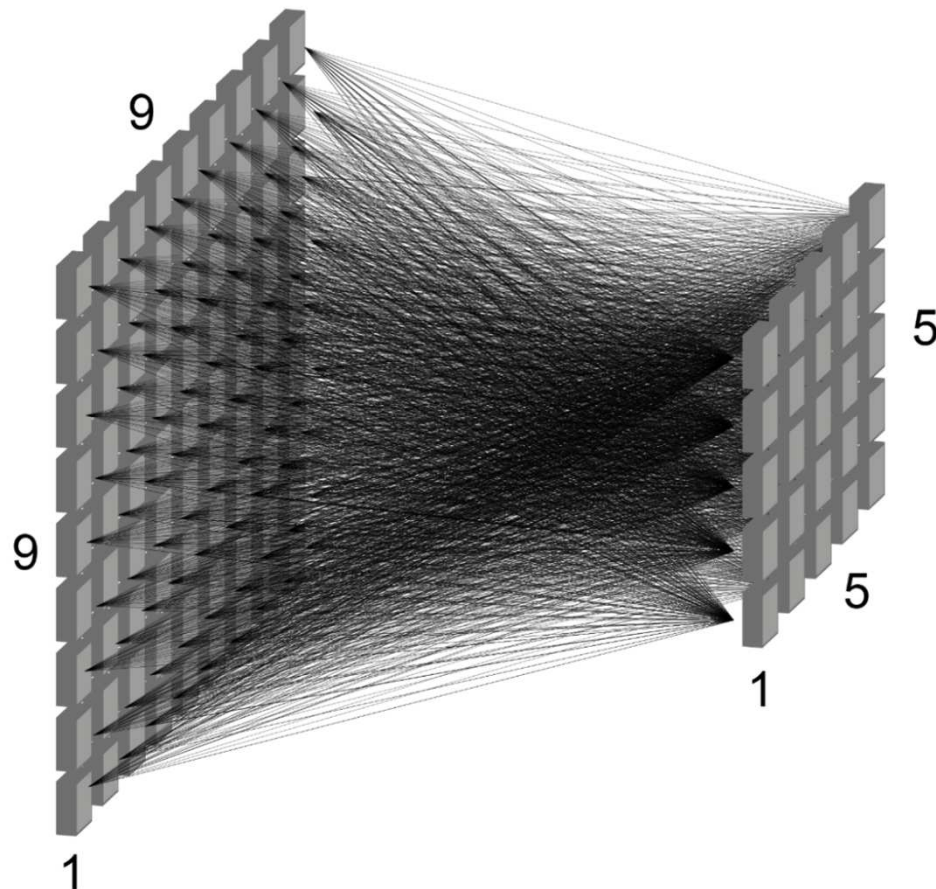
# Wie sehen Computer Bilder



## Fully Connected Layer



# Fully Connected Layer



$$\vec{x} \in K^{1 \times 81}$$

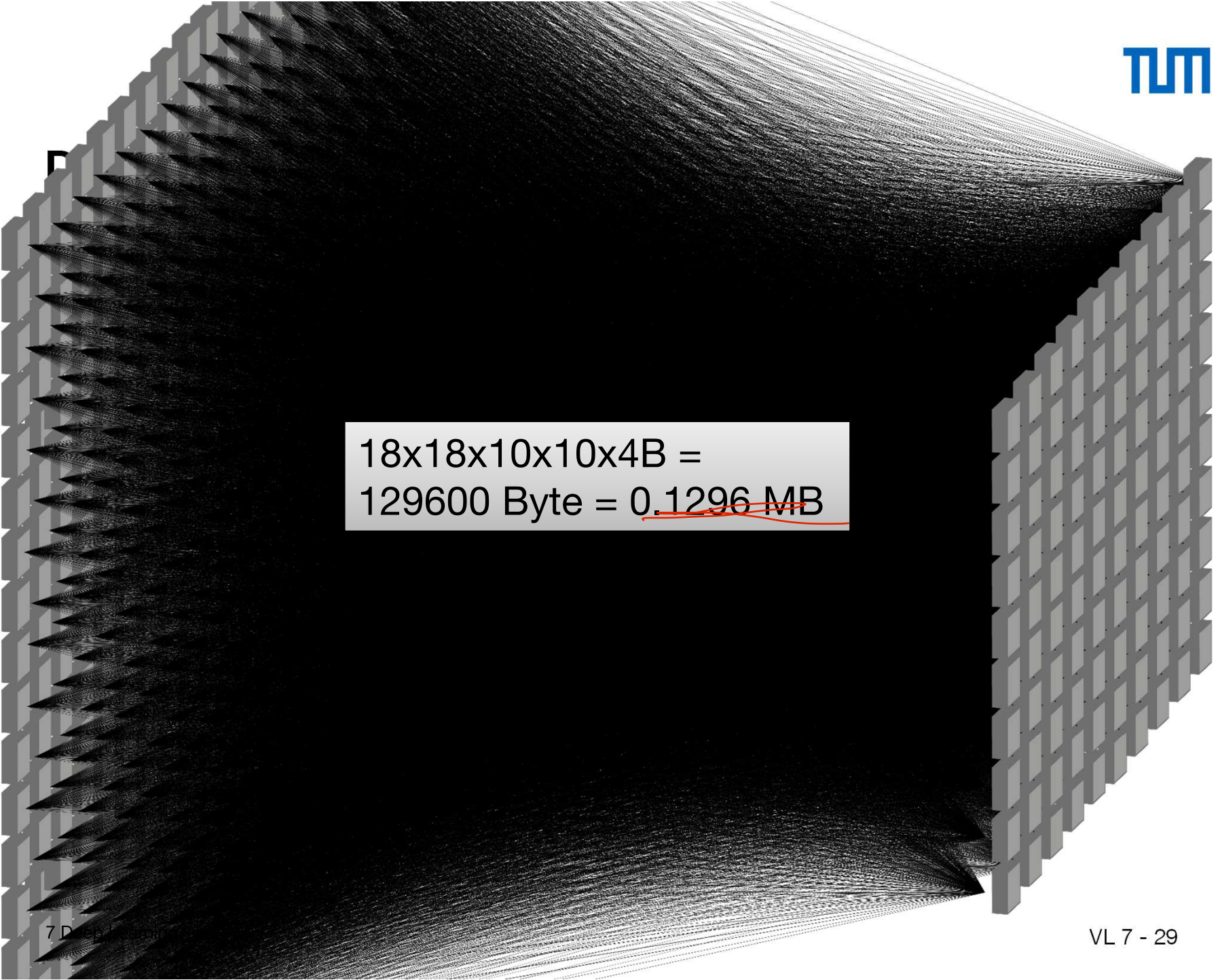
$$\vec{y} \in K^{1 \times 25}$$

$$W \in K^{81 \times 25}$$

$$W = \begin{pmatrix} w_{11} & \dots & w_{1,25} \\ \vdots & \ddots & \vdots \\ w_{81,1} & \dots & w_{81,25} \end{pmatrix}$$

$$\Rightarrow 9 \cdot 9 \cdot 5 \cdot 5 = 2025 \text{ Parameter}$$

$$2025 \times 4B = 8100 \text{ Byte} = 8 \text{ kB}$$



18x18x10x10x4B =  
129600 Byte = 0.1296 MB

FullHD x FullHD?

$$1920 \times 1080 \times 3 \times 1920 \times 1080 \times 3 \times 4B =$$

$$1.54729341e+14 B =$$

$$154.293 \text{ GB} =$$

$$154 \text{ TB} =$$

Internet Traffic of **12800** people in 2018

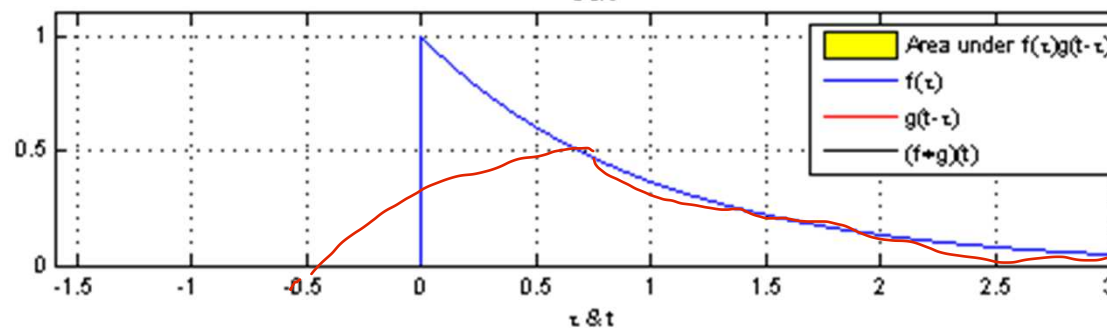
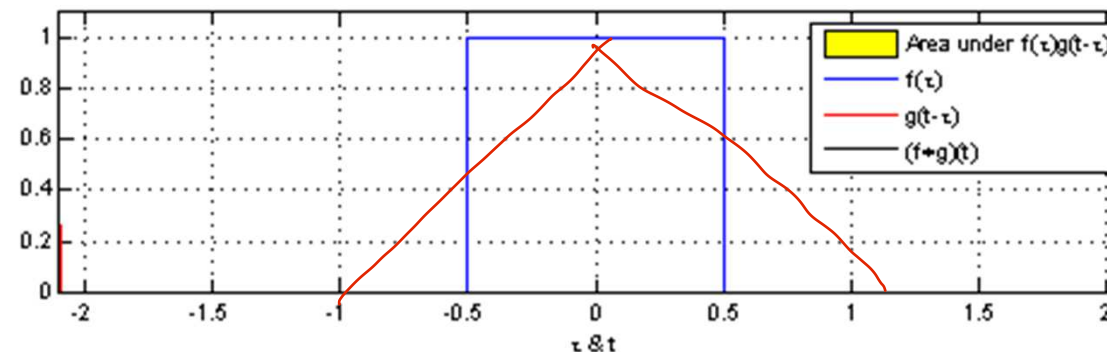
=> For images we need something else

(Red circle around the last two lines)

# Convolution Layer in der Mathematik und Regelungstechnik

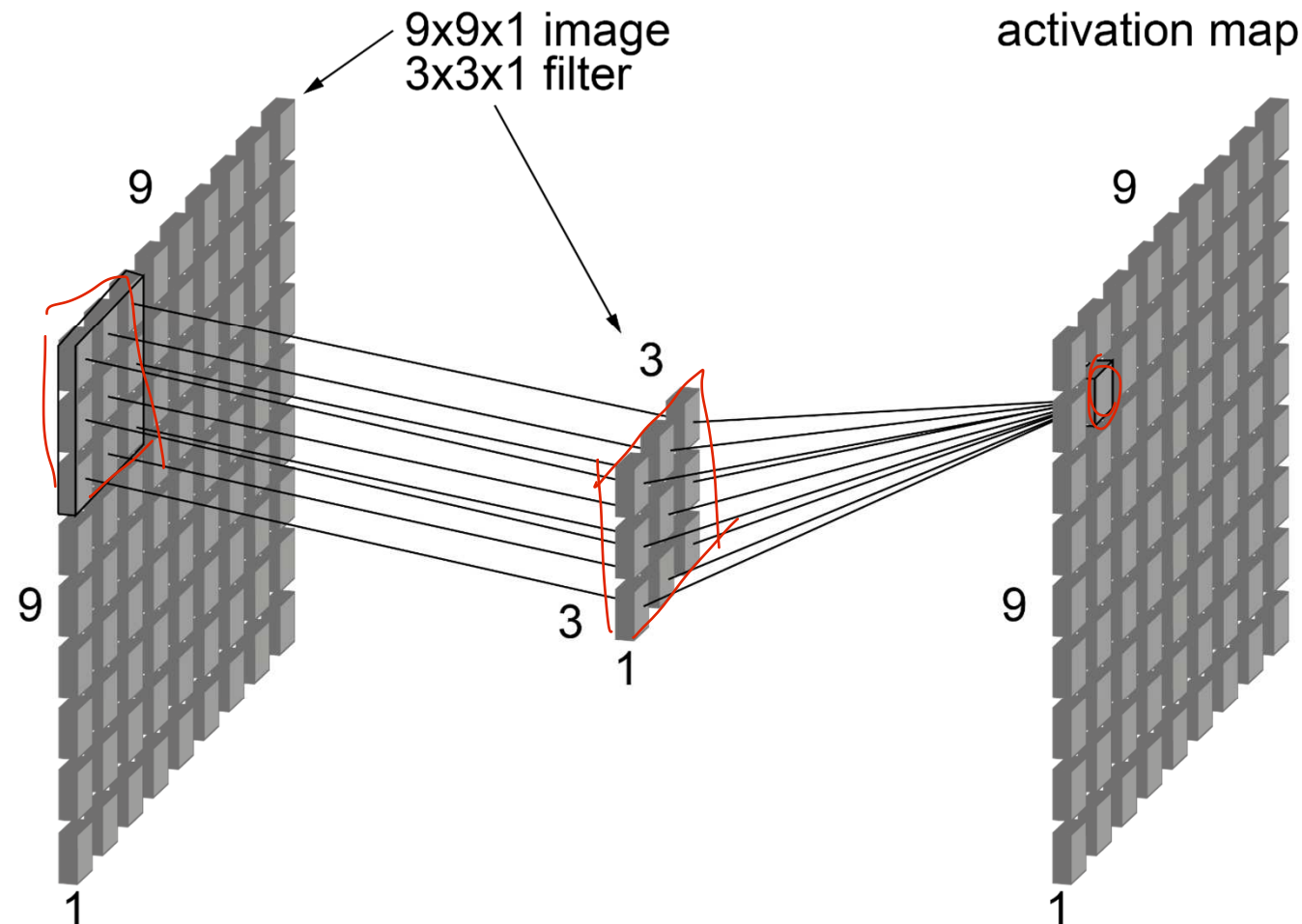
Definition:

$$(f * g)(x) = \int_{\mathbb{R}^n} f(\tau)g(x - \tau)d\tau$$

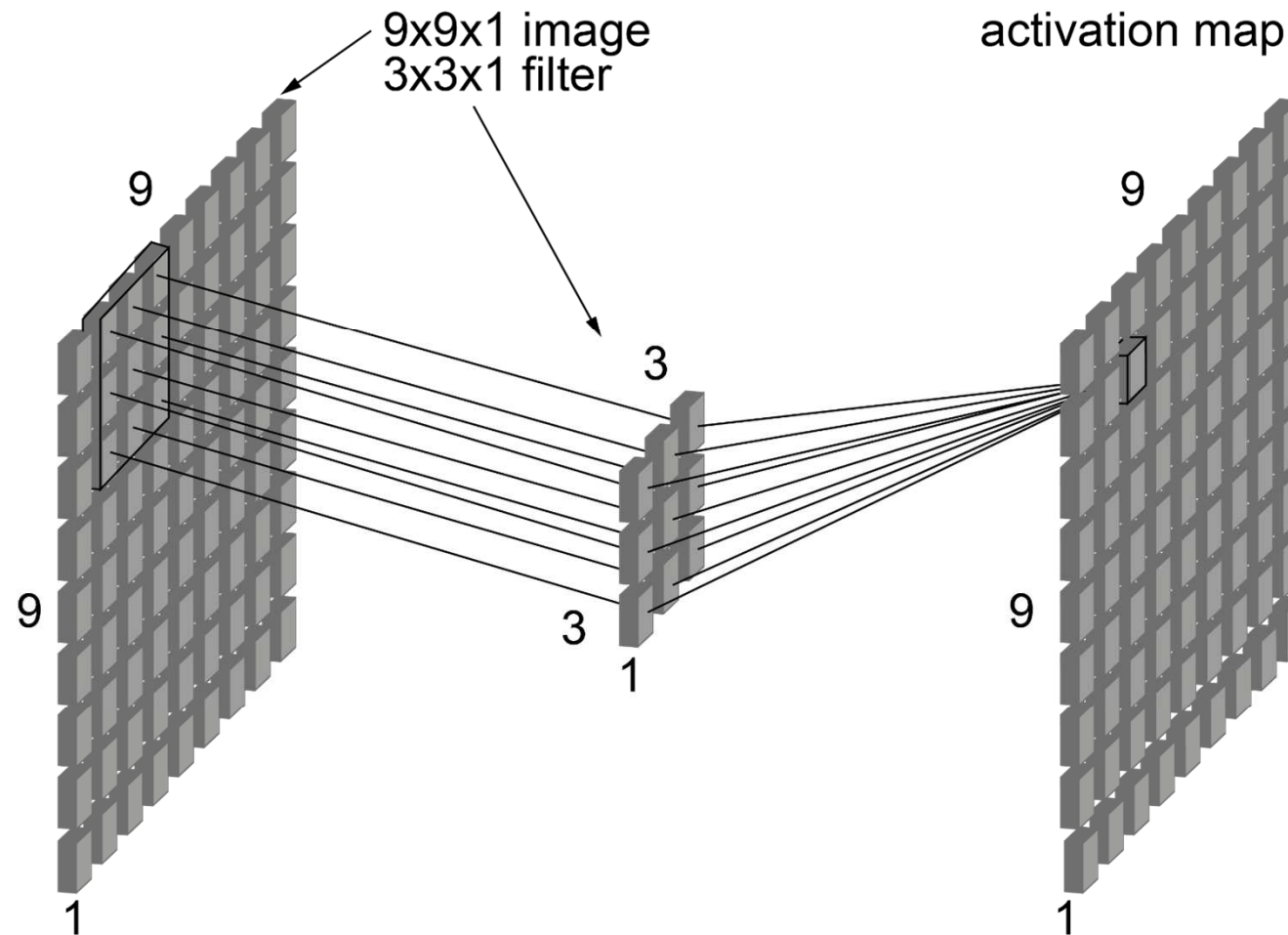


$$f(x, y) * g(x, y) = \sum_{n_1=-\infty}^{\infty} \sum_{n_2=-\infty}^{\infty} f(n_1, n_2) \cdot g(x - n_1, y - n_2)$$

# Convolution Layer

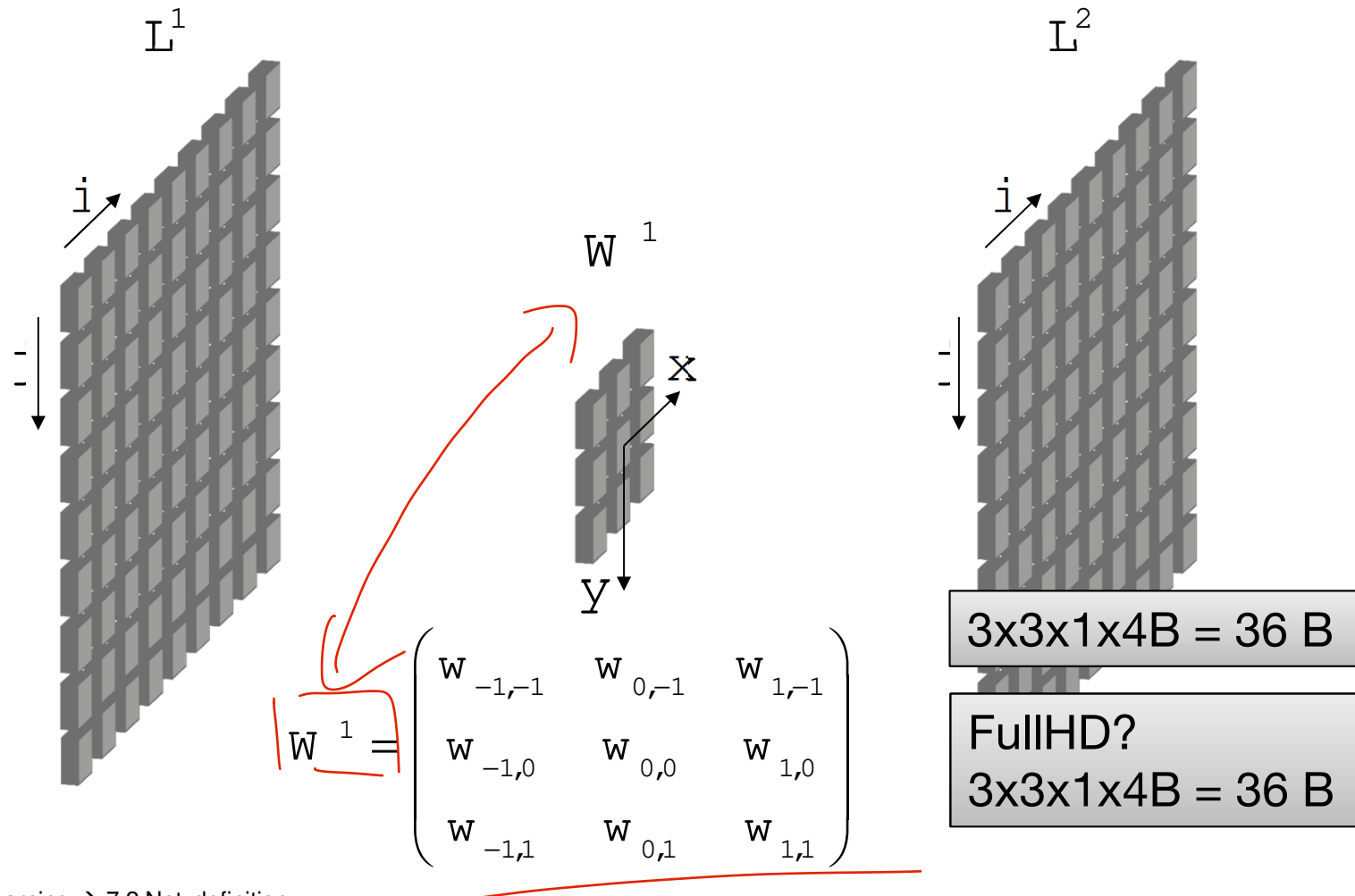


# Convolution Layer

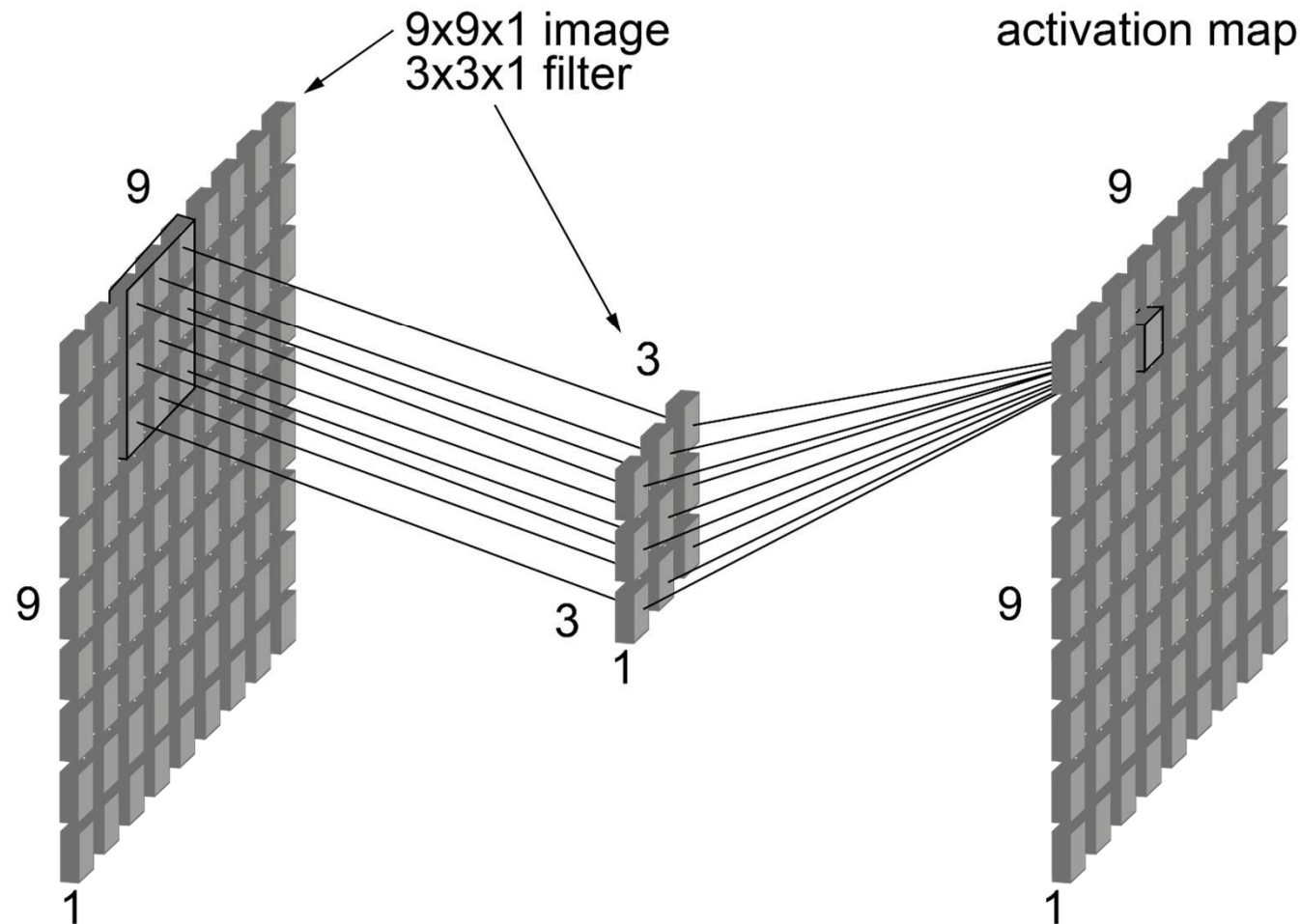


# Convolution Layer

$$L^2_{i,j} = f(\sum_{x=-1}^1 \sum_{y=-1}^1 L^1_{x+i,y+j} \cdot w_{x,y} + b_{i,j})$$

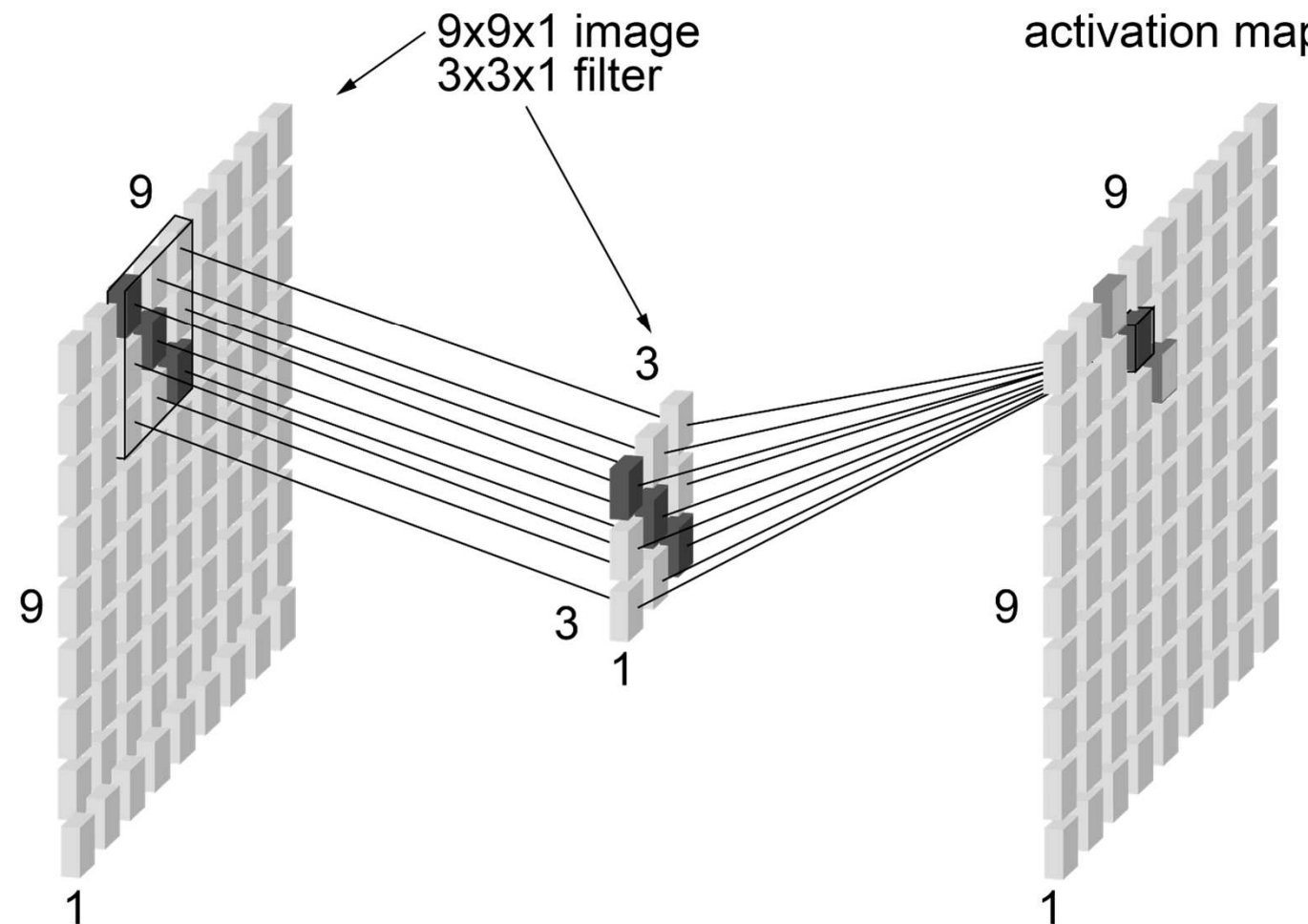


# Convolution Layer

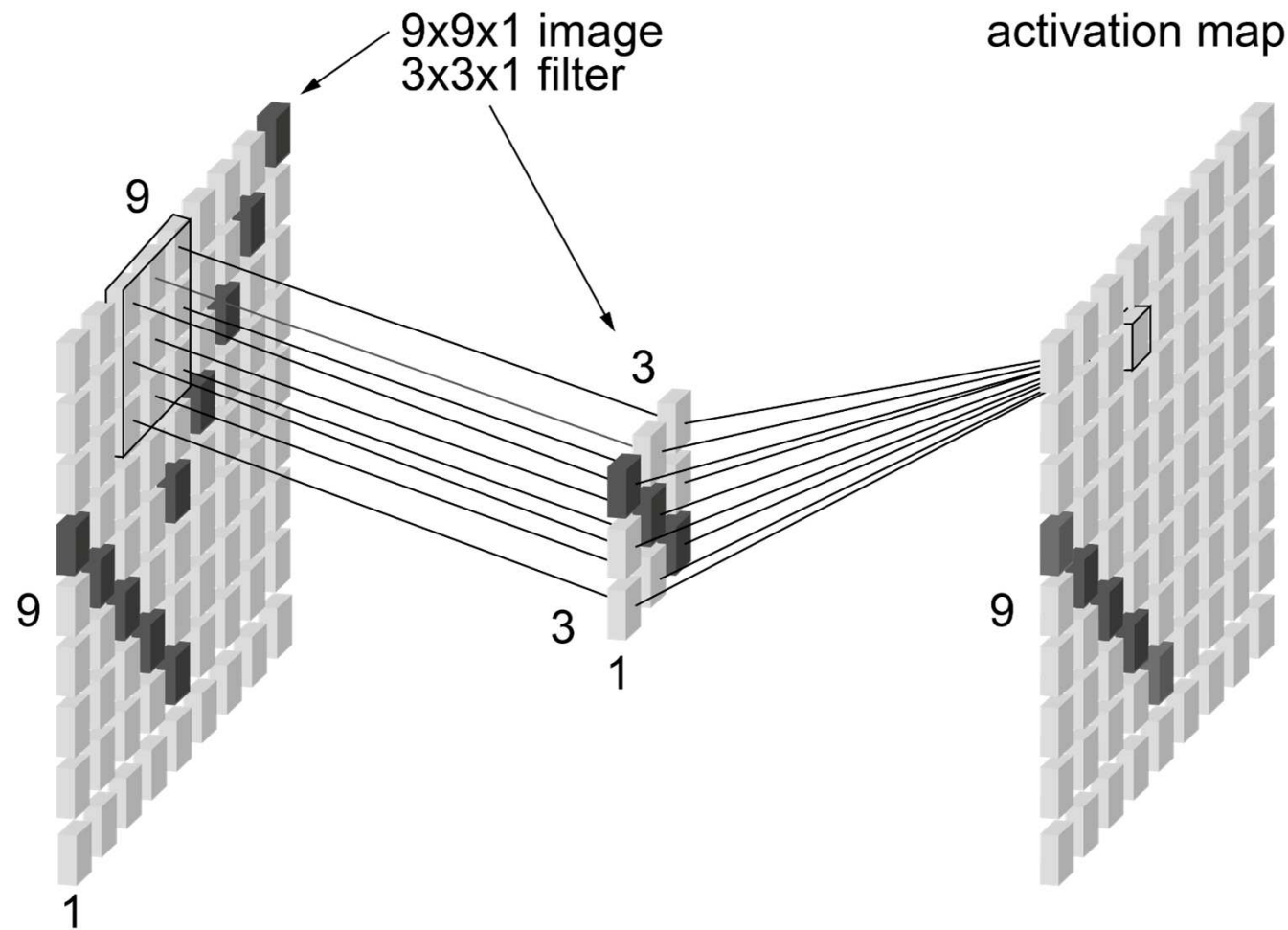


# Convolution Layer

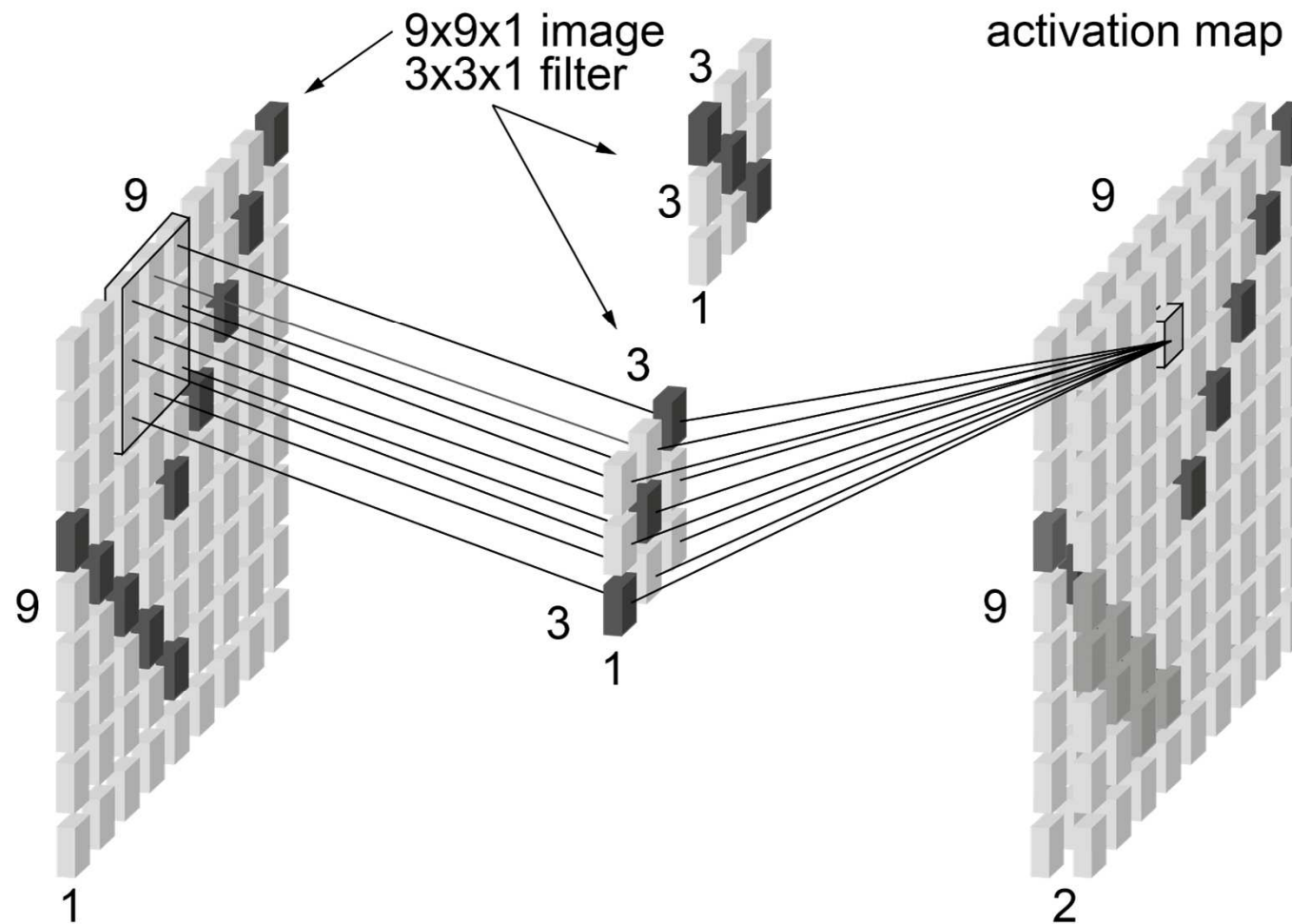
$$L_{i,j}^2 = f\left(\sum_{x=-1}^1 \sum_{y=-1}^1 L_{x+i,y+j}^1 \cdot w_{x,y} + b_{i,j}\right)$$



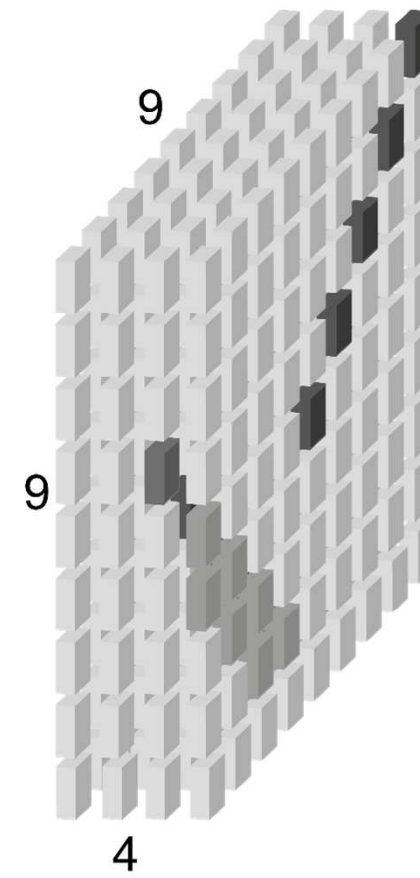
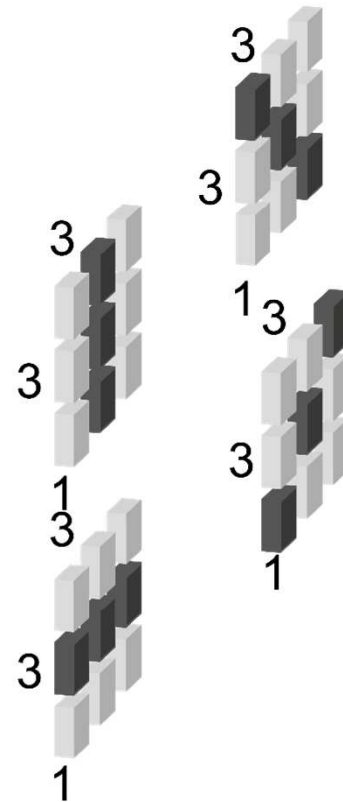
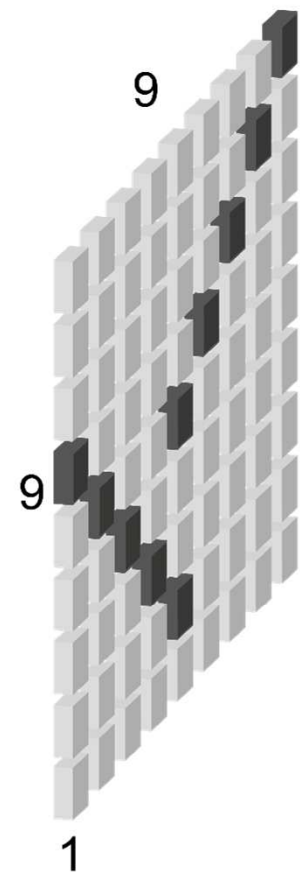
# Convolution Layer



# Convolution Layer

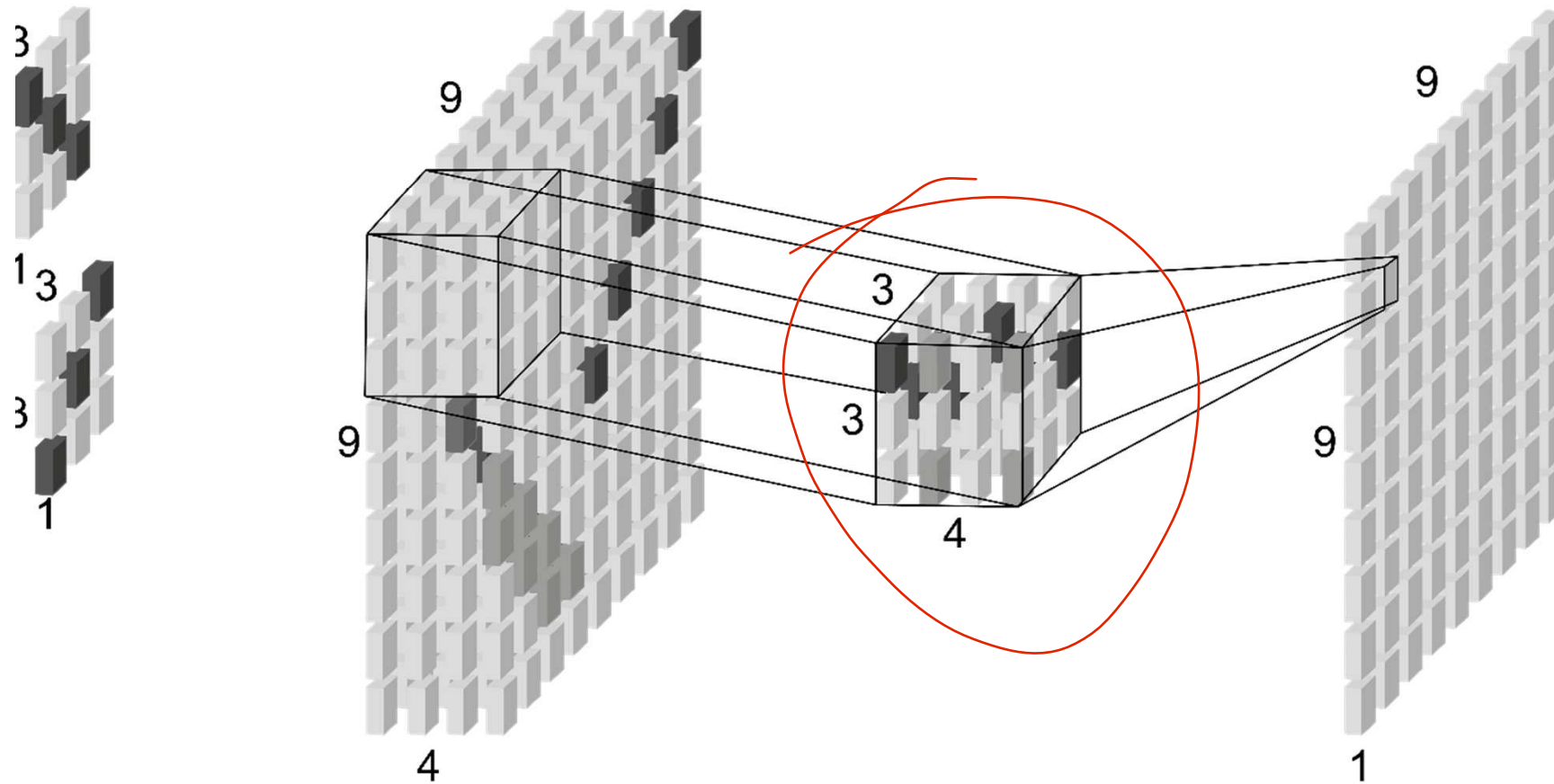


# Convolution Layer



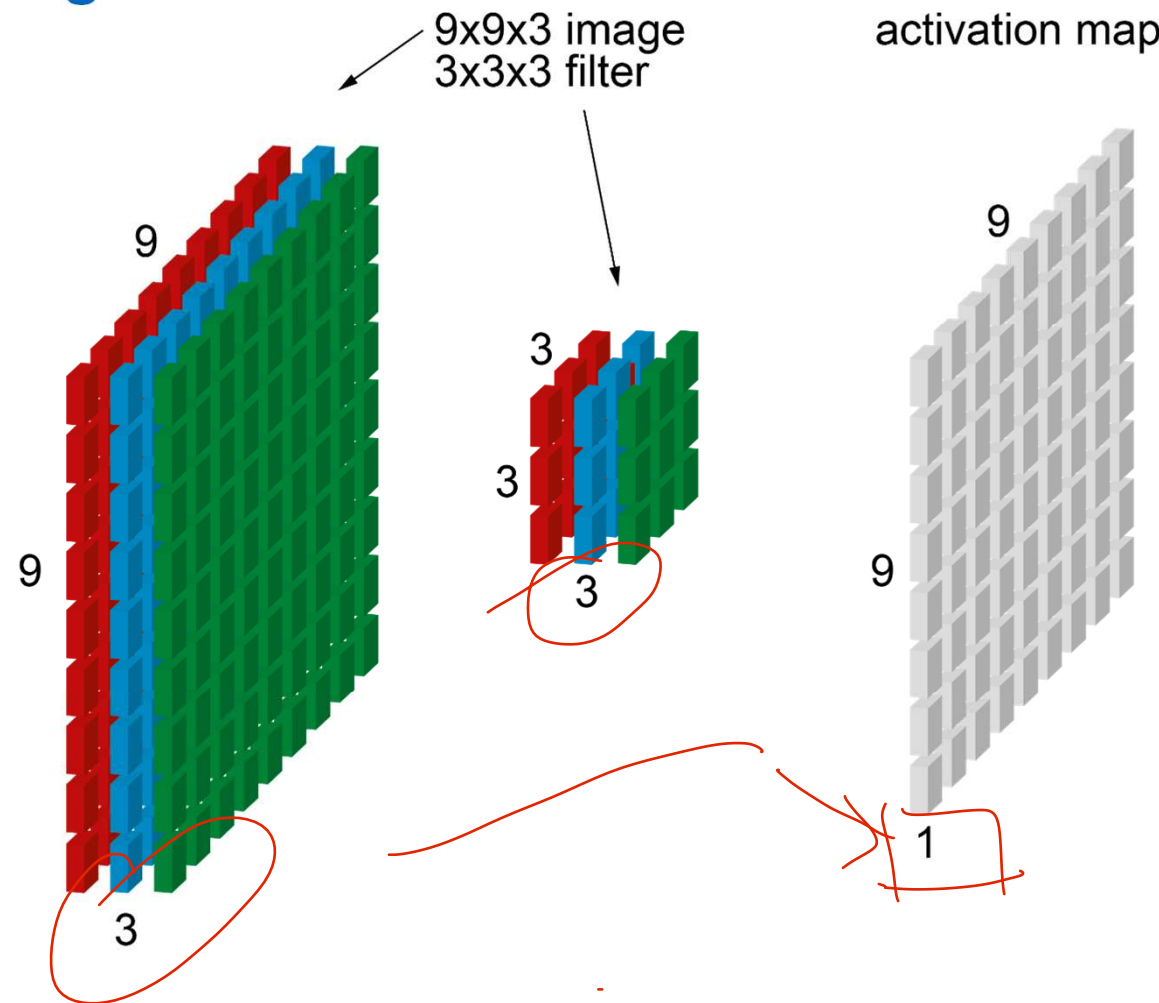
# Convolution Layer

$$L_{i,j,k}^2 = f\left(\sum_{x=-1}^1 \sum_{y=-1}^1 \sum_{z=1}^4 L_{x+i,y+j,z}^1 \cdot w_{i,j,z}^k + b_{i,j}^k\right)$$

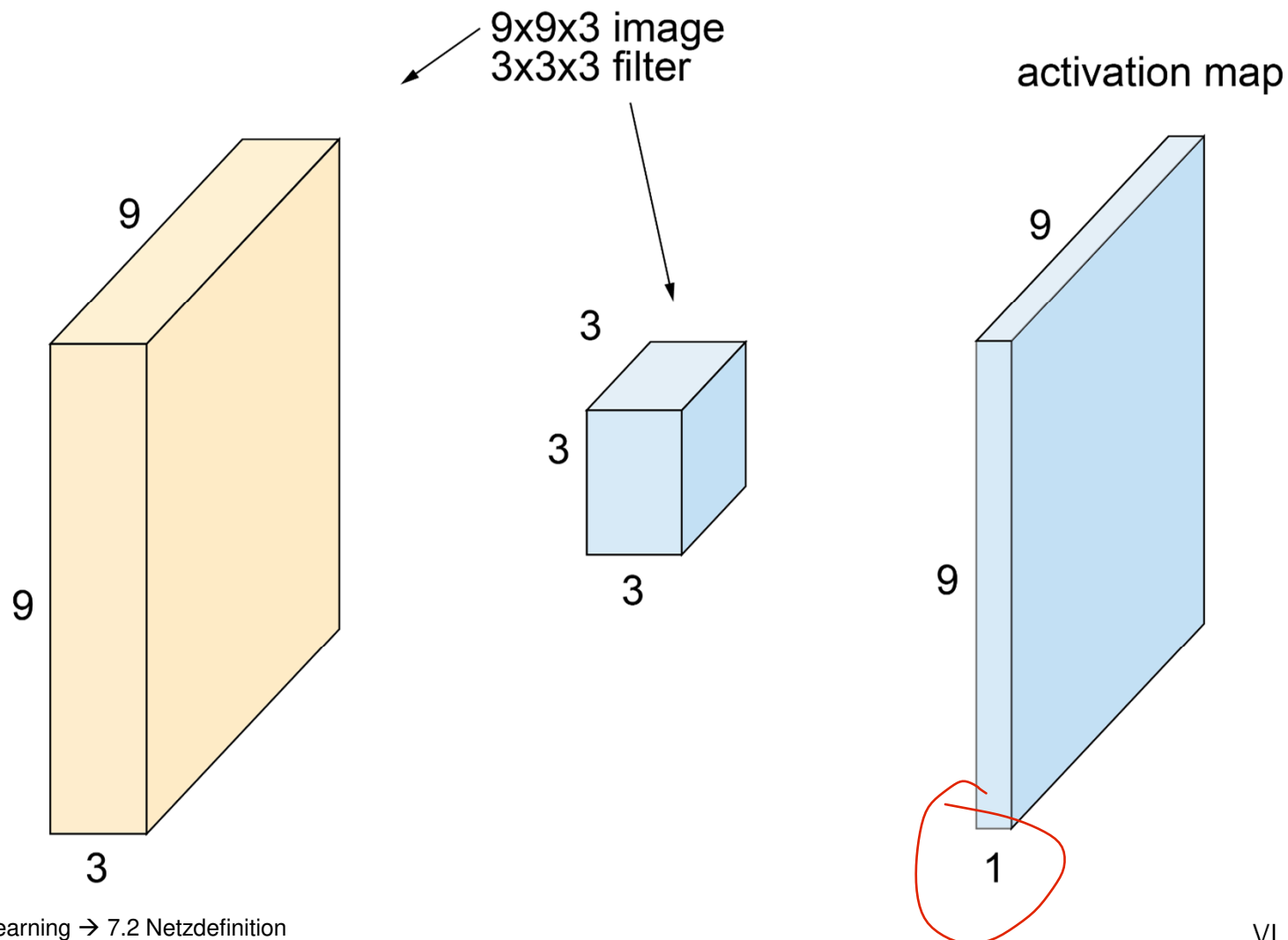


# Convolution Layer

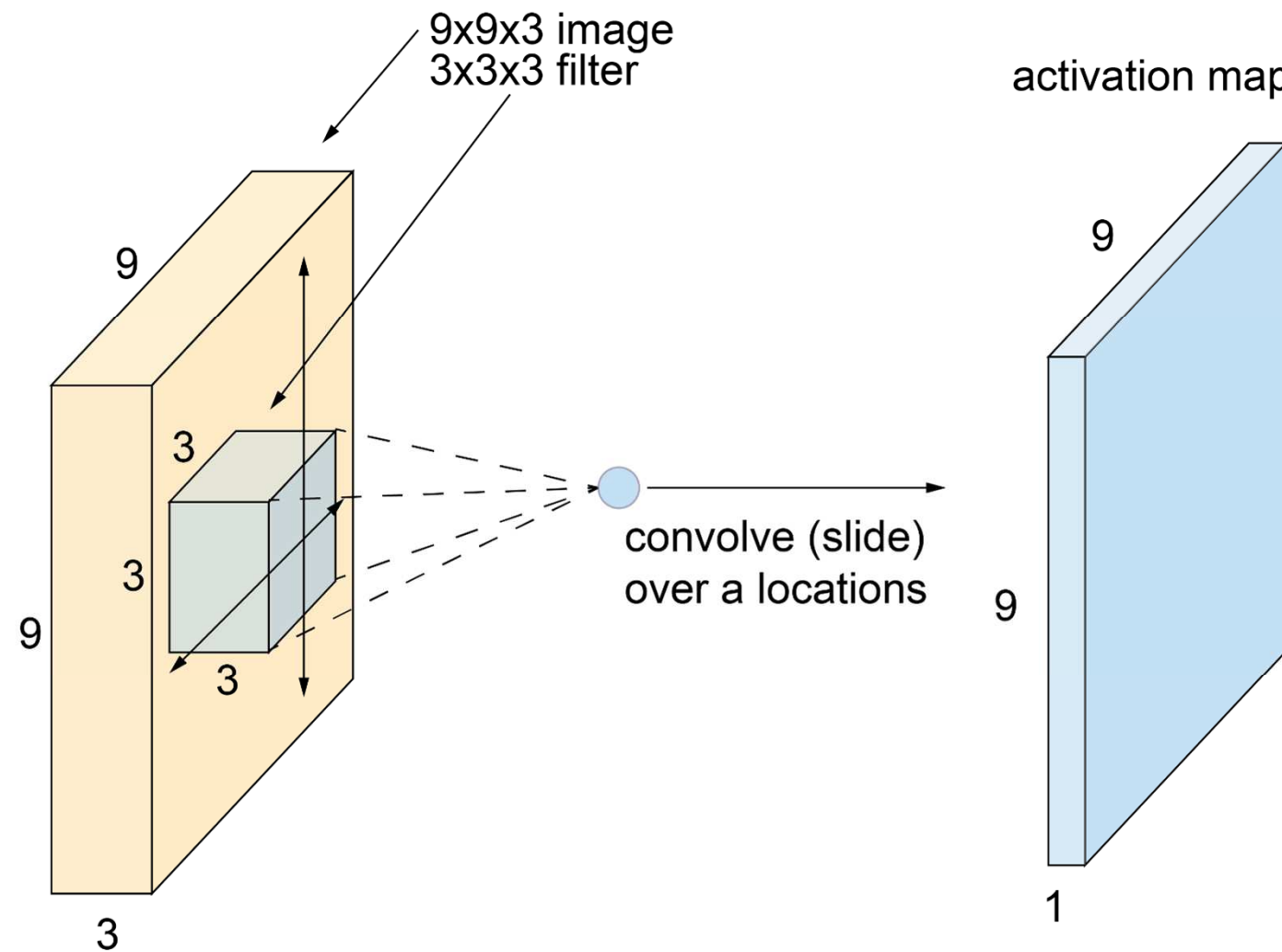
## RGB Image



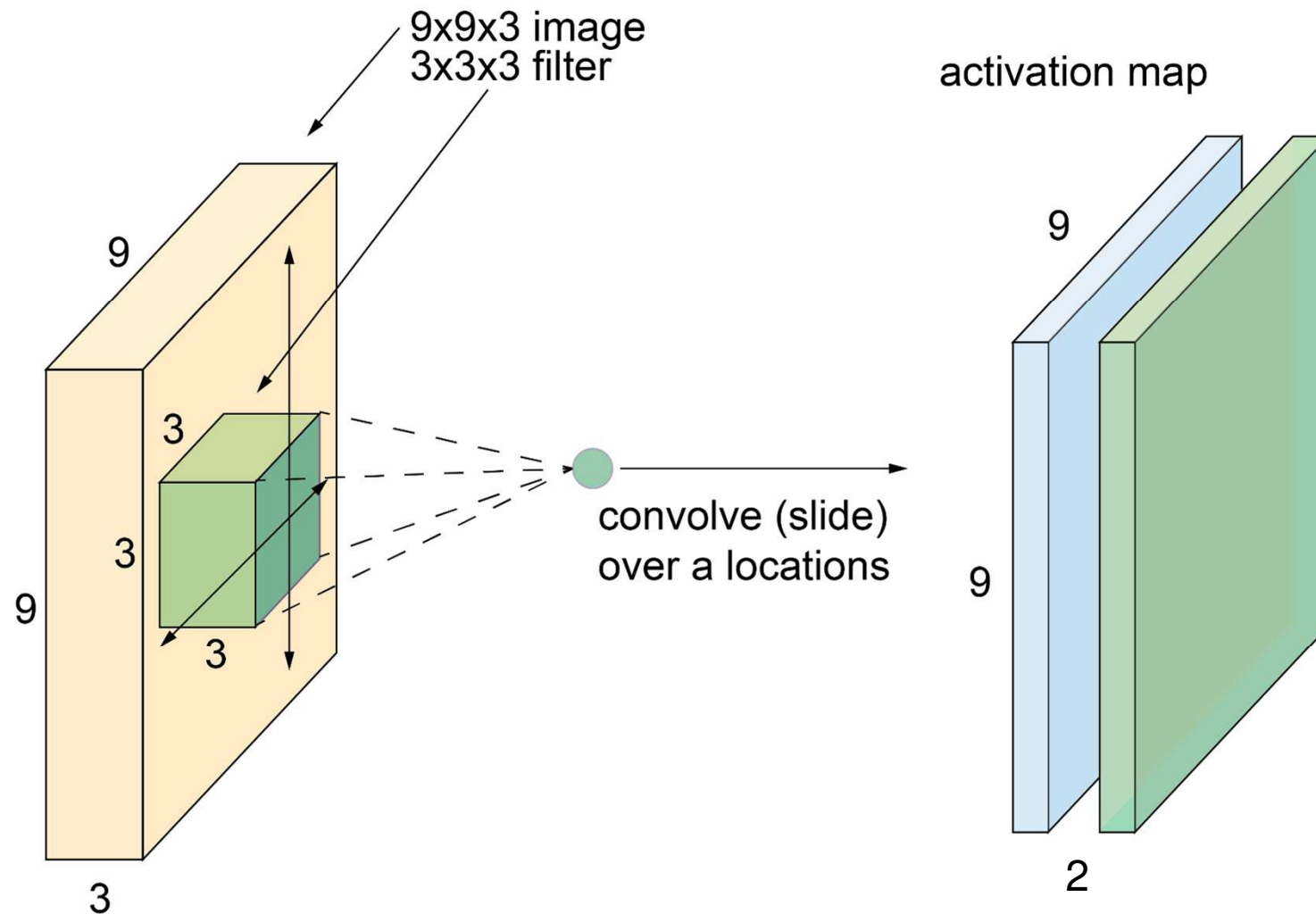
# Convolution Layer



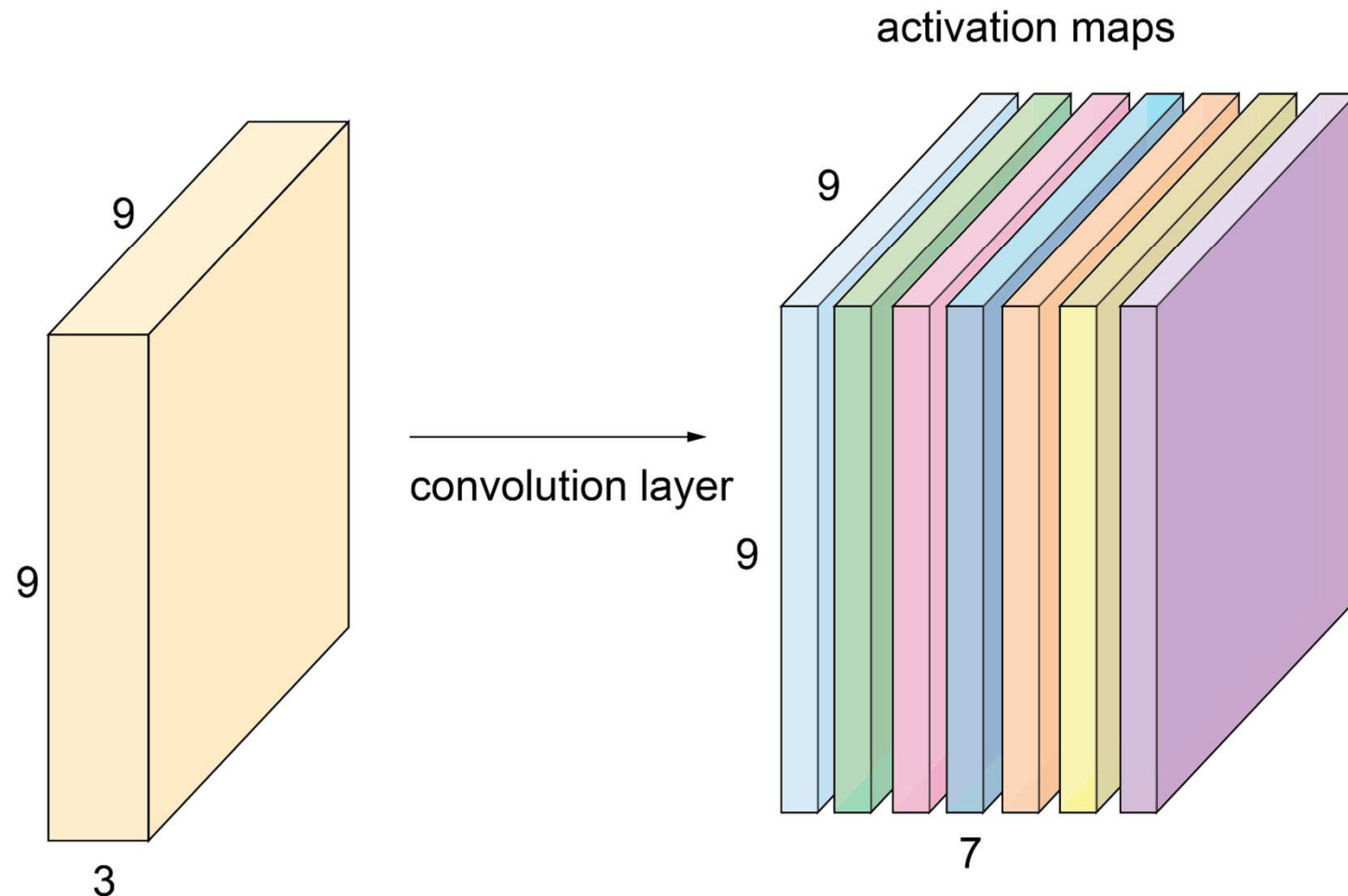
# Convolution Layer



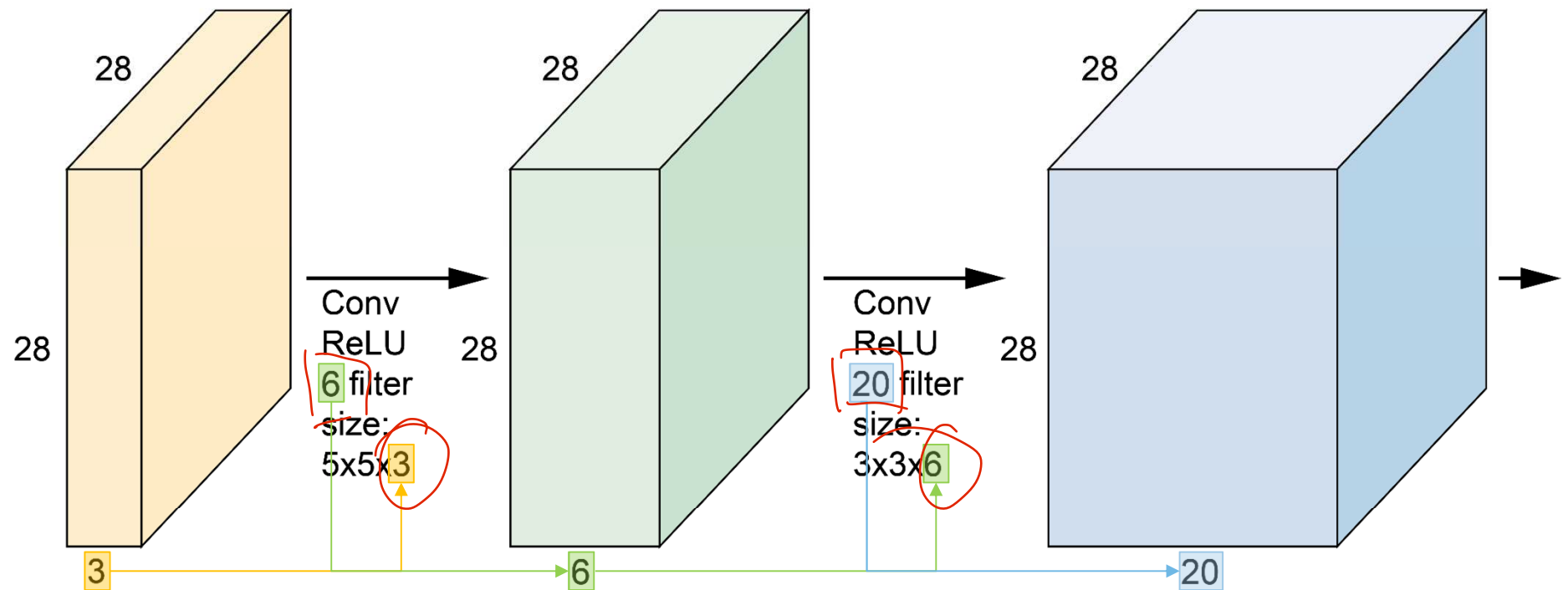
# Convolution Layer



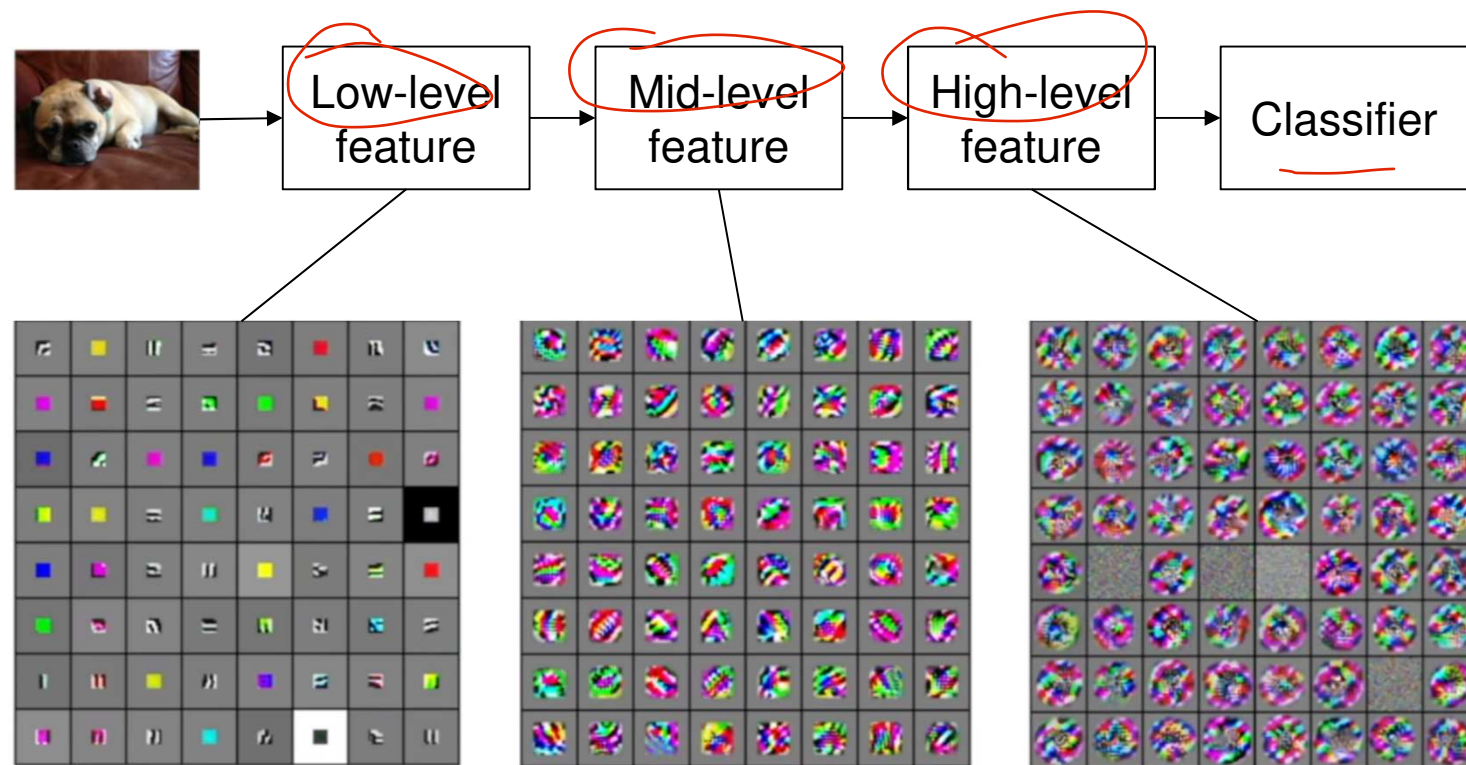
# Convolution Layer



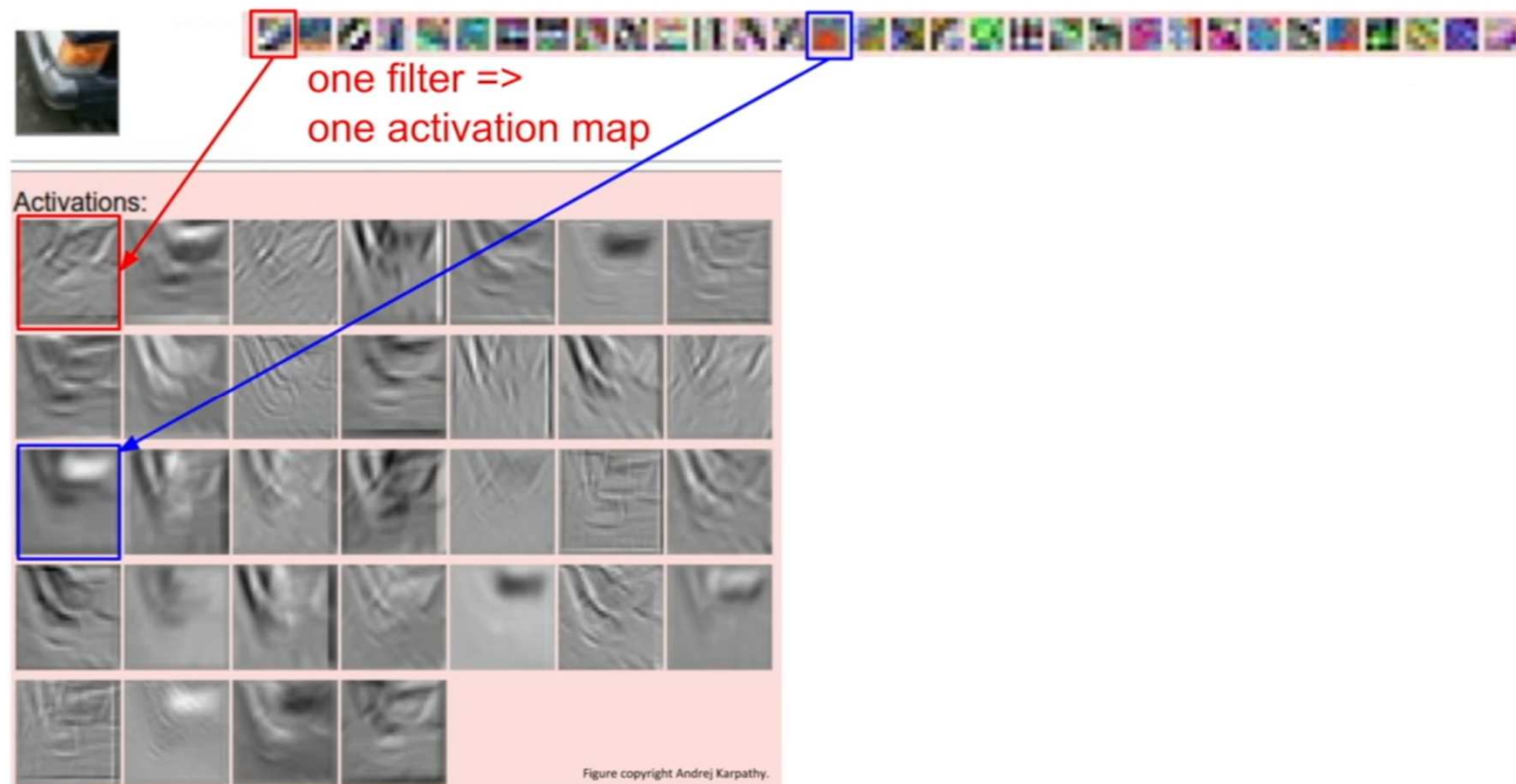
# Convolution Layer



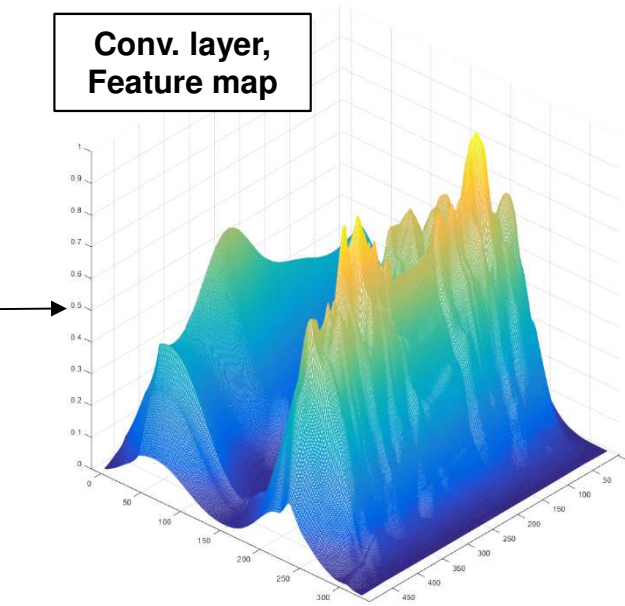
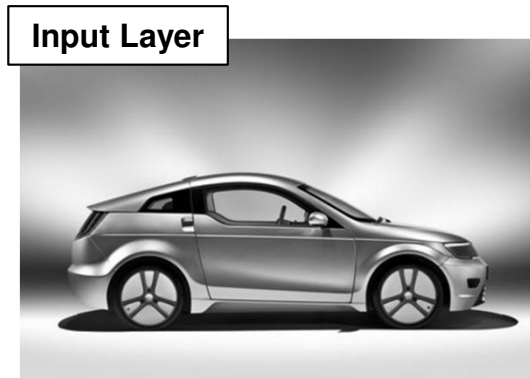
# Convolution Layer Filter Visualisation



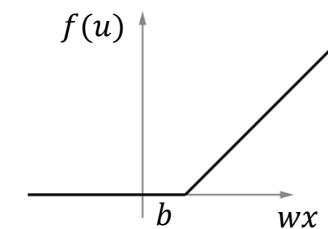
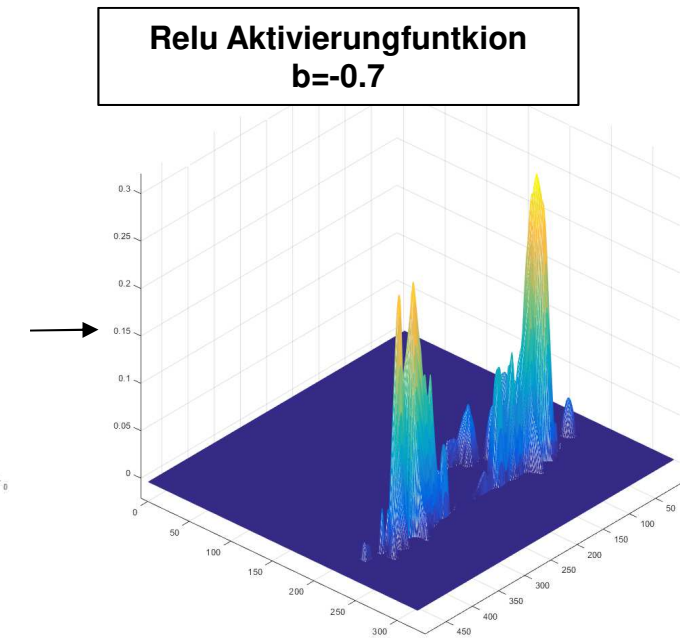
# Convolution Layer Activation Map Visualisation



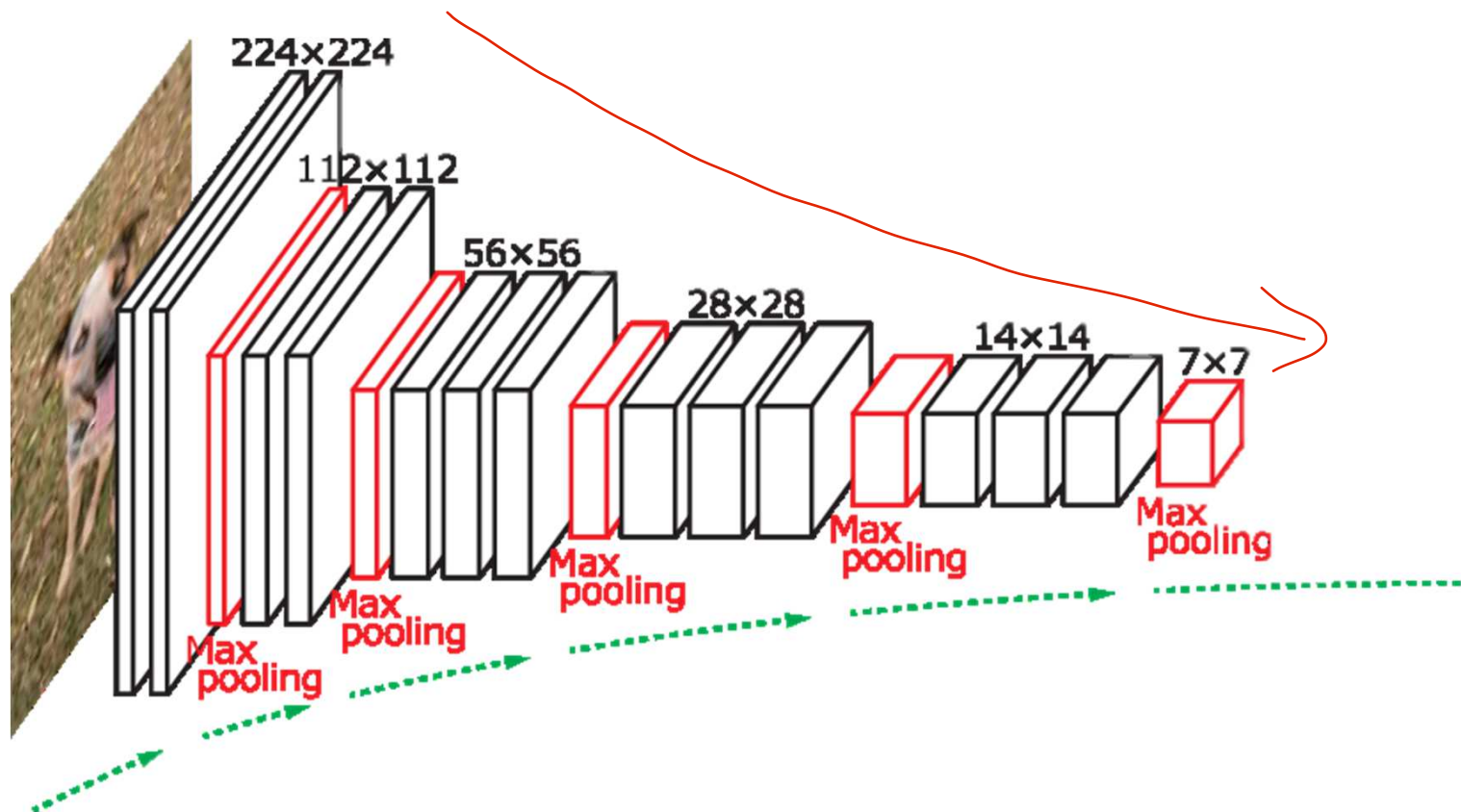
# Layerarten: Convolution / Filter



**Feature 1**

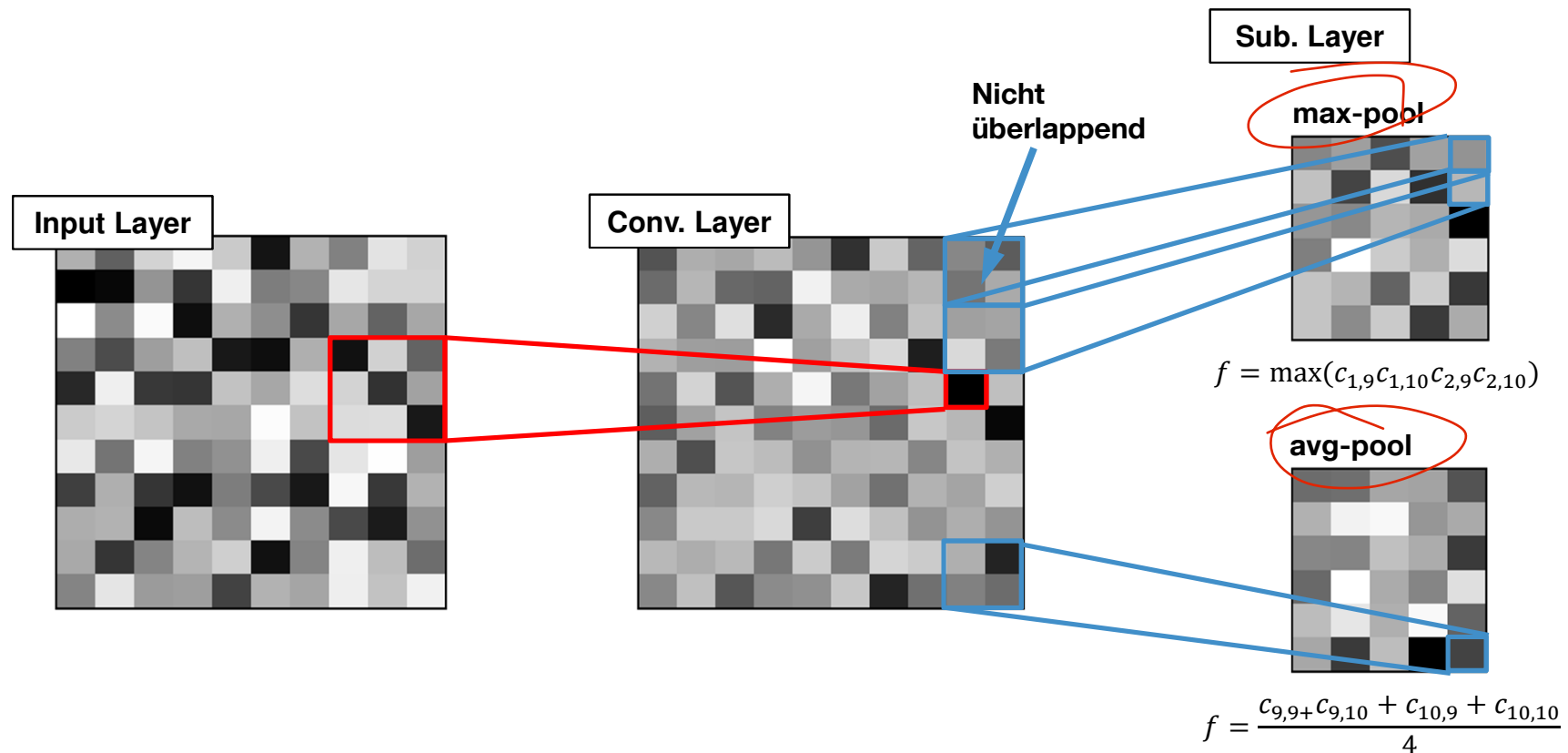


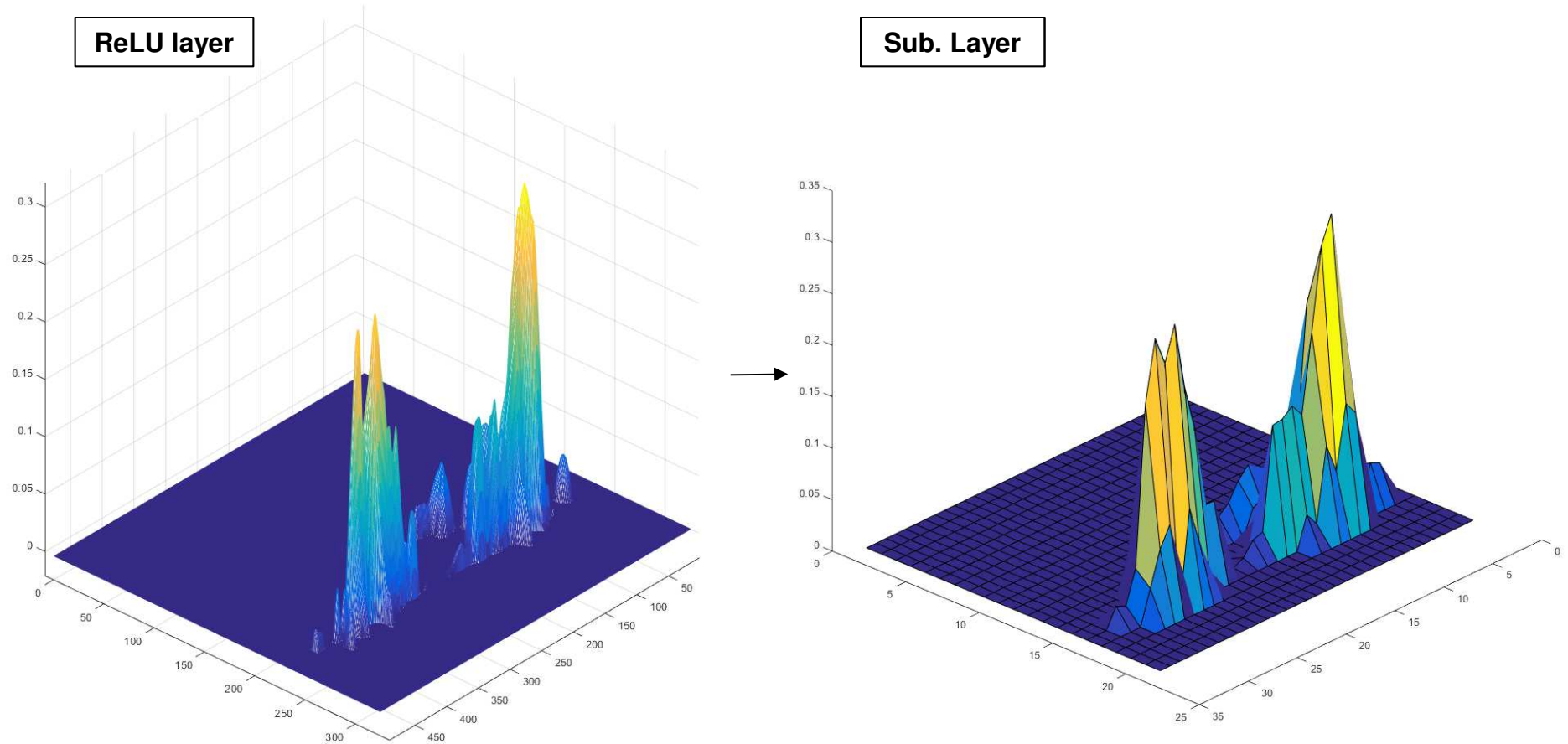
# Netzbeispiel – Visual Geometry Group Net (Oxford)



Modeldefinition: 20kb  
Trainiertes Modell: 961Mb

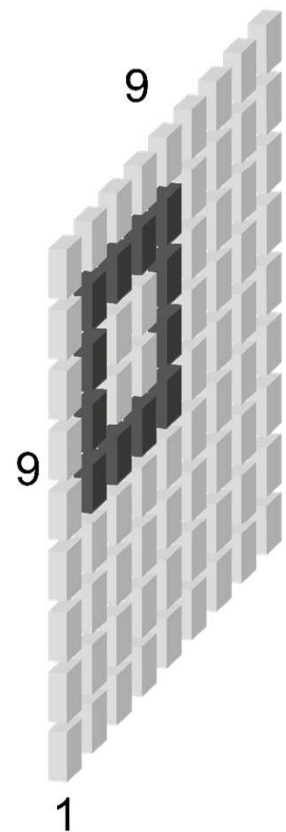
# Layerarten: Pooling / subsampling



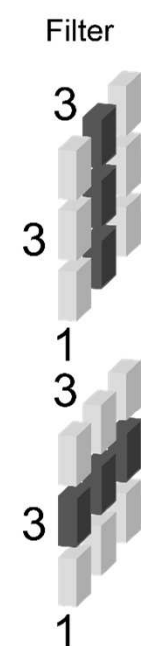


# Convolution + Pooling

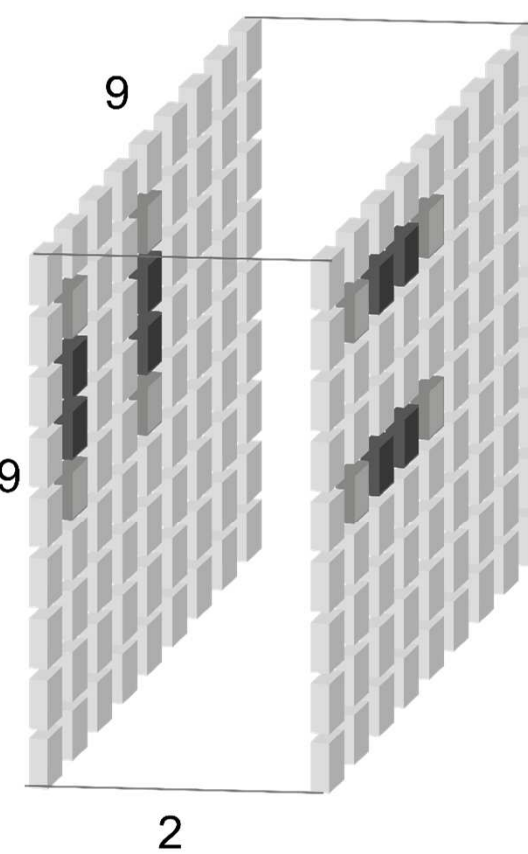
Input Image



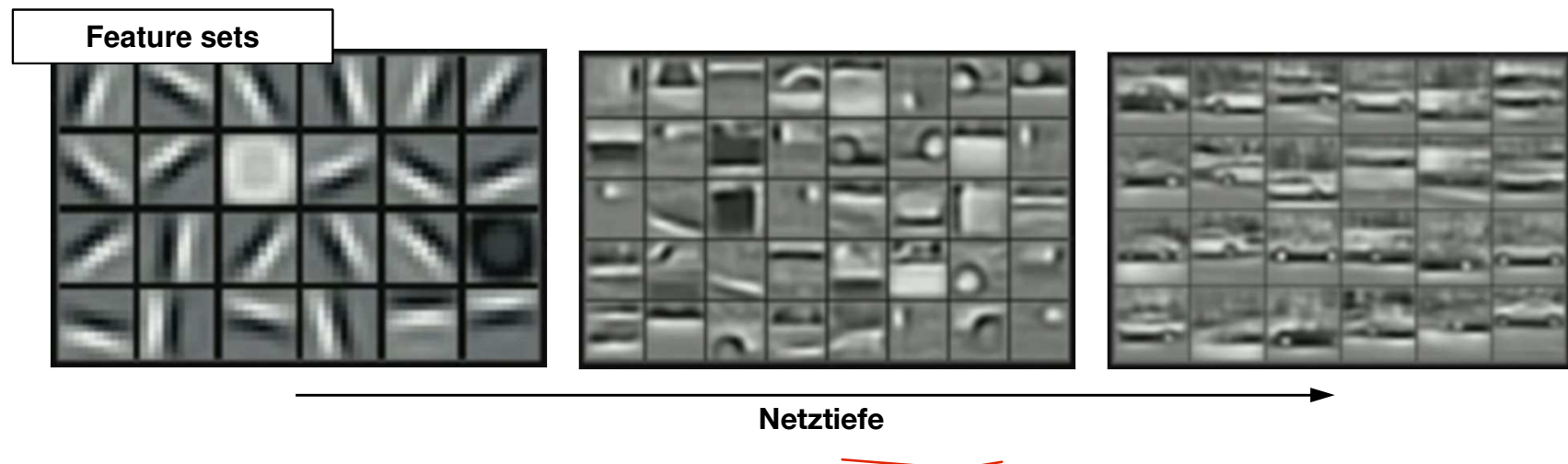
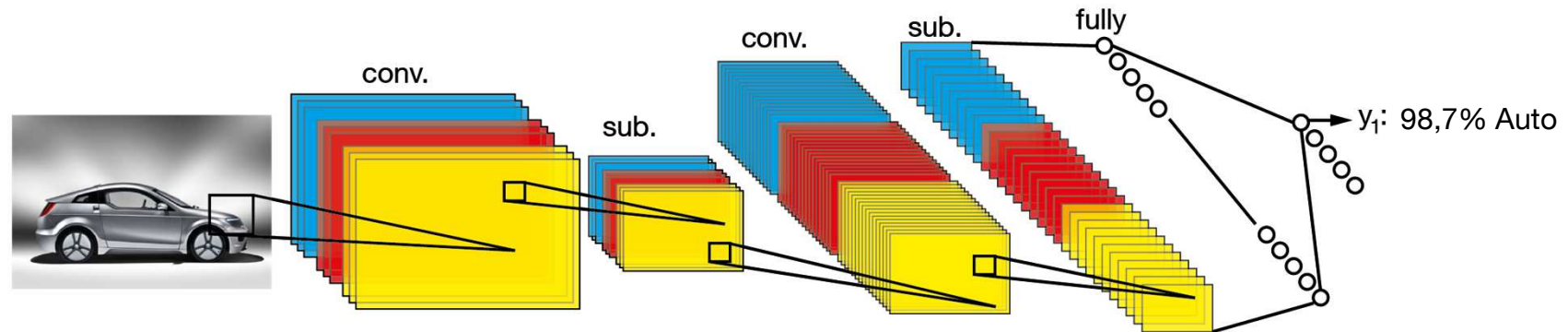
Convolution



Activation Maps



# Gesamtnetz



# Deep Learning

## Domagoj Majstorovic, M.Sc.

### Agenda

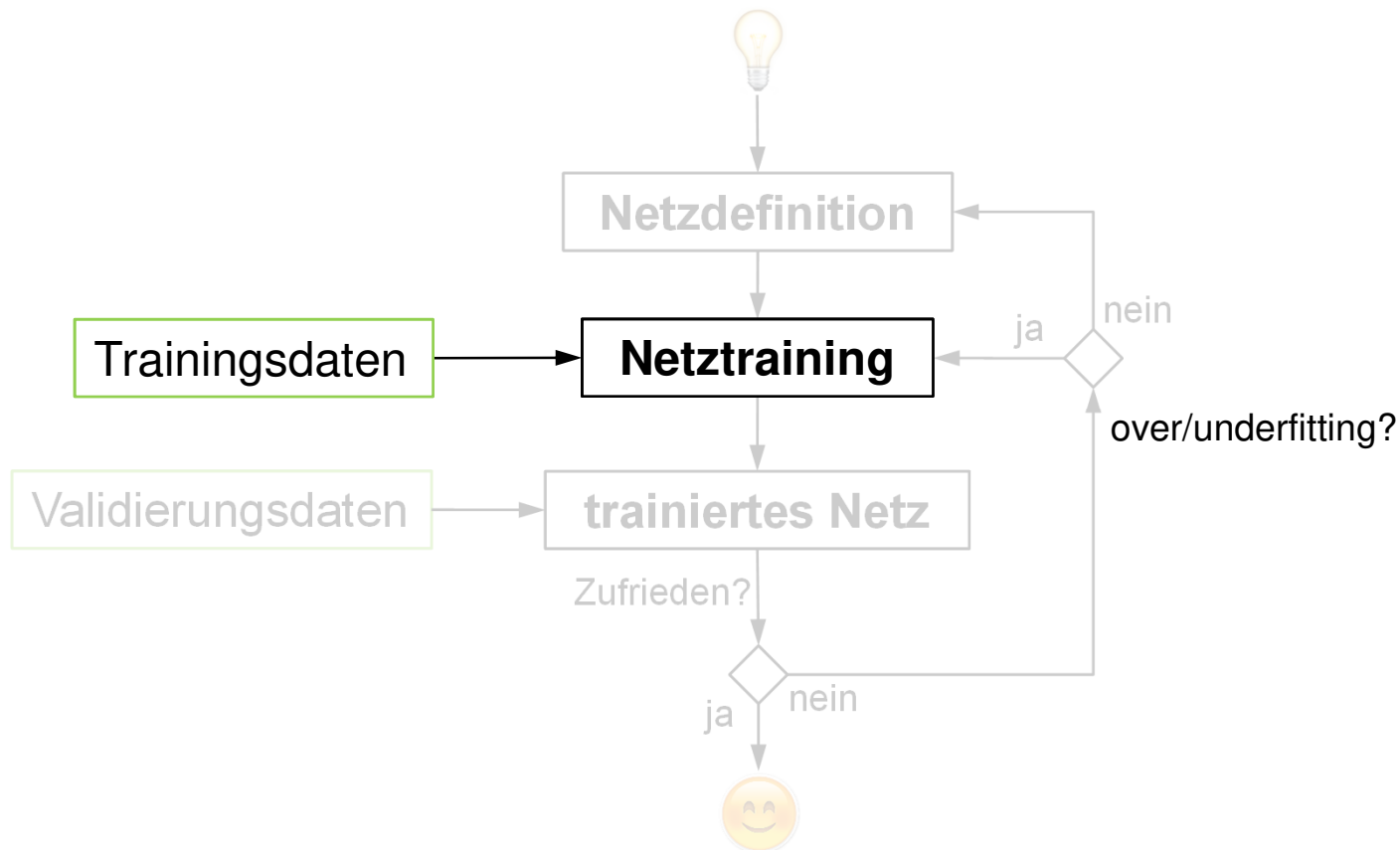
---

#### 7 Deep Learning / Neuronale Netze

- 7.1 Grundlagen und Einleitung
- 7.2 Netzdefinition
- 7.3 Netztraining
- 7.4 Ergebnisse
- 7.5 Herausforderungen



# Weg zum neuronalen Netz

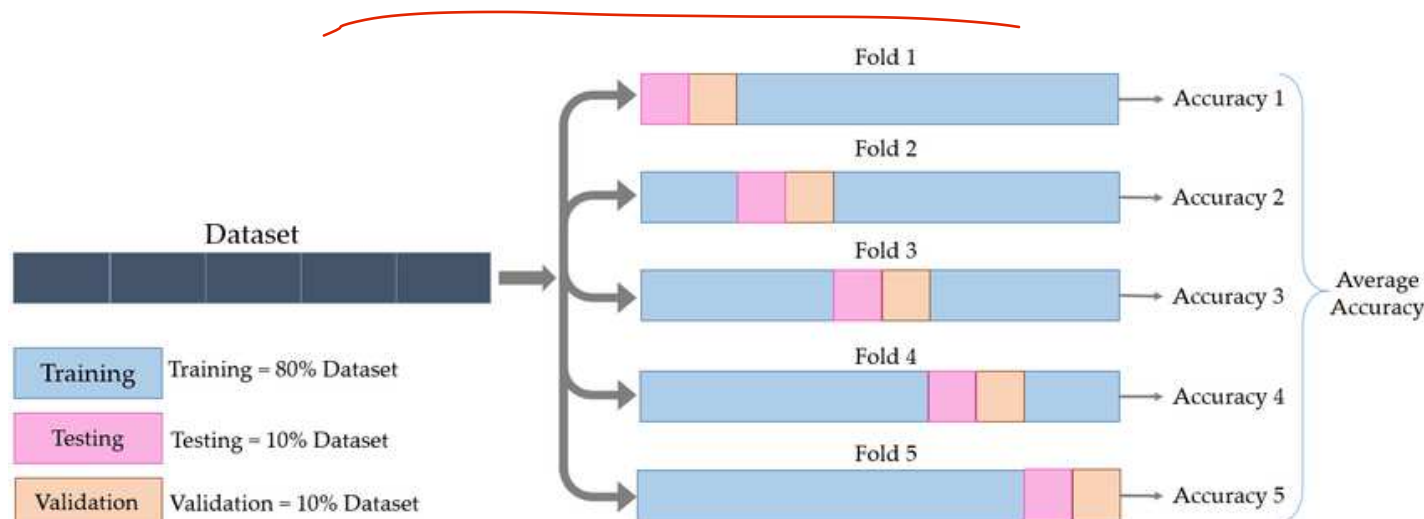


# Trainingsdaten

## 1. Datenaufnahme

## 2. Datenvorbereitung

- Daten aufteilen, labeln, augmentieren, laden, ...

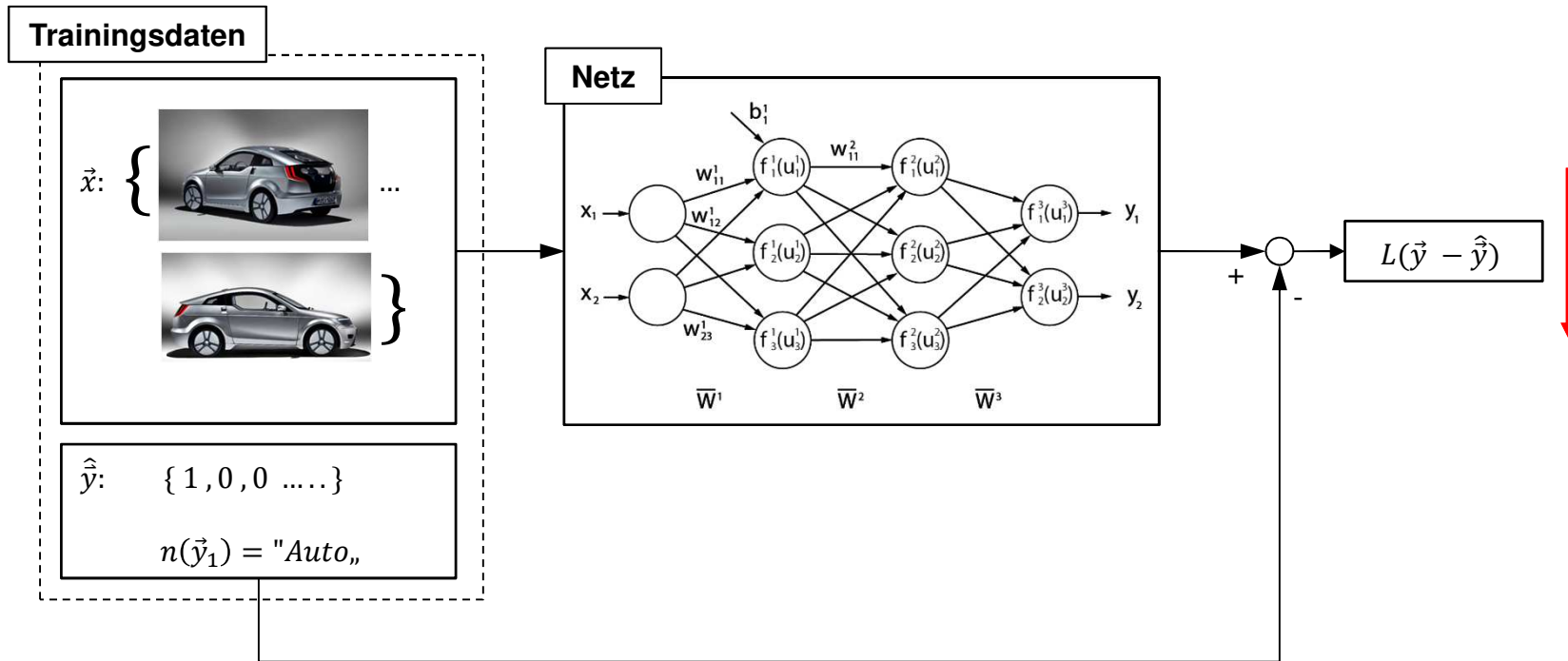


# Trainingsdaten

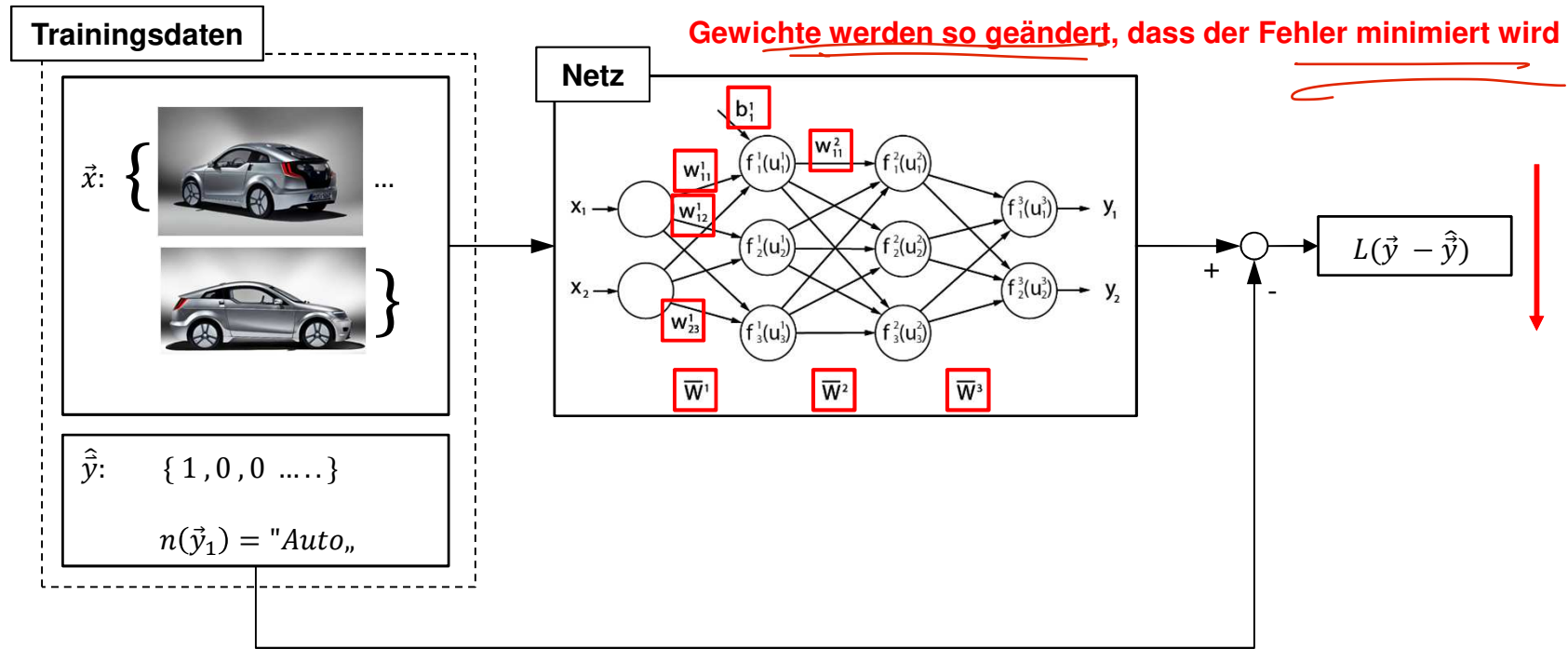


	Top-1 Accuracy	Top-5 Accuracy
Baseline	$48.13 \pm 0.42\%$	$64.50 \pm 0.65\%$
Flipping	$49.73 \pm 1.13\%$	$67.36 \pm 1.38\%$
Rotating	$50.80 \pm 0.63\%$	$69.41 \pm 0.48\%$
Cropping	<b><math>61.95 \pm 1.01\%</math></b>	<b><math>79.10 \pm 0.80\%</math></b>
Color Jittering	<b><math>49.57 \pm 0.53\%</math></b>	$67.18 \pm 0.42\%$
Edge Enhancement	$49.29 \pm 1.16\%$	$66.49 \pm 0.84\%$
Fancy PCA	$49.41 \pm 0.84\%$	<b><math>67.54 \pm 1.01\%</math></b>

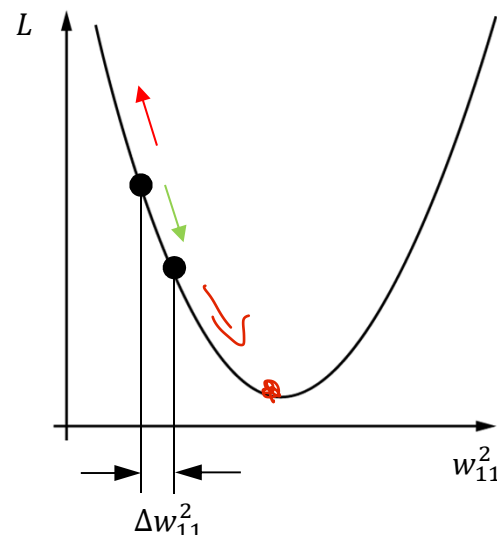
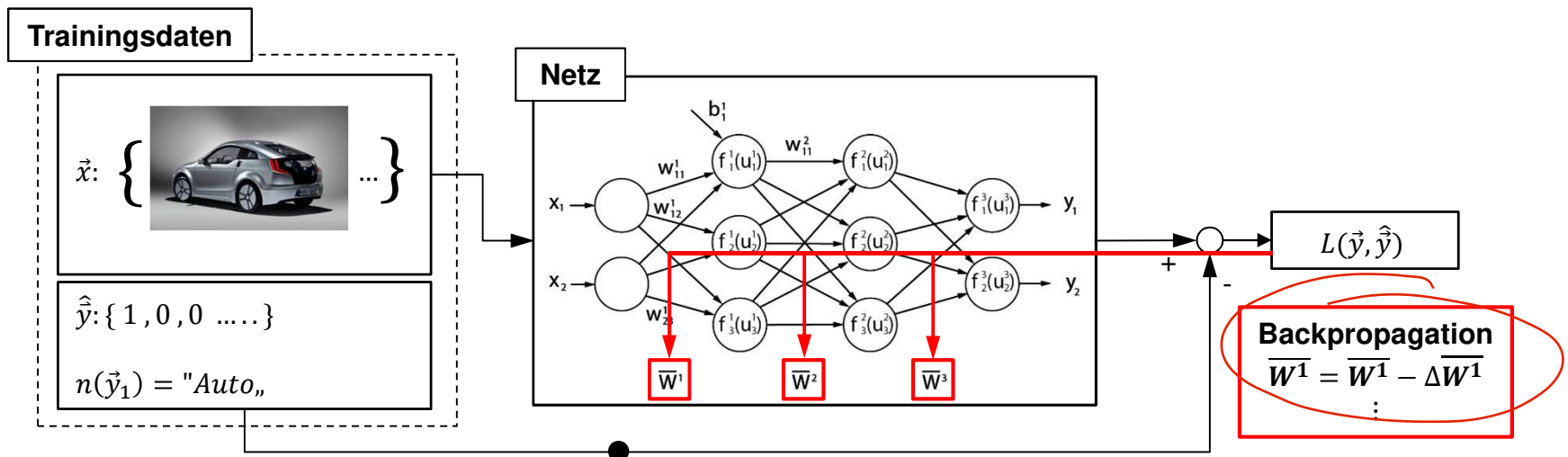
# Netztraining



# Netztraining

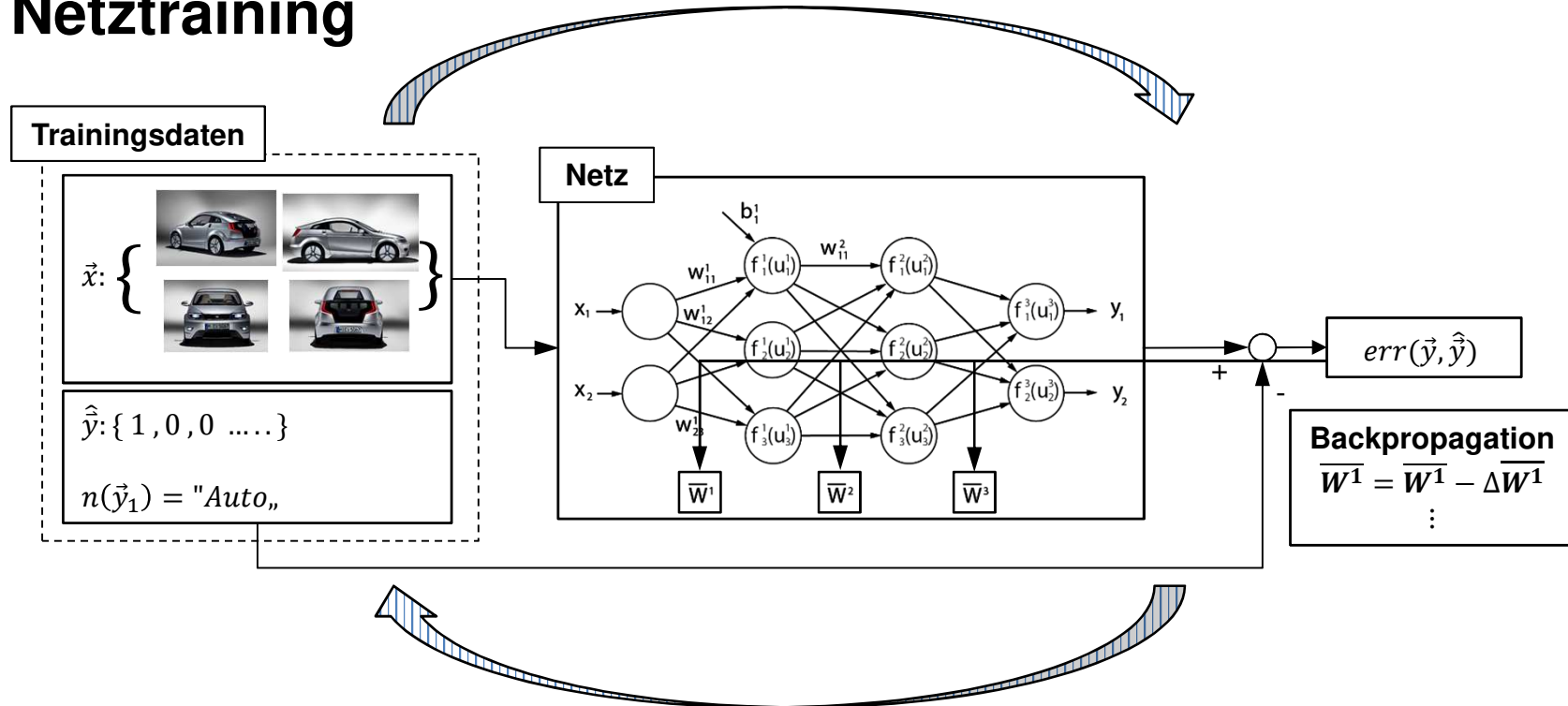


# Netztraining

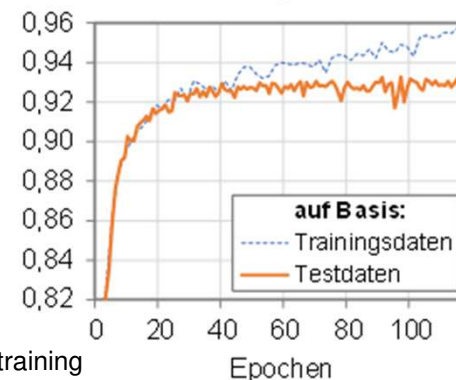


*n: Epochen*

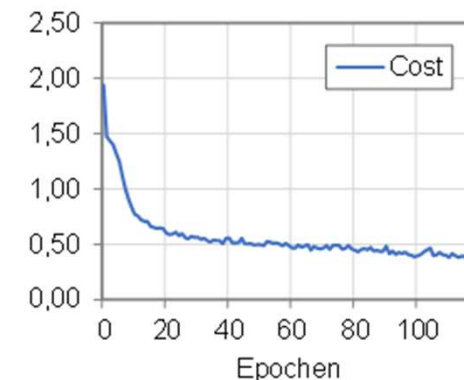
## Netztraining



Genauigkeit

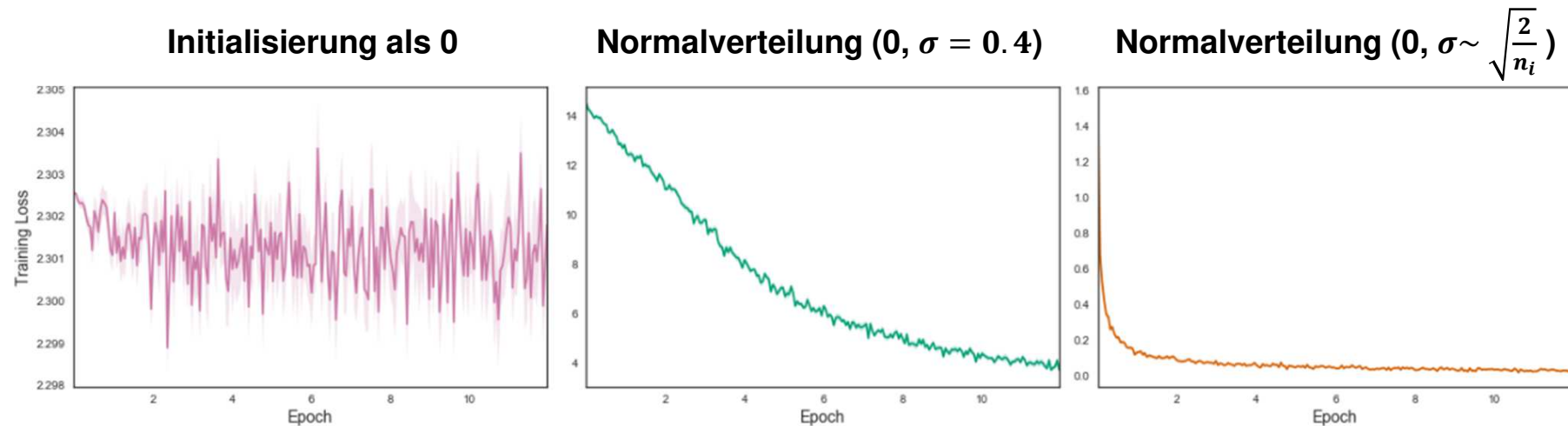


Kostenfunktion



# Initialisierung der Gewichte

$$W_{11} = \begin{pmatrix} w_{11} & w_{12} & w_{13} \\ w_{21} & w_{22} & w_{23} \\ w_{31} & w_{32} & w_{33} \end{pmatrix}$$



$n_i$ : Anzahl Input Neuronen der Schicht

z.B.:

$$W_{11} = \begin{pmatrix} 0 & 0 & 0 \\ 0 & 0 & 0 \\ 0 & 0 & 0 \end{pmatrix}$$

$$W_{11} = \begin{pmatrix} 0.01 & -0.50 & 0.14 \\ -0.10 & 0.11 & -0.06 \\ -0.33 & 0.47 & 0.32 \end{pmatrix}$$

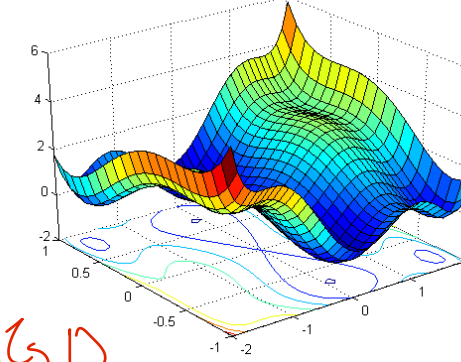
$$W_{11} = \begin{pmatrix} 1.20 & -1.50 & 1.4 \\ -1.2 & 0.97 & -0.6 \\ 0.63 & -0.47 & 0.52 \end{pmatrix}$$

$$n_i = 2 \rightarrow \sigma = 1$$

# Optimierungs-Verfahren

BGD

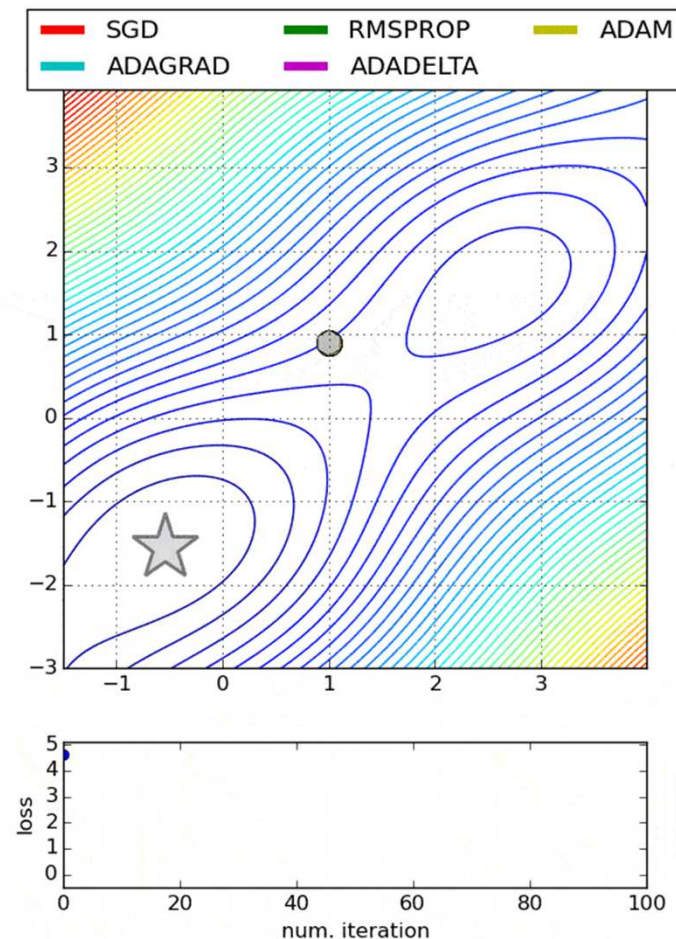
SGD



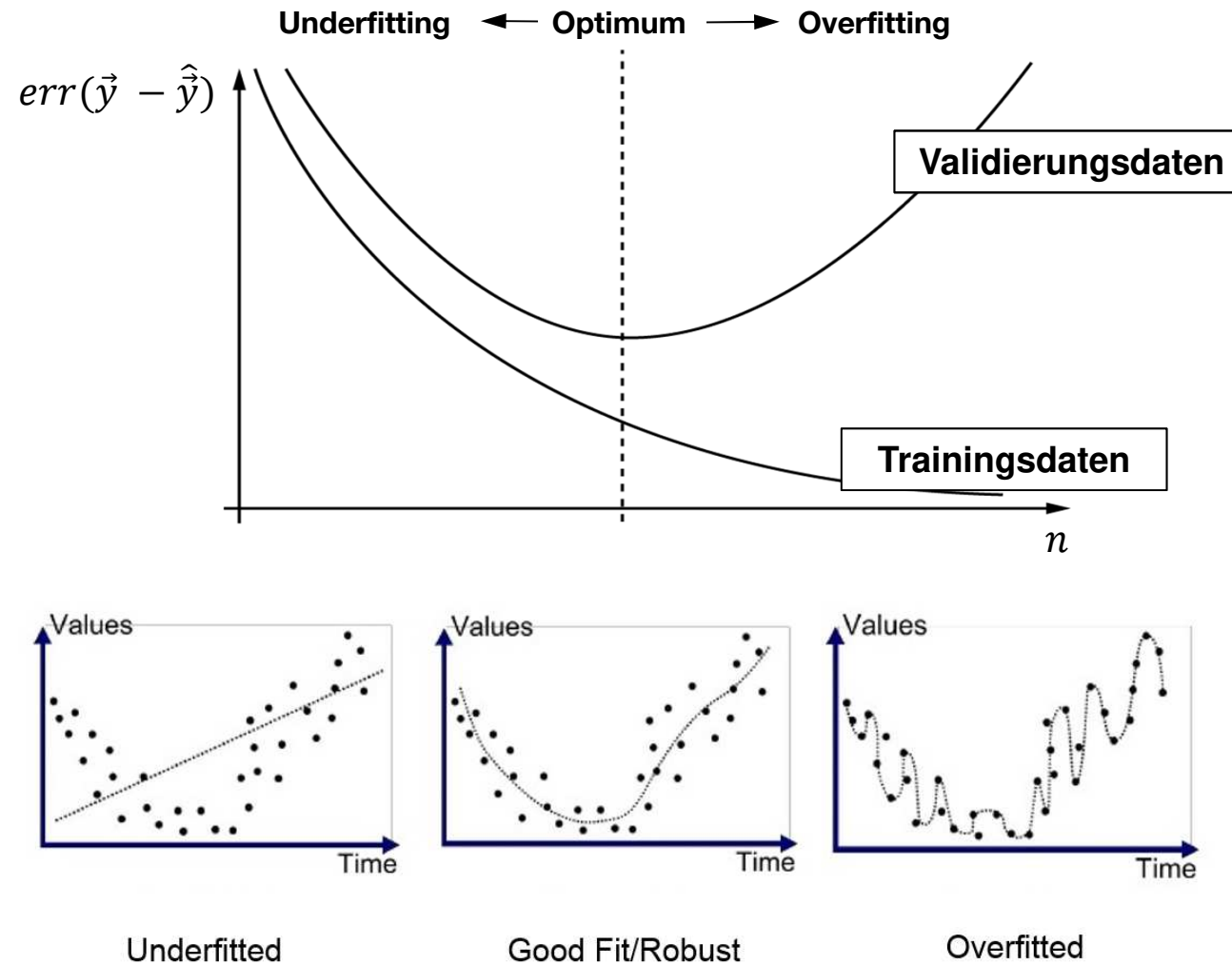
	Batch-Gradientenabstieg	Stochastischer Gradientenabstieg	Mini-Batch-Gradientenabstieg
Beschreibung	Alle Trainingsdaten werden für einen Optimierungsschritt verwendet.	Nur ein Datenpunkt wird für einen Optimierungsschritt verwendet.	Ein kleiner Teil der Trainingsdaten wird für einen Optimierungsschritt verwendet.
Vorteile	<ul style="list-style-type: none"> <li>Effiziente Rechenaufwand</li> <li>Stabile Konvergenz</li> </ul>	<ul style="list-style-type: none"> <li>Schnelleres Lernen</li> <li><u>Unmittelbare</u> Einblicke in die Leistung</li> </ul>	<ul style="list-style-type: none"> <li>Effiziente Berechnung</li> <li>Stabile Konvergenz</li> <li>Schnelleres Lernen</li> </ul>
Nachteile	<ul style="list-style-type: none"> <li><u>Langsameres</u> Lernen</li> <li><u>Lokale Minima und Sattelpunkte</u></li> </ul>	<ul style="list-style-type: none"> <li>Hohe Rechenleistung erforderlich</li> <li>Verrauschte Gradienten</li> </ul>	<ul style="list-style-type: none"> <li><u>Neue Hyperparameter</u></li> </ul>

# Optimierungs-Algorithmen

- Stochastic Gradient Decent
- Root Mean Squared Propagation
- Adaptive moment estimation (Adam)
- Adaptive Gradient Decent
- Adadelta
- ...

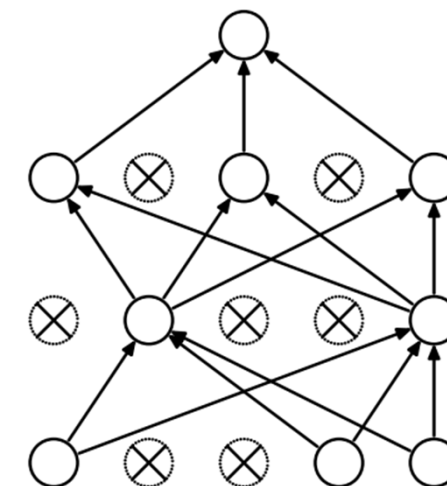
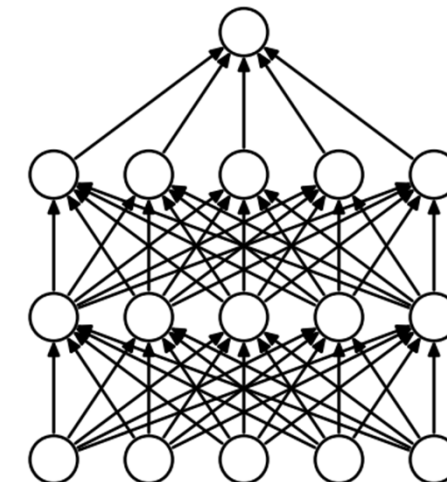
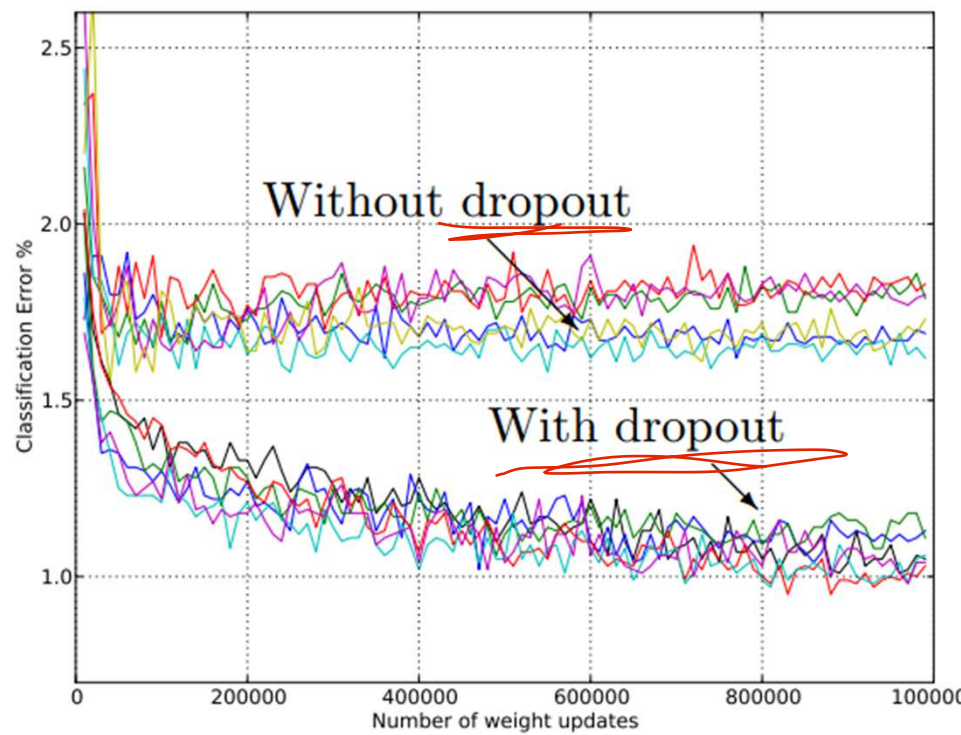


# Netztraining

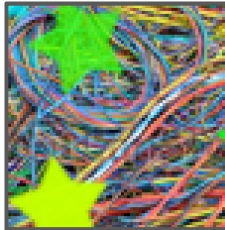
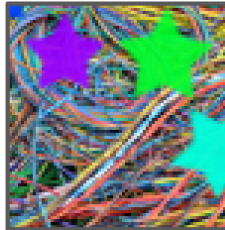
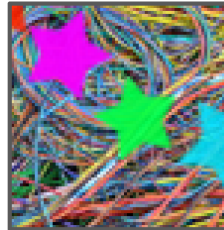
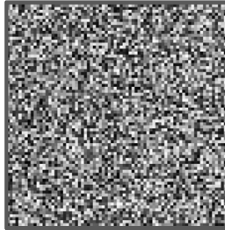
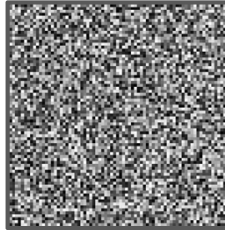
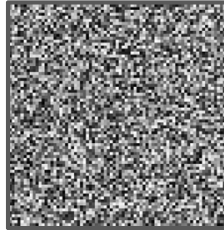
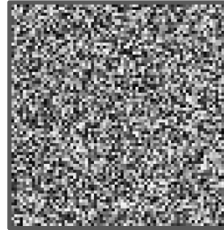
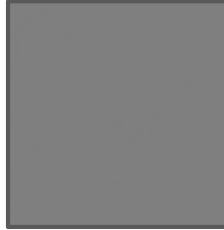


# Netztraining

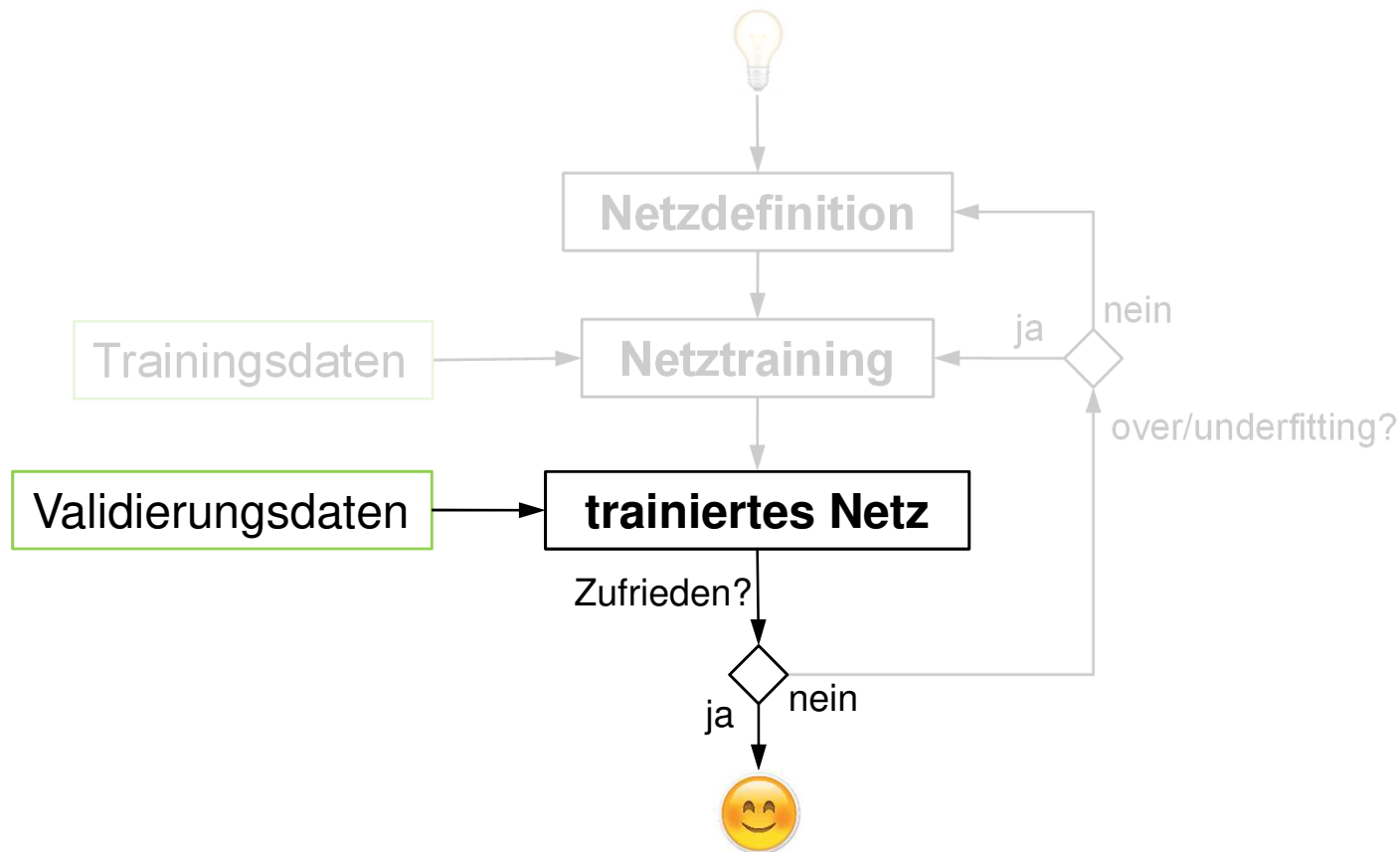
Overfitting? → Dropout, Regularization, ...



# Fully vs. Convolution

Input					
<b>Fully Connected Netz (4-Layer)</b>					
	<b>93,3 %</b>				
<b>Convolutional Netz (4-Layer)</b>					
	<b>99,2 %</b>				

# Weg zum neuronalen Netz



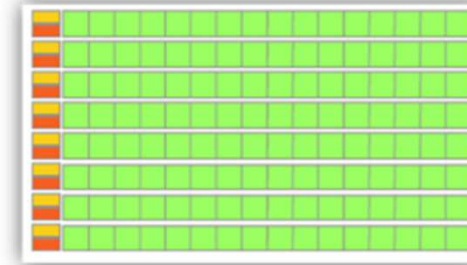
# Hardware

**Central Processing Unit  
(CPU)**



- Geringe Berechnungsdichte
- Komplexe Logik Steuerung
- Großer Cache
- Geringe Latenztoleranzen

**Graphics Processing Unit  
(GPU)**

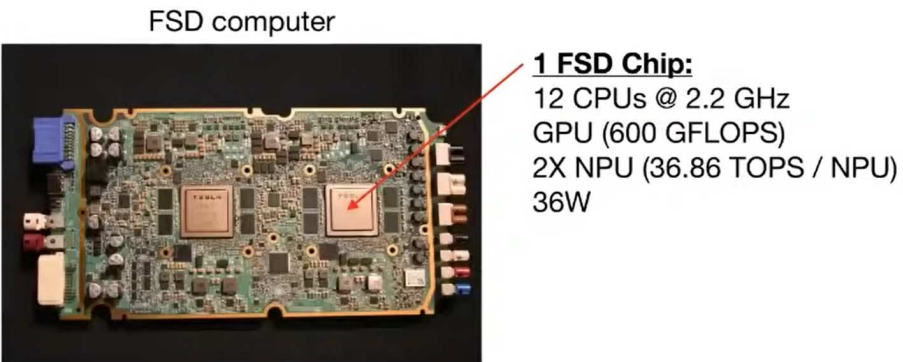


- Hohe Berechnungsdichte
- Viele Berechnungen pro Speicheraufruf
- Optimiert für Parallel Rechnungen
- Hohe Latenztoleranz

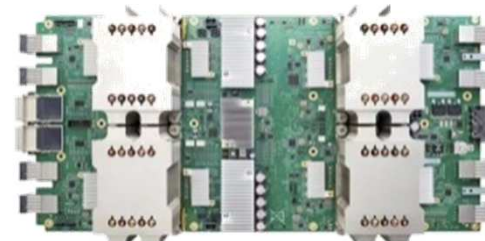
UML

# Hardware

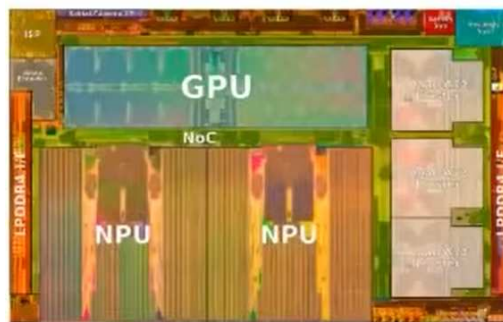
Tesla FSD Computer



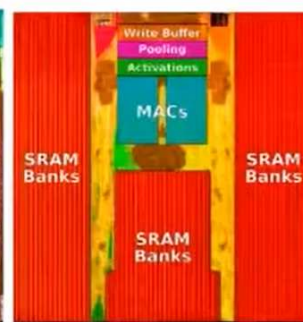
Tensor Processing Unit (TPU) (Google)



FSD chip

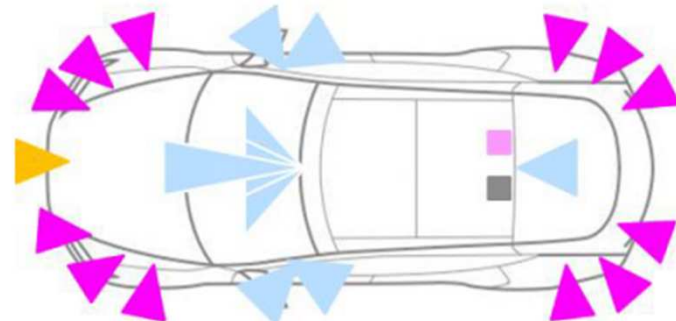


NPU

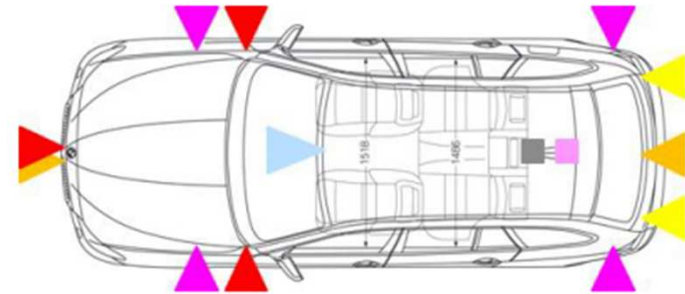


# Sensorkonzepte

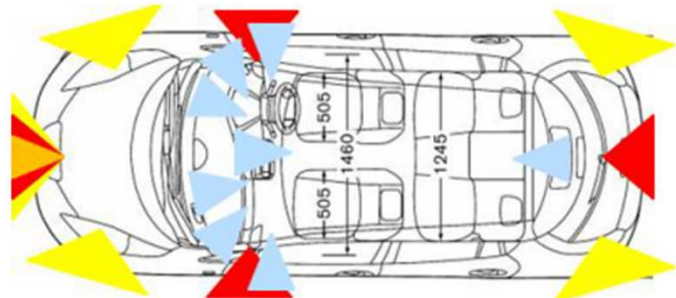
**Tesla**  
Model S  
Production  
Vehicle  
[19]



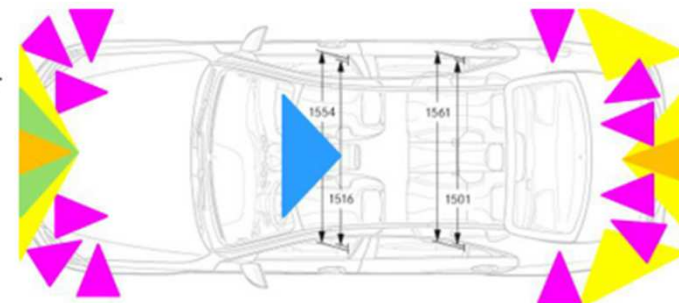
**BMW**  
536i  
Concept  
Vehicle  
[20]



**Nissan**  
Leaf Pro-Pilot  
Concept  
Vehicle  
[21]



**Mercedes**  
S Class  
Production Car  
[22]

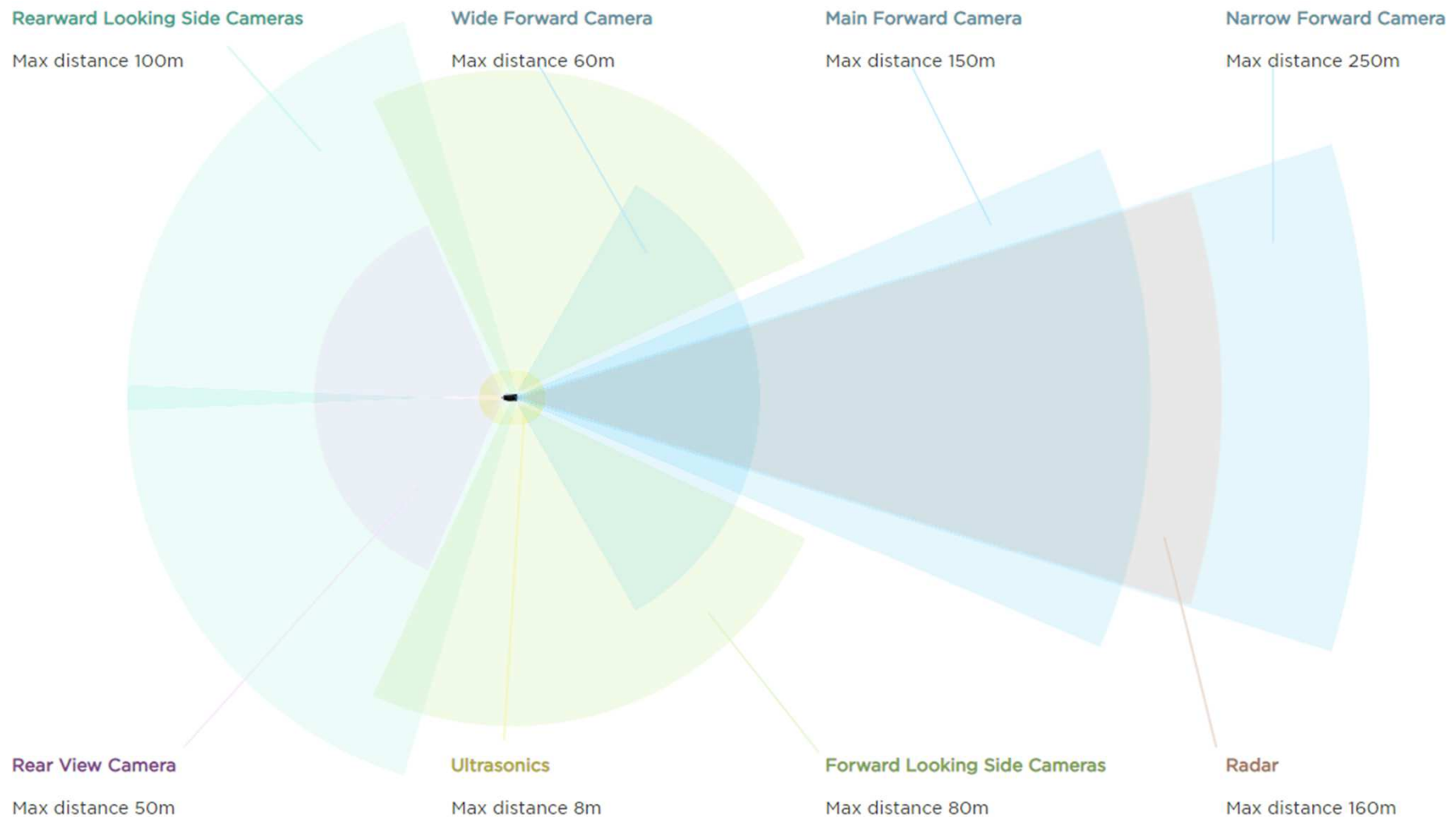


Radar - Short Range	Radar - Long Range	GPS	Lidar / Laser
Camera - Mono	Camera – Stereo	V2X – Sensor	
Ultrasonic	Infrared	Maps	

# Kameras in Autonomen Fahrzeugen

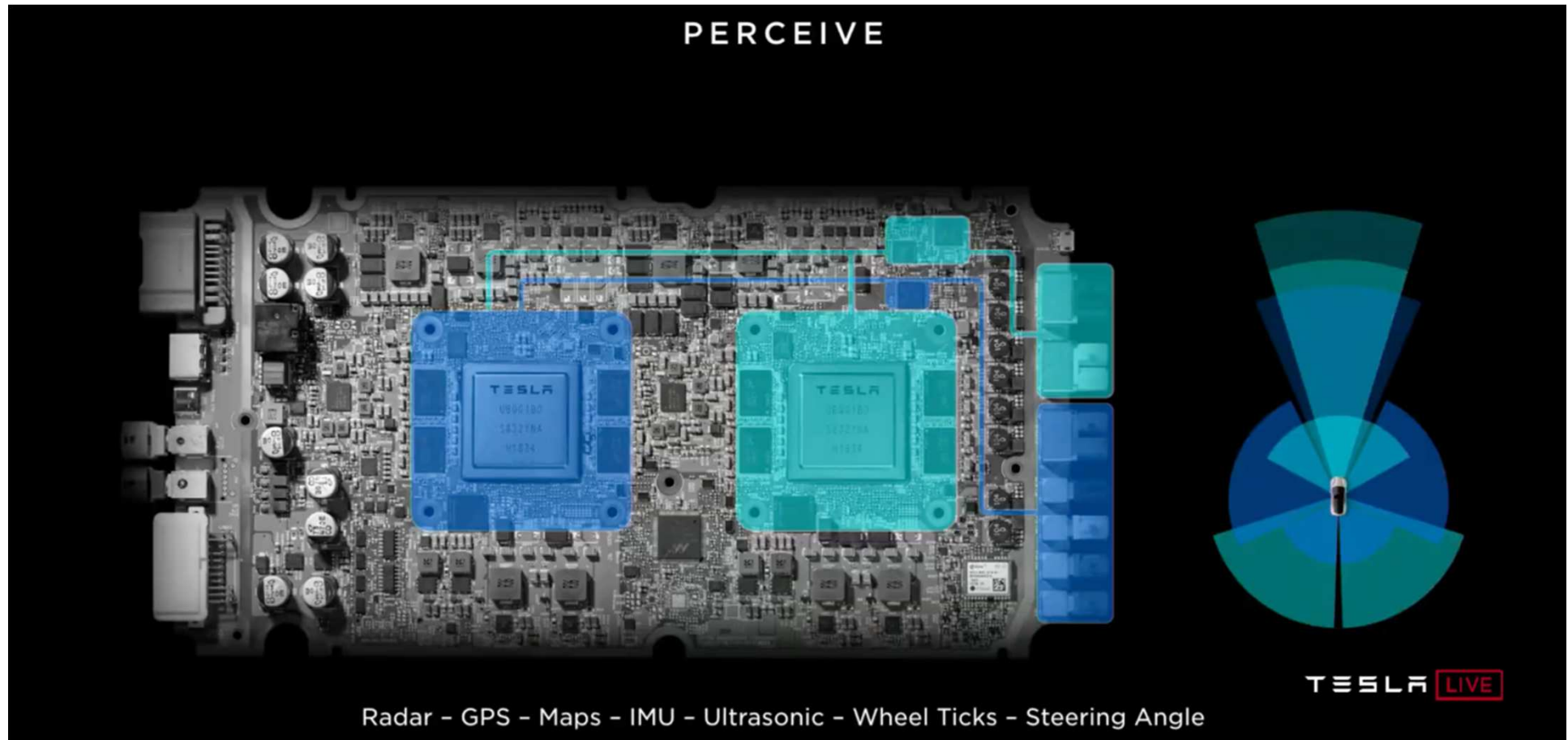


# Tesla Model 3 - Sensoren



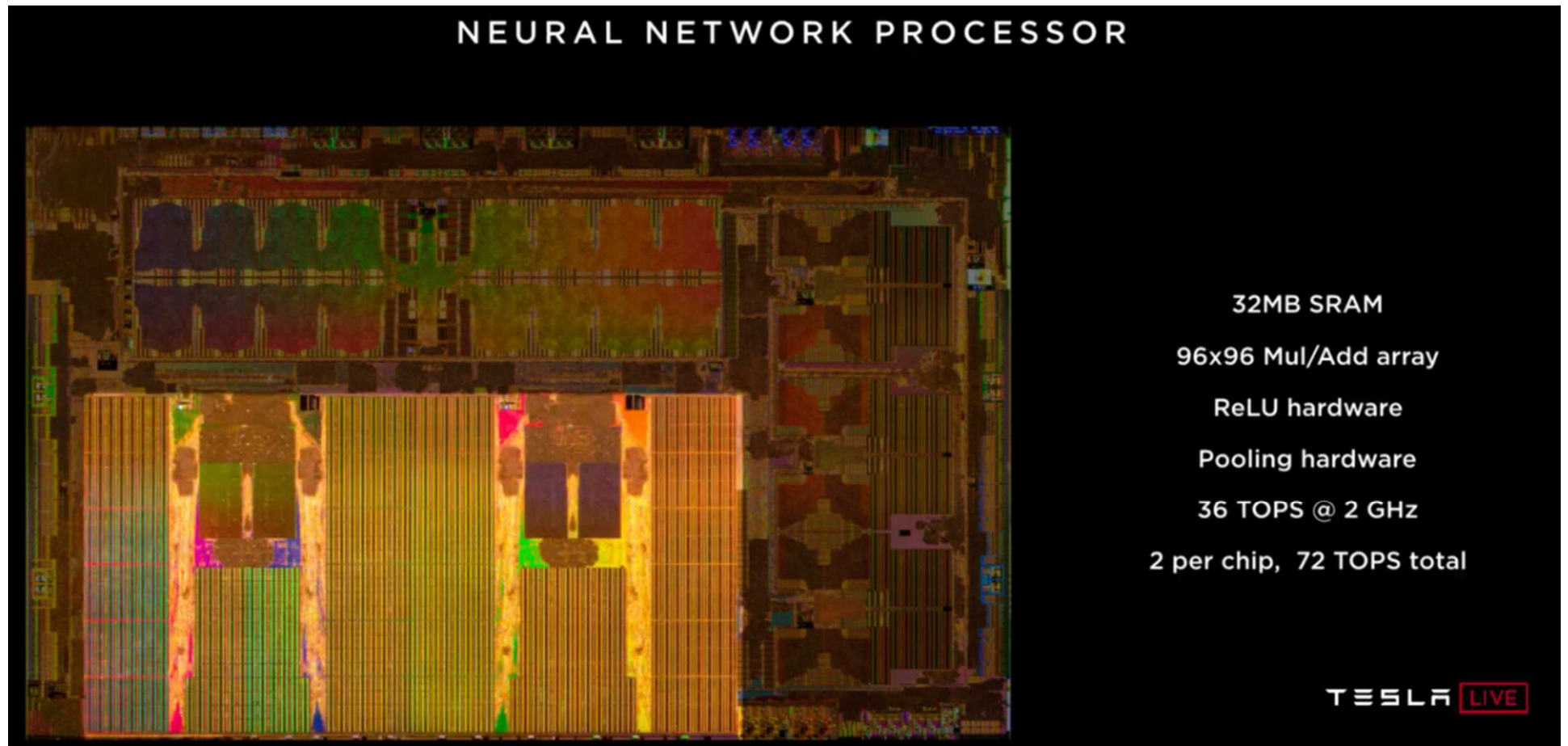
# Tesla Autonomy Day

## 22.04.2019



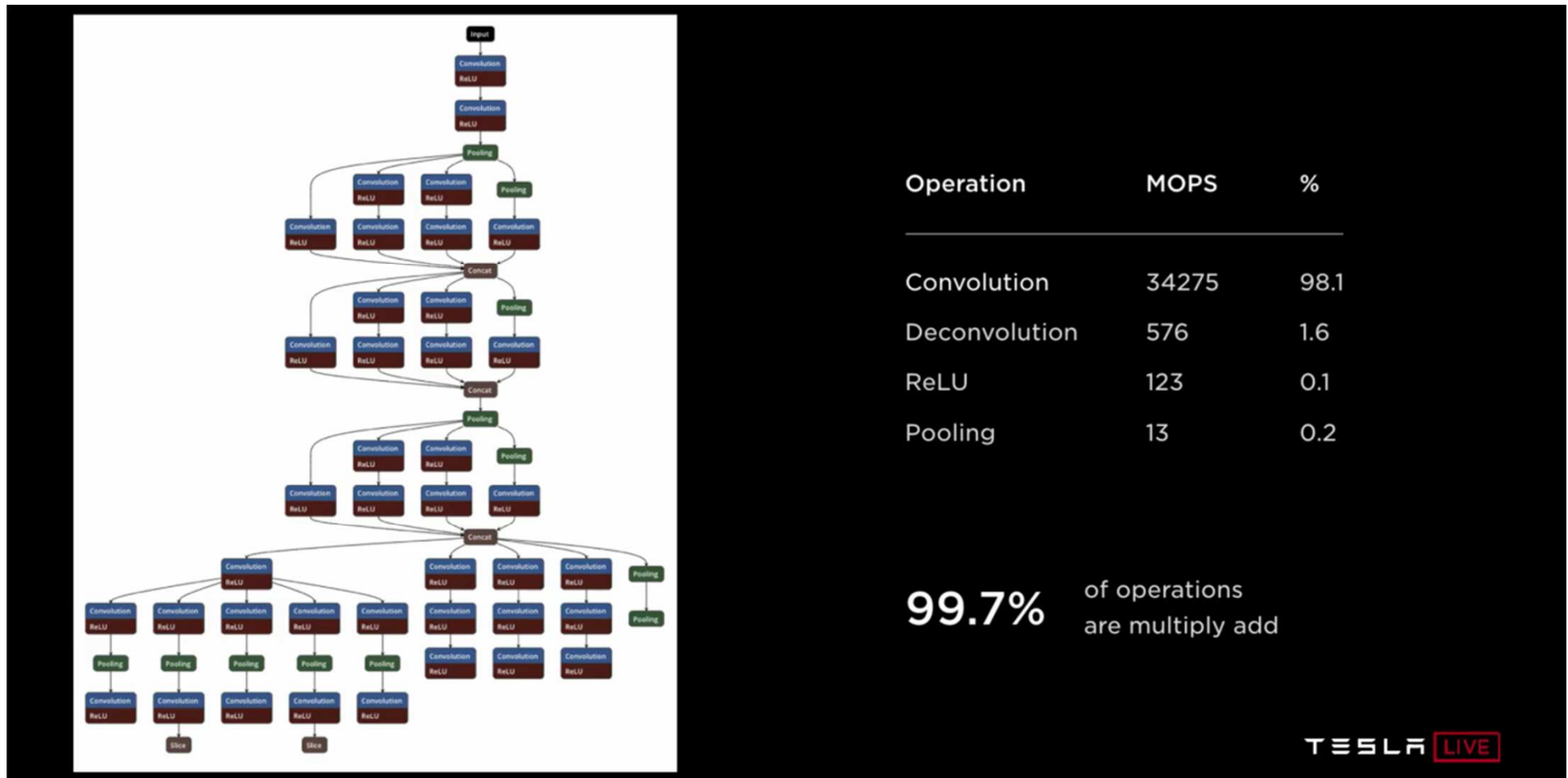
# Tesla Autonomy Day

## NN Chip



# Tesla Autonomy Day

## NN Architektur



# Deep Learning

## Domagoj Majstorovic, M.Sc.

### Agenda

---

#### 7 Deep Learning / Neuronale Netze

- 7.1 Grundlagen und Einleitung
- 7.2 Netzdefinition
- 7.3 Netztraining
- 7.4 Ergebnisse
- 7.5 Herausforderungen



# Nvidia

- OpenRoadNet
- PathNet
- LaneNet
- MapNet
- DriveNet
- LightNet
- SignNet
- WaitNet
- ClearSightNet
- ParkNet



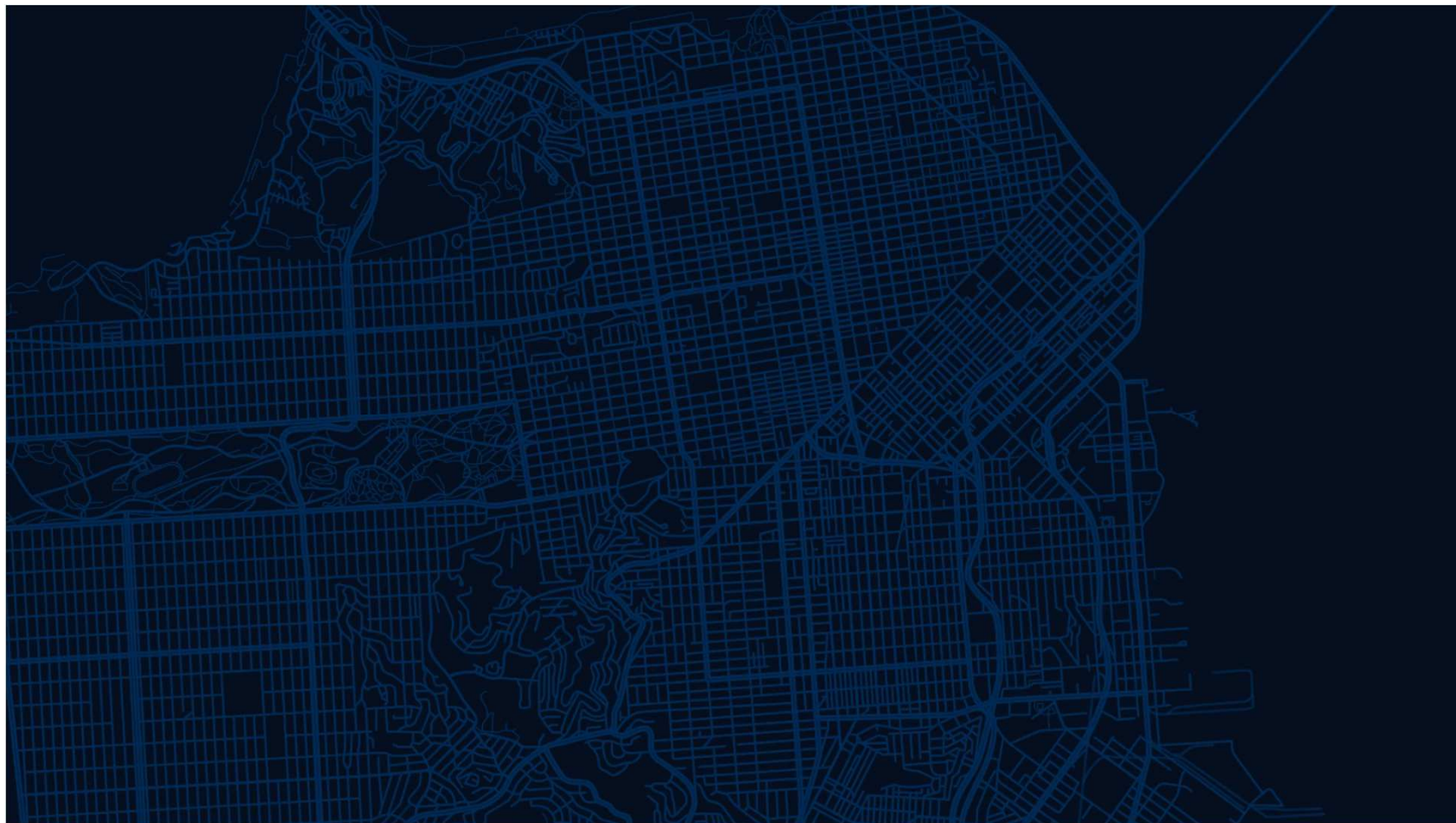
# Nvidia



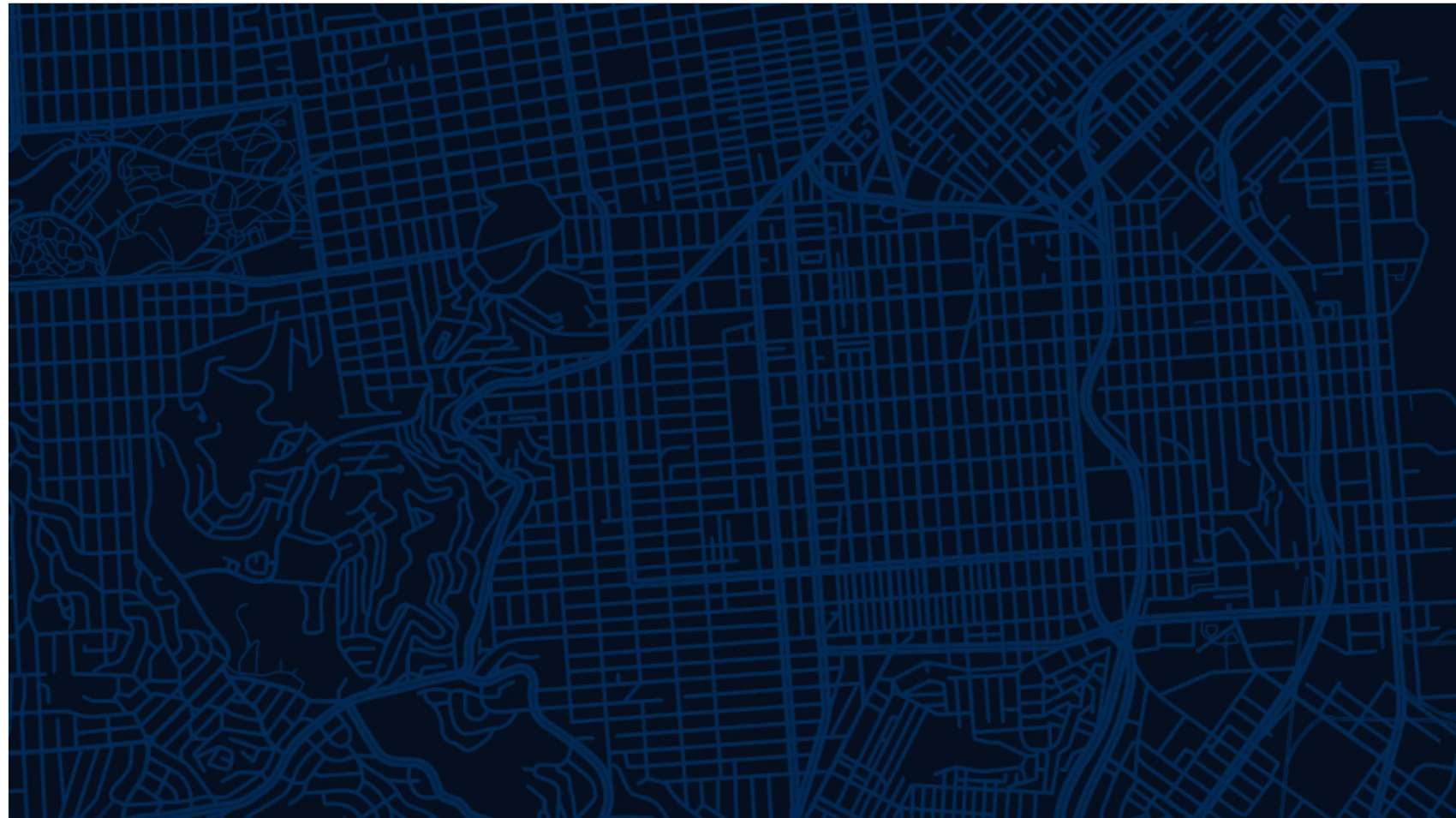
# Tesla (Video)



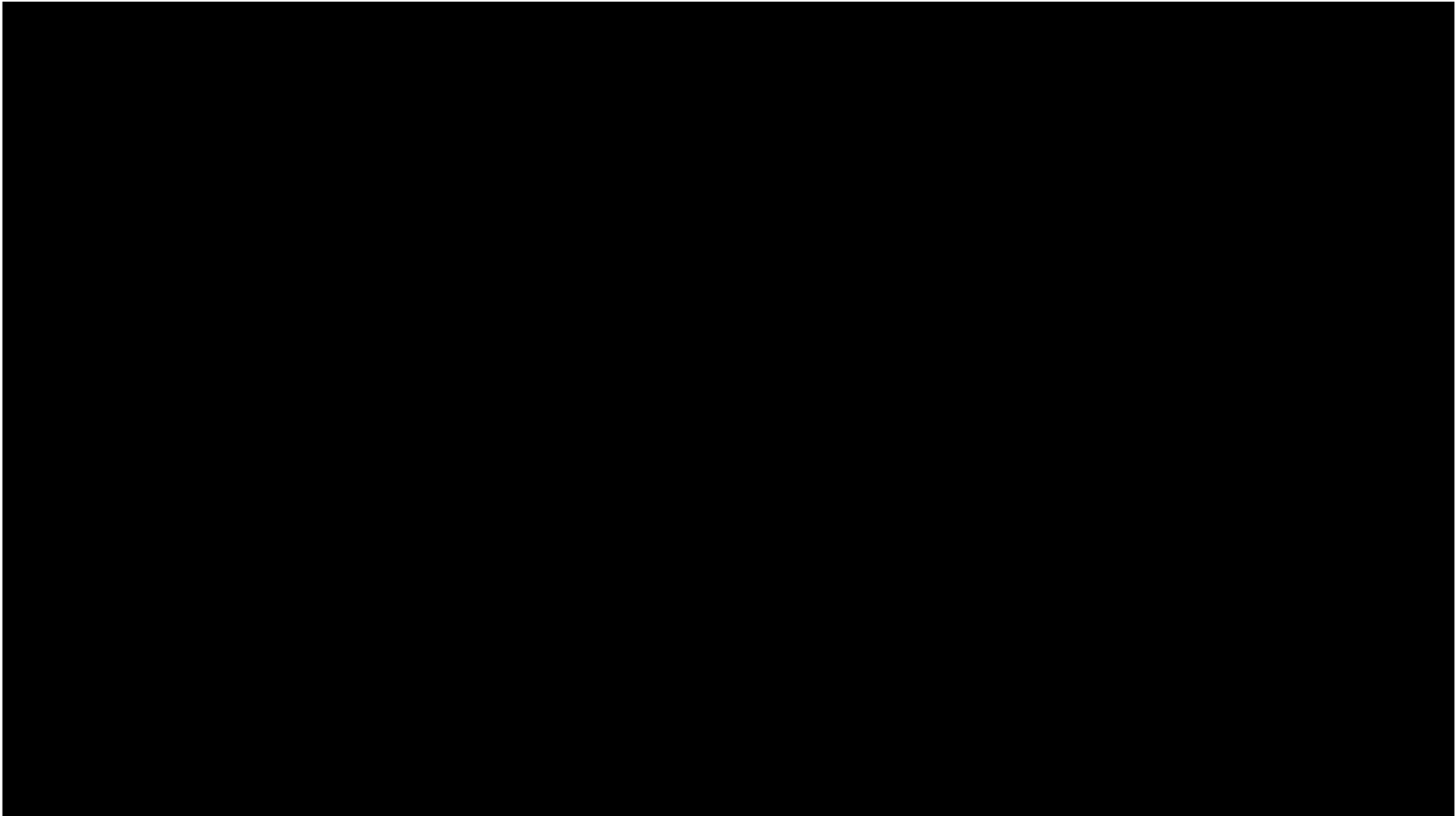
## Waymo (Video)



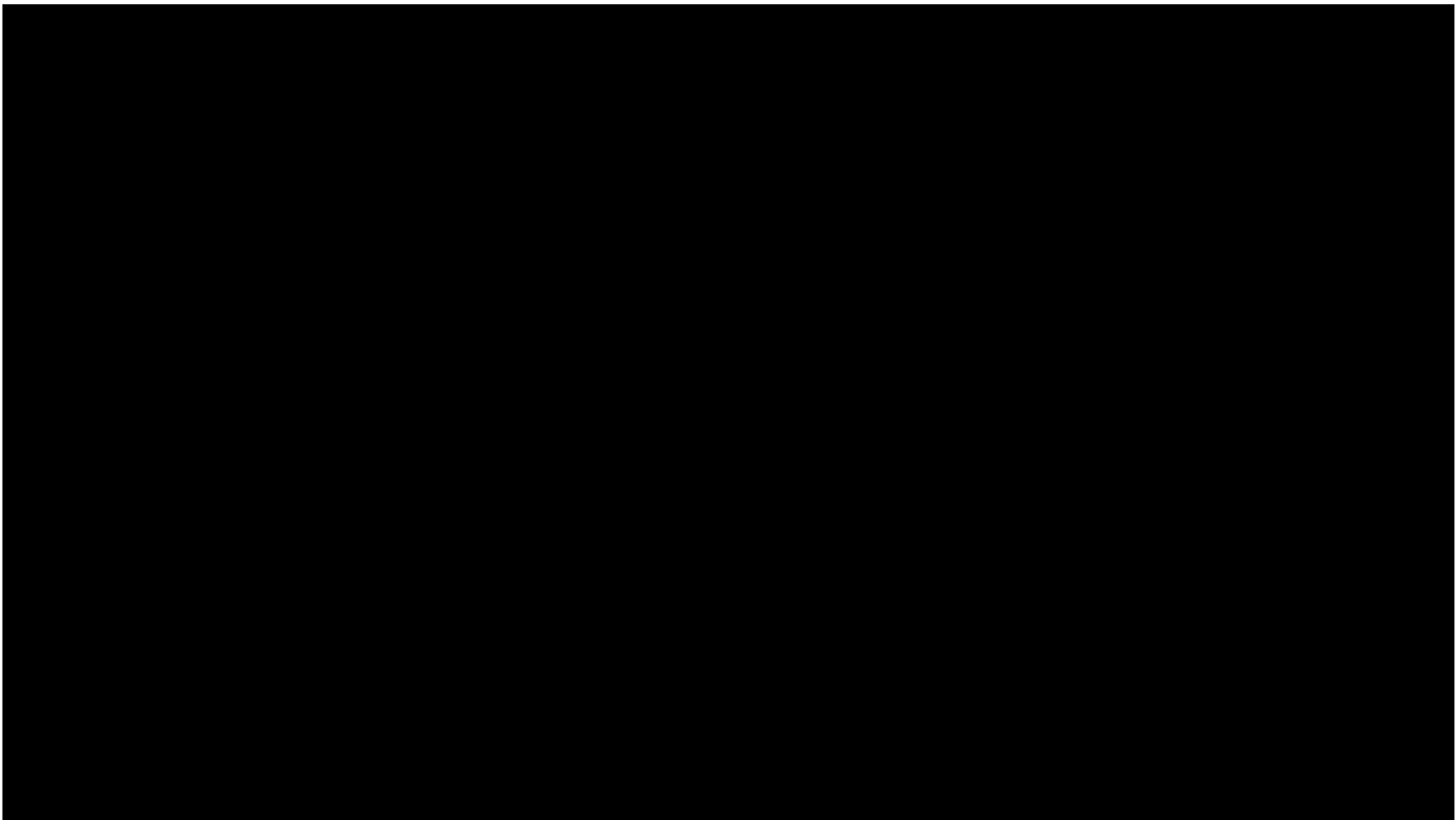
## Waymo (Video)



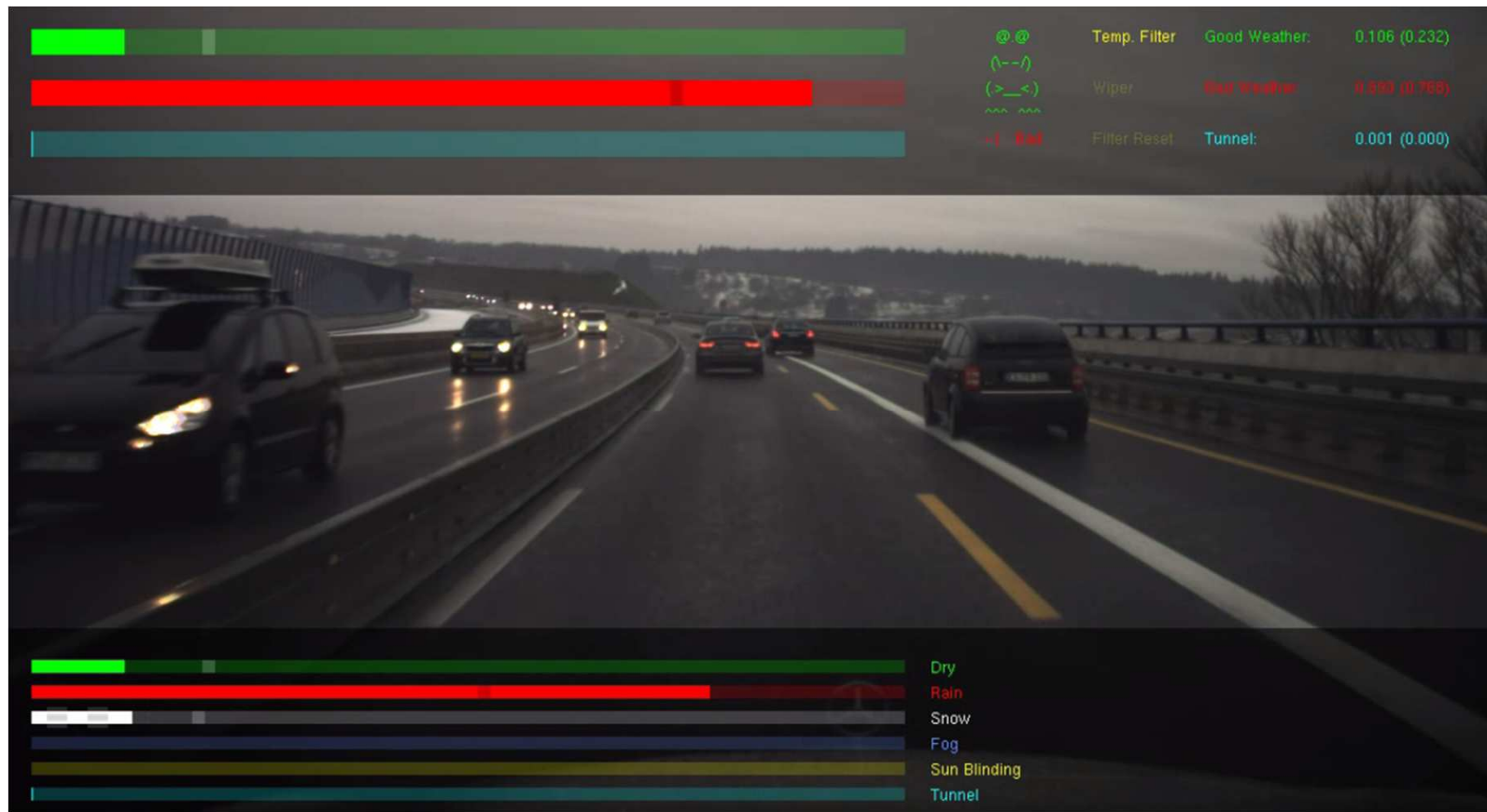
## Cruise (Video)

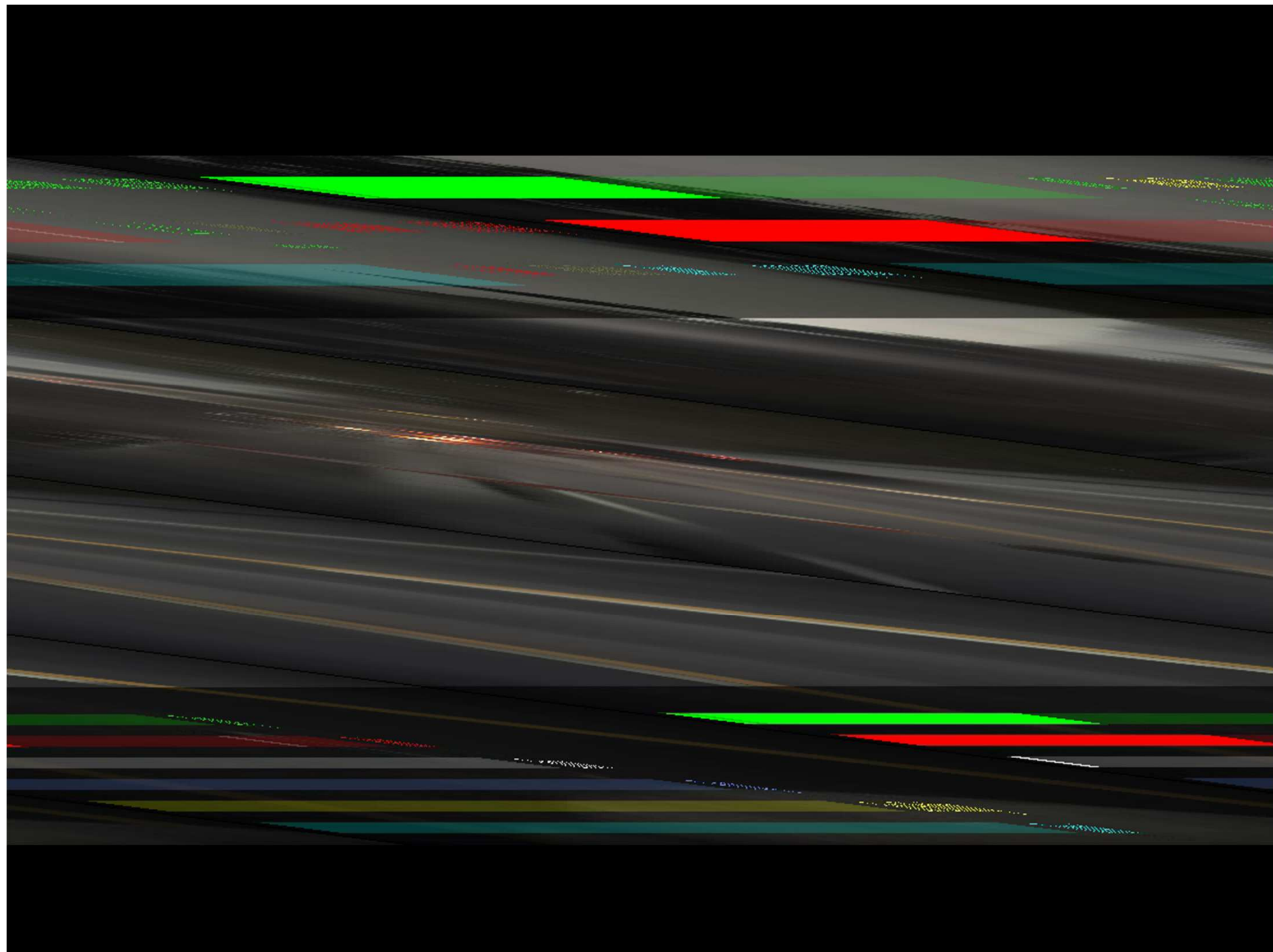


## Zoox (Video)



# Daimler (Video)





## Beispielszene



## Beispielszene



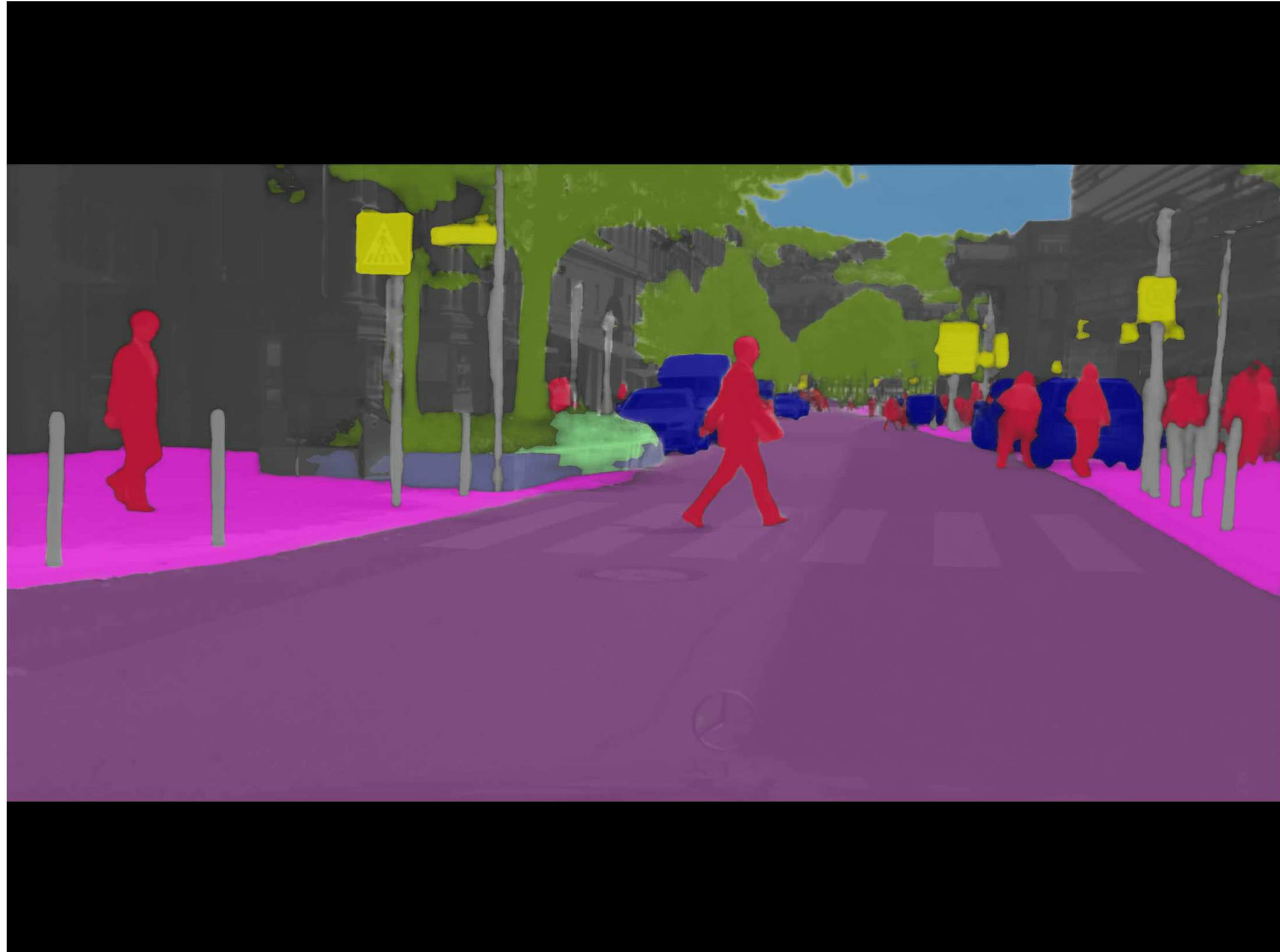
# Daimler: Cityscapes Dataset

$x$

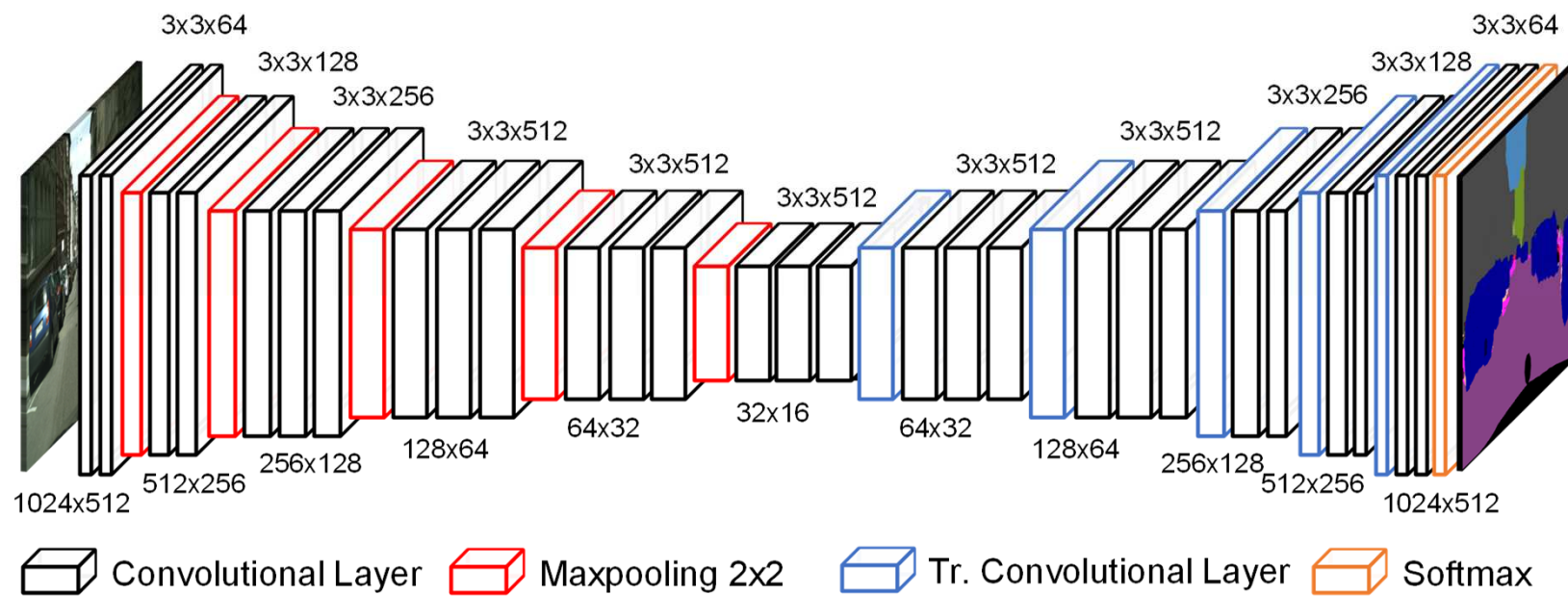


$\hat{y}$





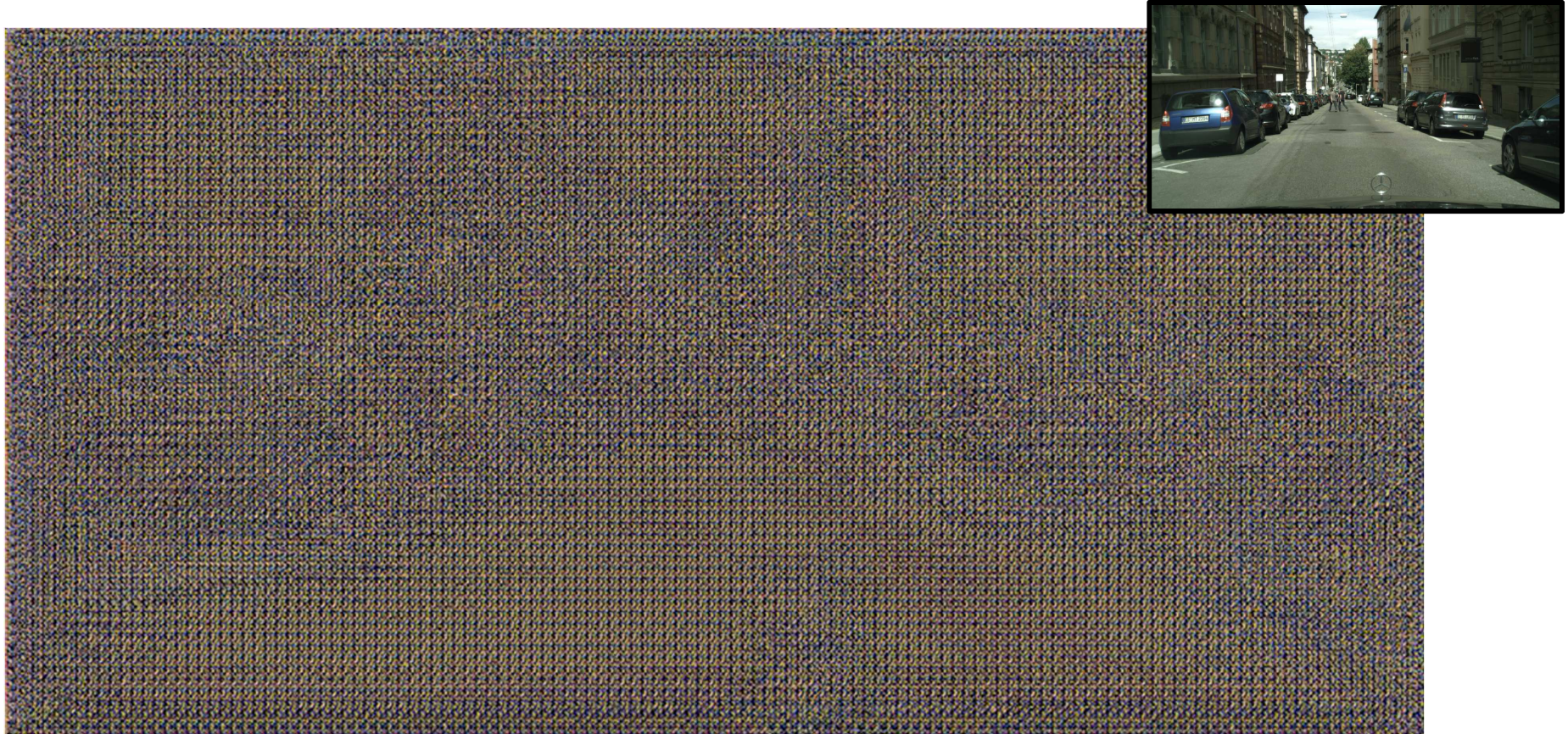
# CNN-Struktur



# Cityscapes Learning Process – Fully Connected Network



# Cityscapes Learning Process – Convolutional Neural Network



# Reich mit Convnets

**SPIEGEL ONLINE** SPIEGEL+  Anmelden

☰ Menü | Politik Meinung Wirtschaft Panorama Sport Kultur Netzwerk Wissenschaft mehr ▾

**NETZWELT** Schlagzeilen | DAX 11.066,41 | TV-Programm | Abo

Nachrichten > Netzwelt > Web > Christie's > Künstliche Intelligenz: Christie's erzielt mit KI-Gemälde 432.500 Dollar

KI-Kunstwerk versteigert

**Gemälde von "min G max D Ex[log(D(x))] + Ez[log(1-D(G(z)))]"  
erzielt 432.500 Dollar**

Das Werk "Edmond de Belamy" wurde von einem künstlichen neuronalen Netzwerk geschaffen, nun hat das Auktionshaus Christie's es versteigert - und für das KI-Gemälde deutlich mehr bekommen als ursprünglich geschätzt.



26.10.2018

# Deep Learning

## Domagoj Majstorovic, M.Sc.

### Agenda

---

#### 7 Deep Learning / Neuronale Netze

- 7.1 Grundlagen und Einleitung
- 7.2 Netzdefinition
- 7.3 Netztraining
- 7.4 Ergebnisse
- 7.5 Herausforderungen
- 7.6 Demo



## Video: Segmentation Time



Classifier Input

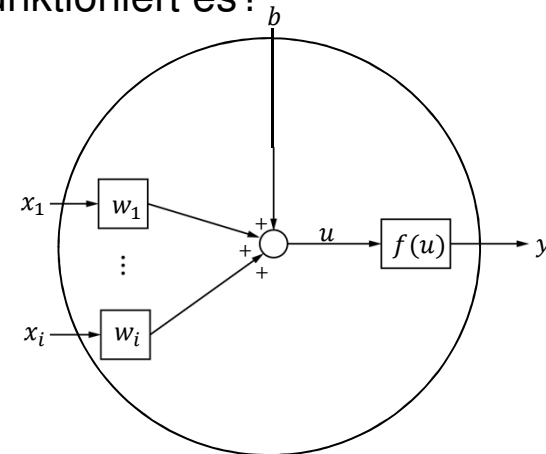


Classifier Output

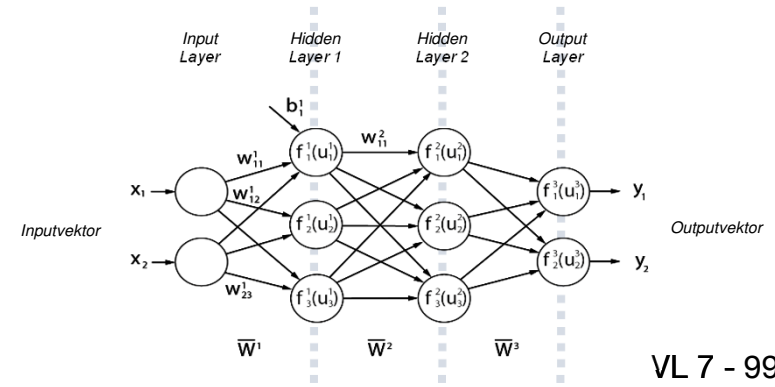


# Zusammenfassung der Leitfragen

- Wie ist ein einzelnes Neuron aufgebaut und wie funktioniert es?
  - Verschiedene Aktivierungsfunktionen
  - Bestimmung der Gewichte über lokale Ableitungen (Gradienten)



- Wie funktionieren künstliche neuronale Netze grundsätzlich?
  - Vernetzung von Neuronen
  - Verschiedene Layerarten



# Zusammenfassung der Leitfragen

- Welche Funktionsweise haben die unterschiedlichen Layer-Arten?
  - Fully Connected Layer
  - Convolutional Layer
  - Pooling Layer
- Wie funktionieren Convolutional Neural Networks im Detail, und warum sind sie so effektiv bei der Verarbeitung von Bilddaten?
  - Komprimierung der Eingangsdaten → Verkürzung der Rechenzeit im Gegensatz zu Fully Connected Netzen
  - Verschiedene Filter, die auf unterschiedliche Features ausgerichtet sind → Erkennung von unterschiedlichen Merkmalen wie Straßenschildern, Linien, Menschen, ...